

РАЗДЕЛ 1.

Введение. Основные понятия, термины и определения.

1.1. Технологический объект управления.

ТОУ – совокупность технологического оборудования и реализуемого на нем технологического действия

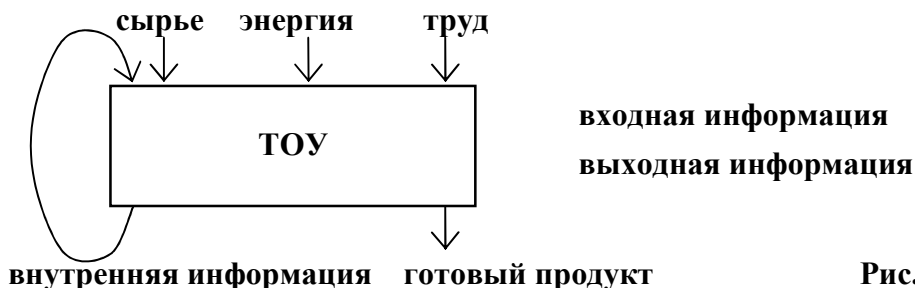


Рис. 1

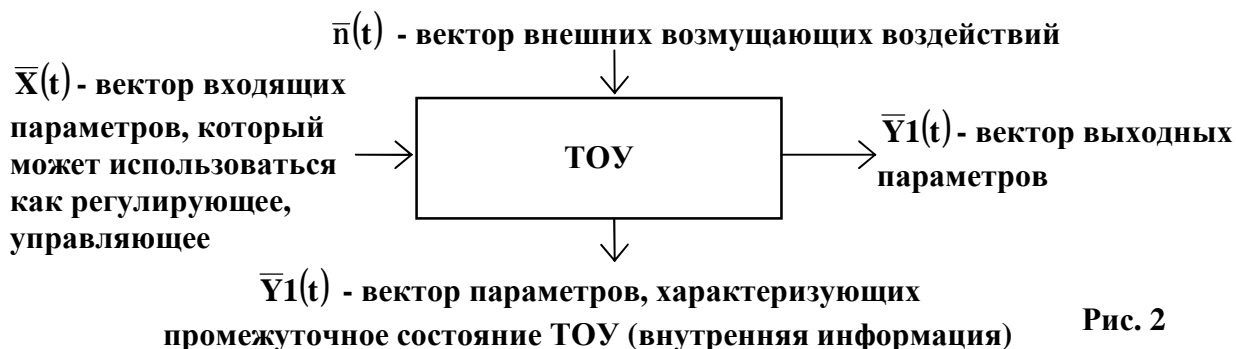


Рис. 2

$$\bar{Y}(t) = F_1[\bar{X}(t), \bar{n}(t)]$$

$$\bar{Y}_1(t) = F_2[\bar{X}(t), \bar{n}(t)]$$

1.2. Понятие об управлении.

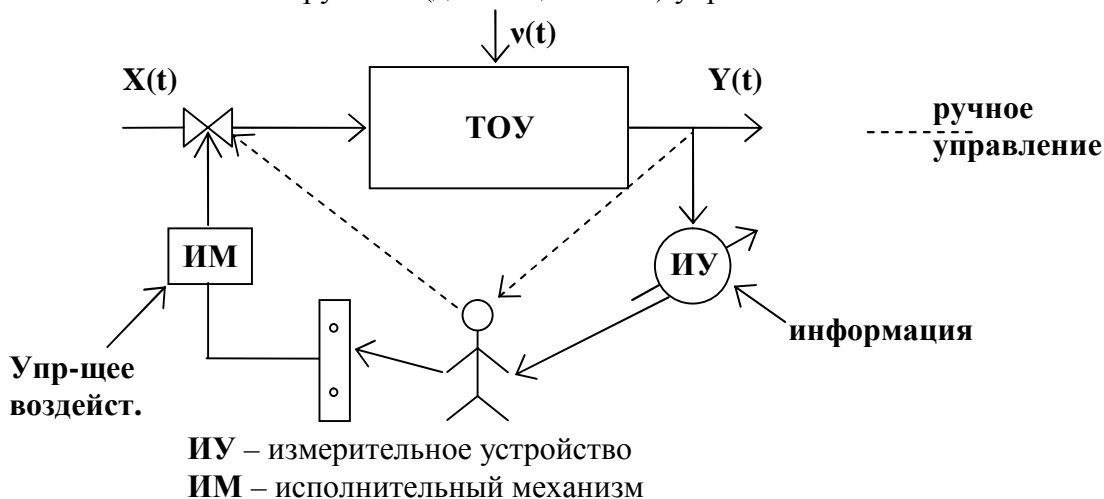
Управление – совокупность действий на ТОУ, выбранных на основе информации и направленных на поддержание или улучшение функционирования технологического процесса.

Управляющее возмущение должно обеспечить достижение поставленных целей (критерия управления, целевой функции) при соблюдении технологических ограничений.

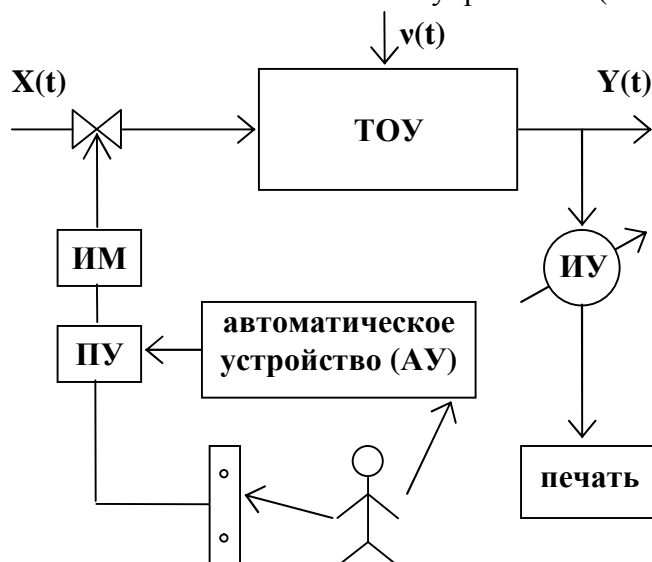
Разработка специальных технических средств позволяет осуществить автоматическое управление.

1.3. Системы управления, их виды.

Рис. 3 Система ручного (дистанционного) управления



Любая система управления имеет автоматический регулятор.

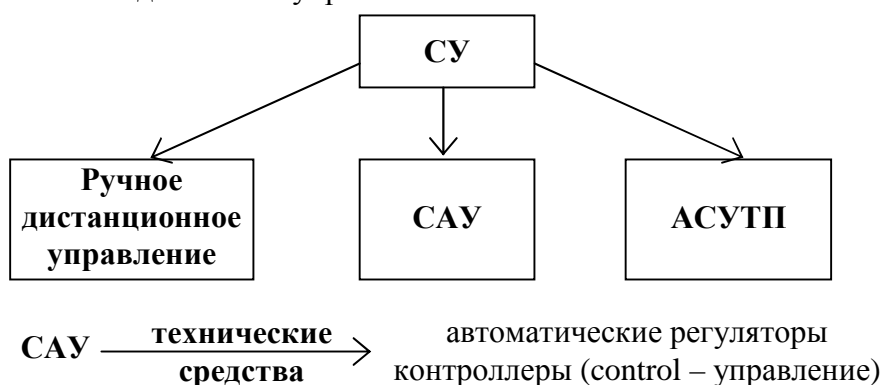
Рис. 4 Система автоматического управления (САУ)

АУ – автоматическое устройство для выработки управляющего воздействия

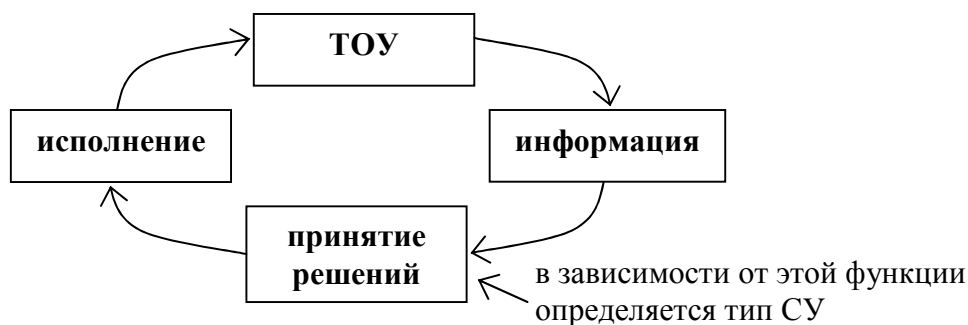
ПУ – переключатель управления

САУ – система автоматического управления без участия человека (или с ограниченным участием)

Современными САУ с применением технических средств являются человеко-машинными системами, то есть человек – неотъемлемый элемент. Такие системы называются автоматизированными системами управления технологическими процессами (**АСУТП**).

Рис. 5 Виды Систем управления

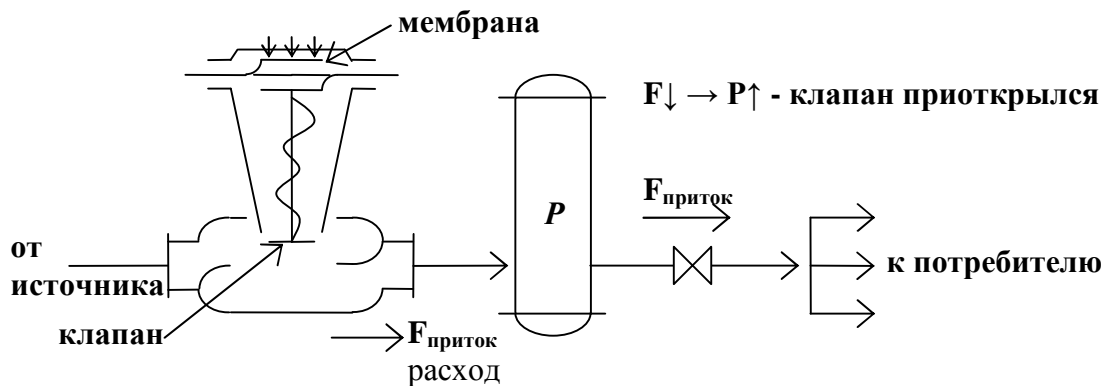
Основная задача СУ формирование и осуществление целенаправленных воздействий на ТОУ.



1.3.1. Понятие о системах автоматического управления (САУ).

ПРИМЕР САУ.

Ресивер – объем для сглаживания колебаний (газа)

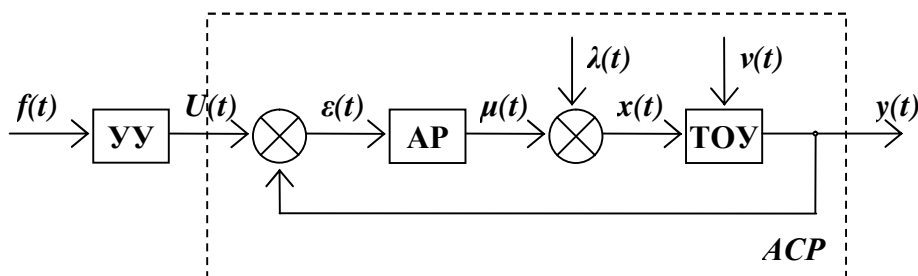


В устойчивом состоянии $F_{пр} = F_{ст}$

Ресивер – регулятор прямого воздействия (без участия человека)

1.3.2. Основные задачи синтеза и анализа САУ.

Структурная схема САУ.



УУ – устройство управления

АР – автоматический регулятор

$f(t)$ – заданная функция управляющего воздействия

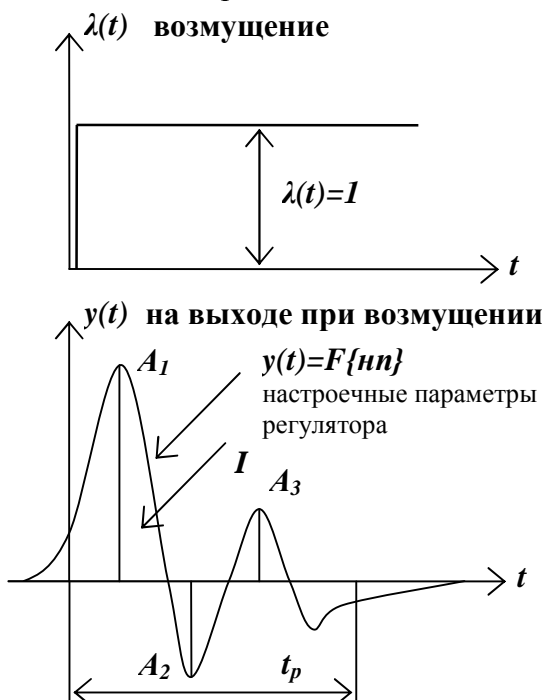
остальные параметры – см. расчетное задание с. 3.

Представленную САУ можно разбить на 2 уровня:

1. нижний уровень – АСР (автоматическая система регулирования)

Её задача – устранение возмущений $\lambda(t)$, $\nu(t)$ (внешние возмущения)

Для этого необходимо выбрать структуру регулятора (АР), алгоритм его функционирования и оптимально настроить.



Критерий качества:

$$I = \int_0^{t_p} |y(t)| dt \rightarrow \min$$

Ограничение:

$$\text{Степень затухания: } Y = \frac{A_1 - A_3}{A_1},$$

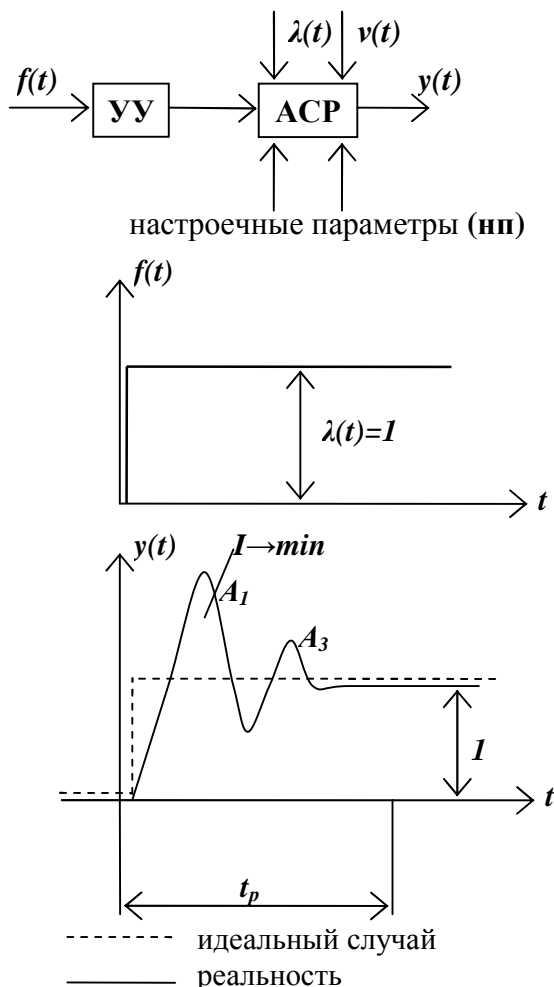
обычно $0.7 \leq Y \leq 0.9$

Изложенное является основной задачей синтеза АСР.

Чтобы настроить регулятор, необходимо выбрать:

1. критерий качества;
2. ограничения;
3. сформулировать и решить оптимизационную задачу.

2. верхний уровень.



В качестве критерия настройки УУ используется интеграл:

$$I = \int_0^{t_p} |f(t) - y(t)| dt \rightarrow \min$$

Настройка УУ значит, что при наличии возмущения на входе, на выходе I_c такое же возмущение (в идеале)

Можно также ввести степень затухания:

$$Y = \frac{A_1 - A_3}{A_1}$$

1.3.3. Принципы построения САУ.

1. Принцип иерархии
 2. Принцип декомпозиции системы – принцип разбиения системы на уровни.
- Используя первый принцип, легко применить второй.

1.4. Понятие об АСУТП

(Автоматизированная система управления технологическим процессом).

АСУТП – человеко-машинная система, осуществляется автоматизированный сбор и обработка информации, необходимой для оптимизации управления.

ИП – измерительный преобразователь (информация)

ИМ – исполнительный механизм (реализация управляющих воздействий)

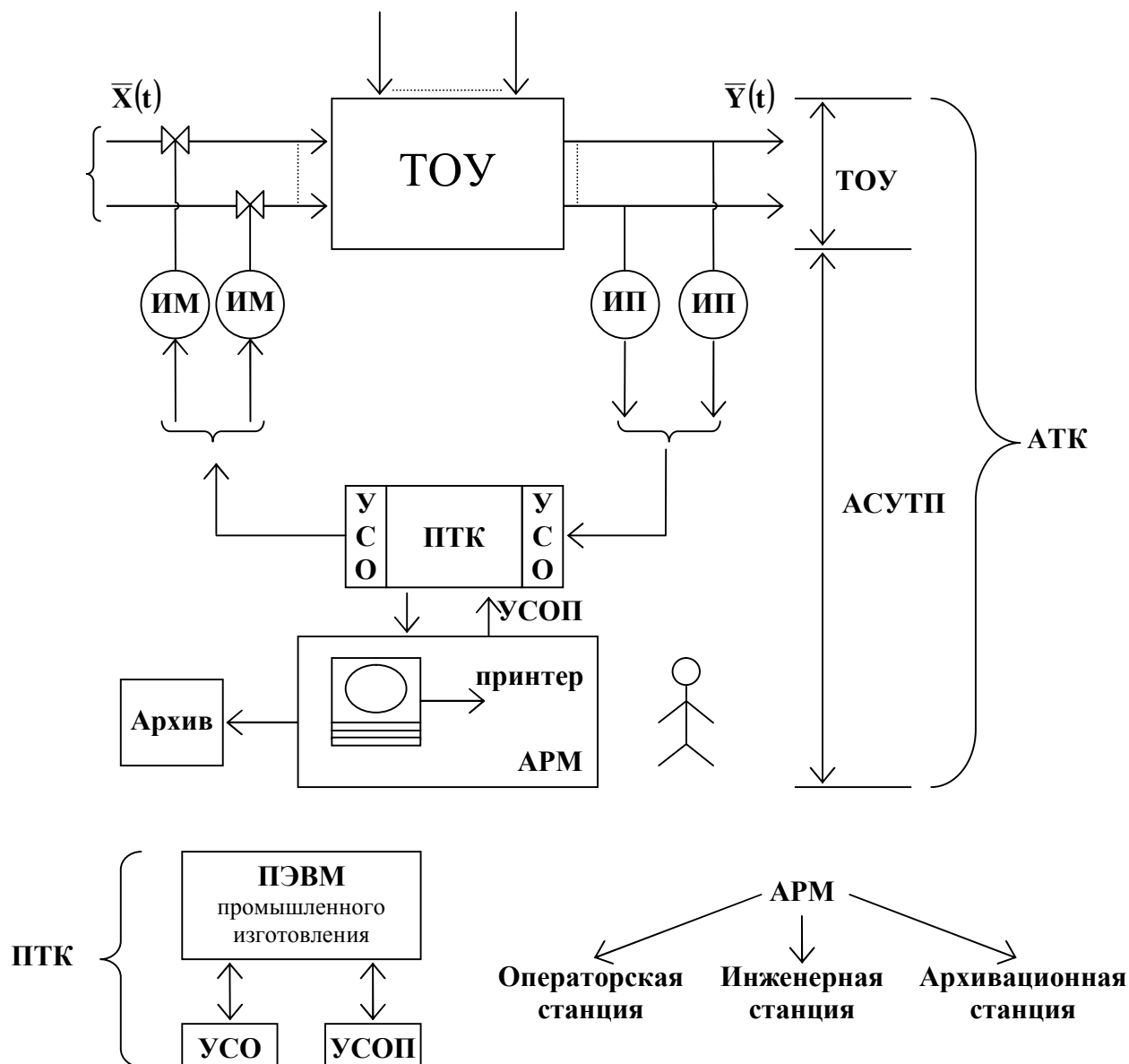
ПТК – программно-технический комплекс (центральное ядро АСУТП)

УСО – устройство связи с объектом

УСОП – устройство связи с оперативным персоналом

АРМ – автоматизированное рабочее место оперативного персонала

АТК – автоматизированный технологический комплекс



1.5. Основные функции и обеспечение АСУТП.

АСУТП	
Функции:	Обеспечение:
<ul style="list-style-type: none"> - информационные; - управляющие; - вспомогательные. 	<ul style="list-style-type: none"> - техническое; - организационное; - информационное; - метрологическое; - математическое; - программное; - лингвистическое; - эргономическое; - правовое.

1.5.1. Информационные функции АСУТП.

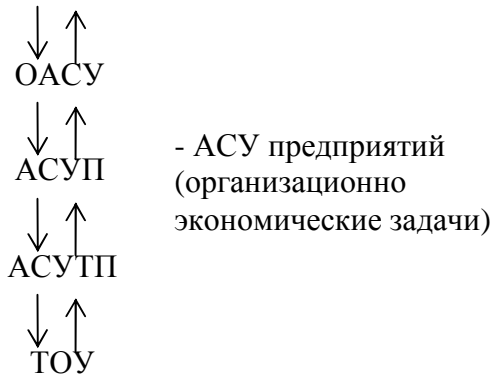
1. непосредственный контроль и измерение технологических параметров
2. отображение информации (регистрация)
3. сигнализация отклонений логических параметров от заданных значений
4. расчет технико-экономических (косвенных) показателей (удельный расход, КПД и т.д.)
5. диагностирование информационной системы.

1.5.2. Управляющие функции АСУТП.

1. дистанционное управление
2. автоматическое регулирование
3. логическое управление (пуск и остановка оборудования, переход с режима на режим)
4. автоматические защиты и блокировки
5. оптимальное управление технологическим процессом (оптимизация)

1.5.3. Вспомогательные функции АСУТП.

1. решение внутренних задач
2. диагностирование функционирования комплекса технических средств АСУТП
3. связь с вышестоящими АСУ



1.5.4. Обеспечение АСУТП.

- Техническое обеспечение – комплекс технических средств, необходимых для реализации функциональных задач АСУТП (программно-технический комплекс **ПТК** + автоматизированное рабочее место оперативного персонала **АРМ**).
- Организационное обеспечение – совокупность правил и предписаний, обеспечивающих взаимодействие персонала с комплексом технических средств.
- Информационное обеспечение – направление и характеристики информационных потоков.
- Метрологическое обеспечение – совокупность показателей точности, надежности и быстродействия.
- Программное обеспечение – совокупность программ, обеспечивающих функционирование комплекса технических средств (**КТС**) АСУТП и решение функциональных задач.

Программное обеспечение (**ПО**):

- Общее ПО – обеспечивает функционирование КТС АСУТП; поставляется изготовителем.
- Специальное ПО – обеспечивает решение функциональных задач; разработчик – АСУТП.
- Лингвистическое обеспечение – совокупность терминов и правил формализации языка общения персонала с КТС.
- Эргономическое обеспечение – совокупность требований, предъявляемых к способам и формам представления информации, а также к формам и размещениям КТС.
- Правовое обеспечение – юридическое обоснование функционирования АСУТП.

1.5.5. Понятие об оптимальном управлении.

Оптимальное управление осуществляется в соответствии с выбранным критерием оптимальности, на который накладываются технические ограничения.

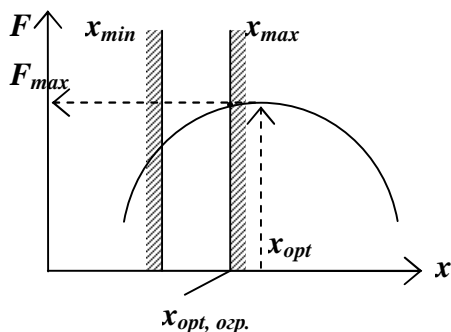
Пусть критерий оптимальности: $F = F\{\bar{x}(t), \bar{y}(t)\}$, где x – входные параметры, y – выходные параметры. Критерий оптимальности равен целевой функции.

Ограничения: $x_{\min} \leq \bar{x} \leq x_{\max}$
 $y_{\min} \leq \bar{y} \leq y_{\max}$

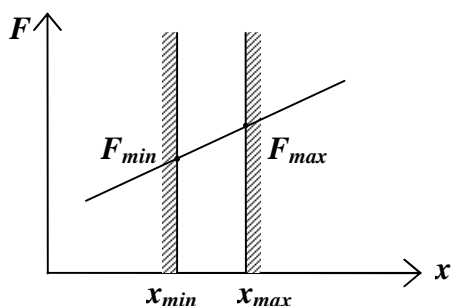
Надо найти $\bar{x}, \bar{y} \in \text{opt}$, которые соответствуют экстремуму F .

Критерий оптимальности – показатель, характеризующий качество работы технологического объекта управления и принимающий различные значения в зависимости от управляющих воздействий.

ПРИМЕР: $F = F\{x\}$



Если нет ограничений, то критерий оптимальности: $x_{opt} \rightarrow F_{max}$

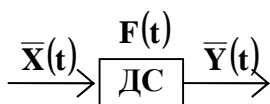


Для линейной функции задача оптимизации не имеет смысла без ограничений.

2. Динамические системы. Способы математического описания.

Любой технологический объект управления (ТОУ) и любая САУ являются динамическими системами.

2.1. Понятие о динамической системе (ДС).

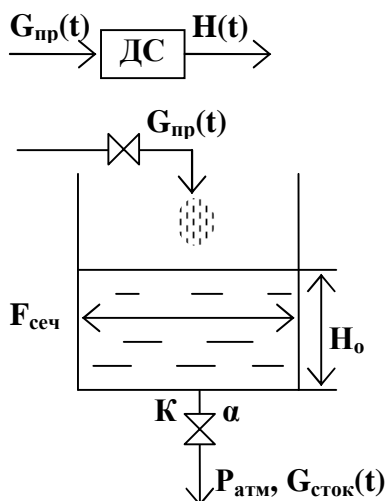


ДС - система, входы и выходы которой изменяются во времени.
 $\bar{Y}(t) = \bar{X}(t) \times F\{X(t)\}$

2.2. Описание динамической системы (ДС) с помощью дифференциальных уравнений (ДУ).

Основным математическим аппаратом, позволяющим исследовать ДС являются дифференциальные уравнения, аргументом в которых служит время.

ПРИМЕР:



В основе дифференциальных уравнений, описывающих ДС, лежат уравнения сохранения вещества и энергии для нестационарного режима.

Уравнения материального и теплового баланса – уравнения сохранения вещества и энергии.

$$\dot{G}_{пр}(t) - G_{ст}(t) = 0, \text{ стационарный режим}$$

$$\int_1^2 G_{пр}(t) - G_{ст}(t) \times dt = dV = FdH$$

$$V = F \times H \Rightarrow dV = FdH - \text{приращение объема}$$

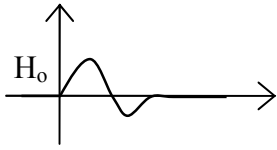
Уравнение материального баланса для нестационарного режима.

$$F \times \frac{dH}{dt} = G_{пр} - G_{ст} - \text{дифференциальное уравнение для емкости}$$

$$G_{ст}(t) = a\sqrt{H}, a - \text{положение клапана } K$$

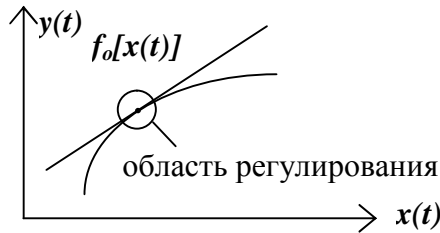
$$F \times \frac{dH}{dt} = G_{np}(t) - a\sqrt{H} P$$

$F \times \frac{dH}{dt} + a\sqrt{H} = G_{np}(t)$ - нелинейное уравнение, правая часть характеризует вынужденное движение. Так как в процессе регулирования отклонения не большие, то приняли гипотезу о линеаризации дифференциальных уравнений.



2.3. Линеаризация дифференциальных уравнений.

Линеаризация методом касательной.



В основе линеаризации гладких (дифференциальных) функций лежит метод разложения в ряд Тейлора.

$$y(t) = f[x(t)]$$

$$y(t) = f_0[x(t)] + \frac{f'_0[x(t)]}{1!} \times Dx + \frac{1}{2!} \times \frac{f''_0[x(t)]}{1!^2} \times Dx^2 + \dots$$

Линеаризация не требует производных выше первого порядка (все остальное отбрасываем).

$y(t) - f_0[x(t)] = Dy(t) = a \times Dx$ $Dy(t) = a \times Dx(t)$, где a – тангенс угла наклона касательной.

ПРОДОЛЖЕНИЕ ПРИМЕРА.

$$F \times \frac{dH(t)}{dt} = G_{np}(t) - a\sqrt{H(t)}$$

Примем, что $G_{np}(t) = G_{np,0} + DG_{np}(t)$

$$a\sqrt{H(t)} = a\sqrt{H_0(t)} + a \frac{1}{2\sqrt{H_0}} DH$$

$$a\sqrt{H_0(t)} = G_{cr,0}, \quad a \frac{1}{2\sqrt{H_0}} DH - \text{производная } a\sqrt{H(t)}$$

Для стационарного режима $G_{np,0} = G_{cr,0}$, при этом $H = H_0$

$$F \frac{d[H_0 + DH]}{dt} = G_{np,0} + DG_{np} - G_{cr,0} - a \frac{1}{2\sqrt{H_0}} DH$$

$$\frac{dH_0}{dt} = 0, \text{ т.к. как } H_0 = \text{const}$$

$$G_{np,0} - G_{cr,0} = 0, \text{ ТТОГД}$$

$$F \frac{dDH(t)}{dt} + a \frac{1}{2\sqrt{H_0}} DH(t) = DG_{np}(t) - \text{линейно д.у. относительно приращенного уровня}$$

Можно принять, что $DH(t) = y(t)$; $DG_{np}(t) = x(t)$

$$F \times 2\sqrt{H_0} \times \frac{1}{a} \times \frac{dy(t)}{dt} + y(t) = \frac{2\sqrt{H_0}}{a} x(t)$$

$$F \times 2\sqrt{H_0} \times \frac{1}{a} = T, \quad \frac{2\sqrt{H_0}}{a} = k$$

Окончательное дифференциальное уравнение: $T \frac{dy(t)}{dt} + y(t) = k \times x(t)$

Если задать $x(t) = \text{const} = 1(t)$

T – постоянная времени, k – коэффициент усиления

2.4. Решение линейных дифференциальных уравнений с правой частью.

Решение складывается из свободной и вынужденной частей:

$$y(t) = y_{\text{своб}}(t) + y_{\text{вын}}(t)$$

$$y_{\text{своб}}(t) = \sum_{i=1}^n C_i \times e^{r_i t}, \text{ где}$$

C_i – постоянная интегрирования (определяется начальными условиями)

r_i – корни характеристического уравнения

n – порядок дифференциального уравнения

$$y_{\text{вын}}(t) = k \times x(t)$$

ПРОДОЛЖЕНИЕ ПРИМЕРА.

$$y_{\text{св}}(t) = C \times e^{rt}$$

$$T \times r + 1 = 0 - \text{характеристическое уравнение} \Rightarrow r = -\frac{1}{T}$$

$$y_{\text{св}}(t) = C \times e^{-\frac{t}{T}}$$

$$y(t) = C \times e^{-\frac{t}{T}} + k \times x(t) - \text{решение дифференциального уравнения}$$

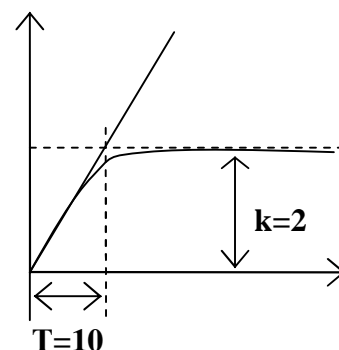
Ищем C :

$$y(t)|_{t=0} = C + k \times x(t) = 0 \Rightarrow C = -k \times x(t)$$

$$y(t) = -k \times x(t) \times e^{-\frac{t}{T}} + k \times x(t) = k \times x(t) \left(1 - e^{-\frac{t}{T}} \right) - \text{окончательное решение}$$

Пусть $x(t) = 1, 0; T = 10; k = 2$, тогда

$$y(t) = 2 \times 1 \left(1 - e^{-\frac{t}{10}} \right)$$

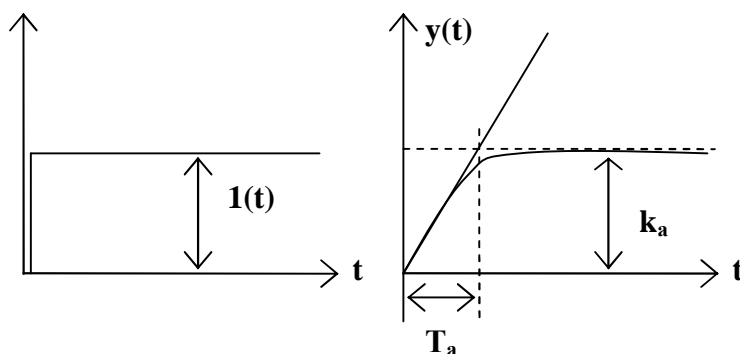


Линеаризованная динамическая система в теории автоматического управления называется **линейной динамической системой**.

$$T_a \frac{dy(t)}{dt} + y(t) = k_a \times x(t)$$

А-звено (апериодическое звено).

$$y(t) = k_a \times x(t) \left(1 - e^{-\frac{t}{T_a}} \right) - \text{решение дифференциального уравнения}$$



$$x(t) = 1$$

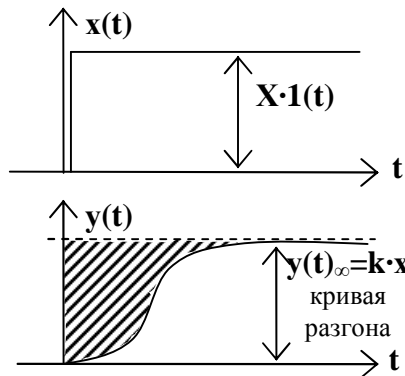
$$\left. \frac{dy(t)}{dt} \right|_{t=0} = \frac{k_a}{T_a}$$

T_a – время по истечении которого $y(t)$ достигнет установившегося значения, если будет изменяться с постоянной скоростью.

2.5. Временные характеристики линейных ДС (ЛДС).

2.5.1. Кривые разгона.

Кривая разгона ДС – это реакция на ступенчатое возмущение.




$$x(t) = \begin{cases} 0, & t < 0 \\ X, & t \geq 0 \end{cases}$$

X – вещественное число, выбранное при эксперименте.

ДС имеет бесконечное множество кривых разгона. Для каждого X она своя.

X выбирается из условия определения $y(t)$ на фоне помех.

$X \approx 10-20\%$ от $X_{ном}$

 - инерционность ЛДС

2.5.2. Переходные характеристики ЛДС.

$$h(t) = \frac{y(t)}{x(t)}$$

Переходная характеристика $h(t)$ – реакция ЛДС на единичное ступенчатое возмущение.

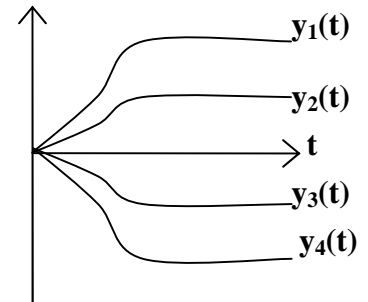
$$x(t) = \begin{cases} 0, & t < 0 \\ 1, & t \geq 0 \end{cases}$$

Кривые разгона нормируют (пересчитывают на переходные характеристики).

$$h_1(t) = \frac{y_1(t)}{x_1(t)}, h_2(t) = \frac{y_2(t)}{x_2(t)}, \dots$$

Усредненная переходная характеристика:

$$h(t)_{cp} = \frac{\sum_{i=1}^n h_i(t)}{n}$$



2.5.3. Импульсные характеристики ЛДС.

Импульсные характеристики ЛДС – реакции на дельта-функцию Дирака

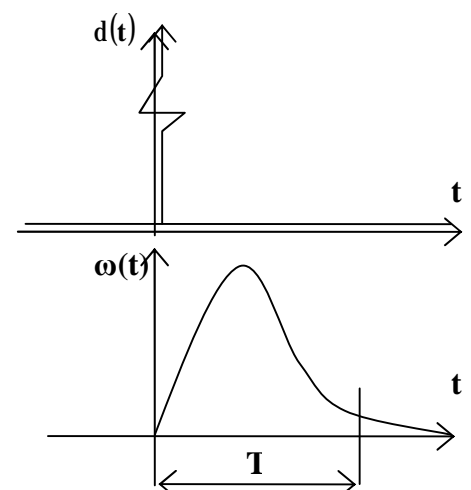
$$d(t) = \begin{cases} 0, & t < 0 \\ \delta(t), & t = 0 \end{cases}$$

$$\int_{-\infty}^{+\infty} \delta(t) dt = 1$$

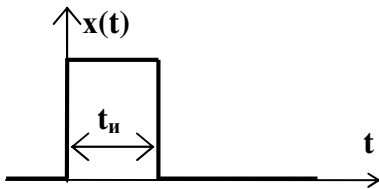
$$d(t) = \frac{d1(t)}{dt}$$

$d(t)$ – дельта-функция равна производной единичного возмущения по времени.

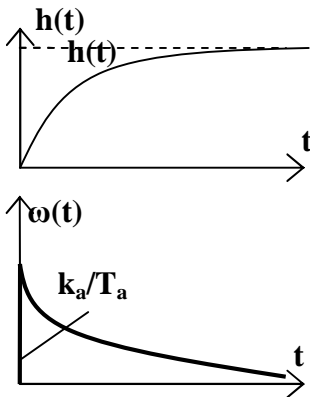
$$w(t) = \frac{dh(t)}{dt} \text{ - импульсная характеристика.}$$



На практике:



Если просуммировать кривые разгона от «+» импульса X и «-» импульса $-X$, то получим кривую $\omega(t)$

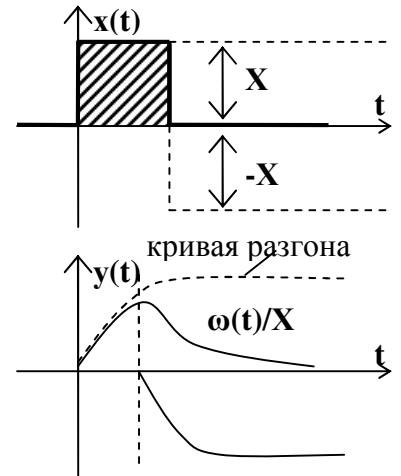


ДУ – математическая модель ДС. Решив дифференциальные уравнения при $x(t) = 1(t)$, получим переходную характеристику:

$$h(t) \Big|_{x(t)=1} = k_a \frac{e^{-\frac{t}{T_a}}}{\frac{1}{T_a}} = k_a T_a (1 - e^{-\frac{t}{T_a}})$$

Чтобы получить импульсную характеристику, нужно продифференцировать $h(t)$.

При $x(t) = 2$ (например) получим кривую разгона.



2.6. Частотные характеристики ЛДС.

Частотные характеристики на вход подают какие-то гармонические колебания (не ступеньку, как временные).

Частота гармонических колебаний: $\omega = 0$ (теоретически).

На практике: $\omega_p = \omega_1$, ω_{cp}

ω_{cp} - частота среза (частота, при которой на выходе нет сигнала).

$$\omega_i = \frac{2\pi}{T_i}$$

T_i - период колебаний ω_{cp}

$$x(t) = A_x \sin \omega t$$

На выходе будут колебания с той же частотой и той же амплитудой (если система безинерционна), но они могут быть сдвинуты по фазе (инерционная система).

$Dt_i = t_x - t_y$ («-» - отстают, «+» - опережают).

Время t_x и t_y надо брать, когда колебания установятся.

Обработка эксперимента.

$$A(\omega_i) = \frac{A_y(\omega_i)}{A_x(\omega_i)} - \text{модуль при } \omega_i \text{ (относительная амплитуда)}$$

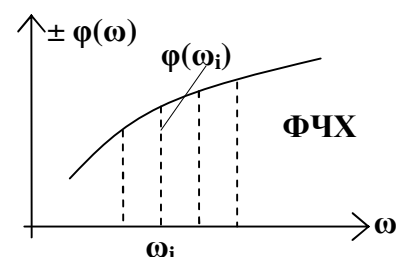
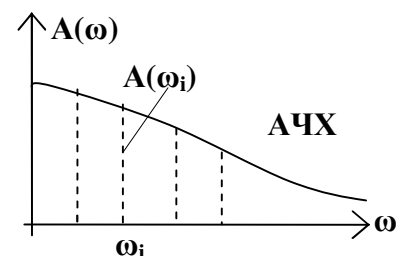
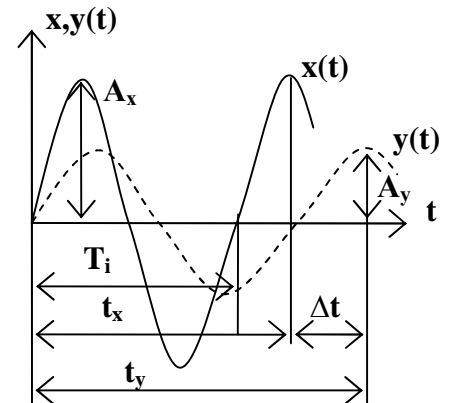
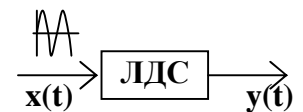
$A(\omega)$ - амплитудно-частотная характеристика (АЧХ)

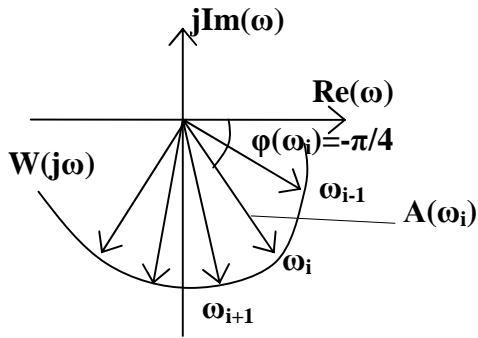
$j(\omega_i) = \pm Dt_i \times \omega_i$ - фазовый сдвиг при ω_i (аргумент)

$j(\omega)$ - фазо-частотная характеристика (ФЧХ)

Комплексная частотная характеристика (КЧХ)

$W(j\omega) = A(\omega) e^{\pm j\varphi(\omega)}$ - на комплексной плоскости, либо в полярных координатах.





Другая форма записи:

$$W(j\omega) = \text{Re}(w) + j\text{Im}(w)$$

$$A(w) = \sqrt{\text{Re}^2(w) + \text{Im}^2(w)}$$

$$j(w) = \arctg \frac{\text{Im}(w)}{\text{Re}(w)}$$

3. Интегральные преобразования в ТАУ.

3.1. Интегралы свертки для входного воздействия $x(t)$ произвольной формы.

Линейная динамическая система (ЛДС) – система, которая подчиняется принципу суперпозиции.

Принцип суперпозиции. Реакция линейной системы на суммарное входное воздействие равна сумме реакций на составляющие входного воздействия:

$$x(t)_s = x_1(t) + x_2(t)$$

$$y(t)_s = y_1(t) + y_2(t)$$

Вывод выражения для интеграла свертки.

$$x(t) = Dx_1(Dt) \times 1(t - Dt) + Dx_2(2Dt) \times 1(t - 2Dt) + \dots + Dx_i(iDt) \times 1(t - iDt)$$

Устремим число разбиений на Δt к ∞

$$y(t) = Dx_1(Dt) \times h(t - Dt) + Dx_2(2Dt) \times h(t - 2Dt) + \dots + Dx_i(iDt) \times h(t - iDt)$$

$$y(t) = \sum_{i=1}^n Dx_i(iDt) \times h(t - iDt) \times \frac{Dt}{Dt}$$

Предельный переход:

$$n \rightarrow \infty, \quad Dt \rightarrow dt, \quad iDt \rightarrow t$$

$$y(t) = \int_0^t x(\tau) \times h(t - \tau) d\tau \quad [1]$$

$$\frac{Dx_i(iDt)}{Dt} \rightarrow x(\tau) - \text{производная от } x$$

[1] – интеграл свертки через переходную характеристику $h(t)$

ПРИМЕР.



$$x(t) = 1 \times t,$$

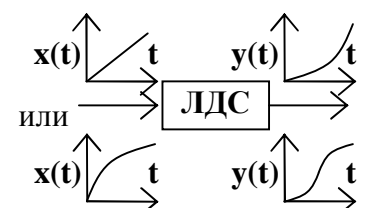
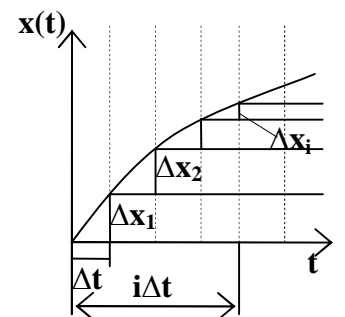
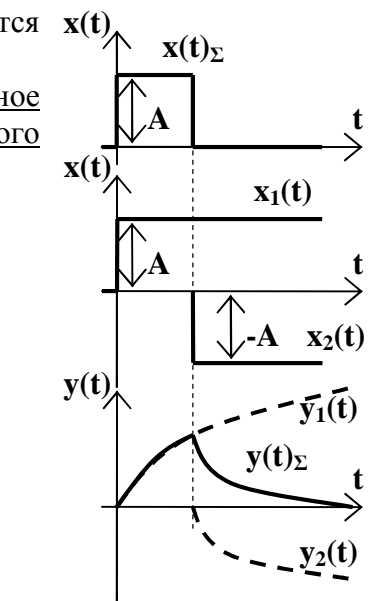
то есть через 1 с на выходе будет 1, через 2 с – 2.

$$h(t) = k_a \left(1 - e^{-\frac{t}{T_a}} \right)$$

$h(t)$ – переходная характеристика для ЛДС, которую можно описать дифференциальным уравнением 1-го порядка.

$$x(\tau) = 1$$

$$y(t) = \int_0^t 1 \times k_a \left(1 - e^{-\frac{t-\tau}{T_a}} \right) d\tau = \int_0^t k_a d\tau - \int_0^t e^{-\frac{t-\tau}{T_a}} d\tau = k_a \tau - T_a \left(1 - e^{-\frac{t-\tau}{T_a}} \right) \Big|_0^t$$

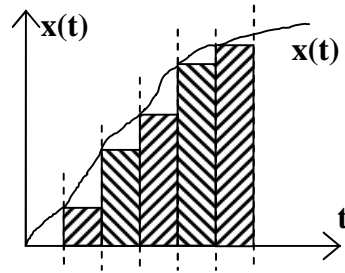


Если свойства ЛДС заданы в виде $w(t)$ импульсной характеристики: $w(t) = \frac{h(t)}{dt}$. $x(t)$ заменяем не суммой ступенек, а суммой импульсов.

$$y(t) = \int_0^t x(t)w(t-t)dt \quad [2]$$

$$h(t) = k_a \left(1 - e^{-\frac{t}{T_a}} \right)$$

$$\frac{dh(t)}{dt} = w(t) = \frac{k_a}{T_a} e^{-\frac{t}{T_a}}$$



3.2. Интегральное преобразование Лапласа. Передаточные функции.

Интегральное преобразование Лапласа относится к методу решения задач путем замены переменных:

$t \rightarrow s = -\alpha + j\omega$ - время заменяется комплексной переменной s – **оператор Лапласа**;

α, ω – вещественные числа

$$j = \sqrt{-1}$$

Существует прямое и обратное преобразование Лапласа.

Прямое преобразование Лапласа:

$$F(s) = \int_0^\infty f(t)e^{-st}dt = F\{f(t)\}$$

ПРИМЕР:

$$T_a \frac{dy(t)}{dt} + y(t) = k_a x(t) \quad [*]$$

$$y(t) \rightarrow y(s)$$

$$y(t) \rightarrow F\{y(t)\}$$

$$x(t) \rightarrow F\{x(t)\} = X(s)$$

преобразование Лапласа L

$$L\left\{\frac{dy(t)}{dt}\right\} = \int_0^\infty \frac{dy(t)}{dt} e^{-st}dt =$$

$$e^{-st} = U; \quad U \times V = \int_0^\infty U dV + \int_0^\infty V dU$$

$$\frac{dy(t)}{dt} = dV; \quad y(t) = V; \quad \int_0^\infty U dV = U \times V - \int_0^\infty V dU$$

$$= y(t)e^{-st} \Big|_0^\infty + \int_0^\infty y(t) \times s e^{-st}dt = -y(0) + s \int_0^\infty y(t) e^{-st}dt = -y(0) + s Y(s) = s Y(s)$$

Считается, что $y(0) = 0$ - нулевые начальные условия.

$$y(t) \rightarrow F\{y(t)\} = s Y(s)$$

$$T_a s Y(s) + Y(s) = k_a X(s)$$

$$\frac{Y(s)}{X(s)} = W(s) = \frac{k_a}{T_a s + 1} \text{ - передаточная функция}$$

$$L\left\{\frac{d^2 y(t)}{dt^2}\right\} \rightarrow s^2 Y(s)$$

при начальных нулевых условиях

$$L\left\{\frac{d^n y(t)}{dt^n}\right\} \rightarrow s^n Y(s)$$

Дифференциальное уравнение в общем виде.

Любую ДС можно представить в виде одного дифференциального уравнения.

$$T_n \times \frac{d^n y(t)}{dt^n} + T_{n-1} \times \frac{d^{n-1} y(t)}{dt^{n-1}} + \dots + T_1 \times \frac{dy(t)}{dt} + y(t) = \int_1^{\dot{}} T_{m,x}^m \times \frac{d^m x(t)}{dt^m} + \dots + T_{1,x} \times \frac{dx(t)}{dt} + x(t) \times K$$

T имеет размерность времени.

Это же уравнение, преобразованное по Лапласу:

$$\frac{K(T_{m,x}^m \times s^m + \dots + T_{1,x} \times s + 1)}{T_n \times s^n + \dots + T_1 \times s + 1} = W(s) = \frac{Y(s)}{X(s)} - \text{передаточная функция.}$$

Передаточная функция ЛДС $W(s)$ – отношение преобразованных по Лапласу выходной переменной Y к входной переменной X при нулевых начальных условиях.

$$Y(s) = X(s) \times W(s)$$

«+» - нет интегралов, можно использовать обычное алгебраическое действие.

$$Y(s) = L\{Y(t)\} - \text{прямое преобразование Лапласа}$$

$$Y(t) = L^{-1}\{Y(s)\} - \text{обратное преобразование Лапласа}$$

$Y(t)$ - оригинал, $Y(s)$ - изображение.

$$Y(t) = \int_{-a+jw, (w \otimes - Y)}^{+a+jw, (w \otimes + Y)} Y(s) \times e^{-st} ds$$

3.3. ПРИМЕР «Анализ ЛДС с применением интегральных преобразований Лапласа».



Представленная система описывается дифференциальными уравнениями:

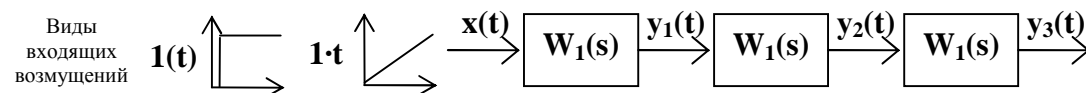
$$\int_1^{\dot{}} T_1 \frac{dy_1(t)}{dt} + y_1(t) = k_1 x(t), \quad [\text{ДС1}]$$

$$\int_1^{\dot{}} T_2 \frac{dy_2(t)}{dt} + y_2(t) = k_2 y_1(t), \quad [\text{ДС2}]$$

$$\int_1^{\dot{}} T_3 \frac{dy_3(t)}{dt} + y_3(t) = k_3 y_2(t), \quad [\text{ДС3}]$$

Решать эту систему надо относительно $y_3(t)$

Преобразованная по Лапласу система:



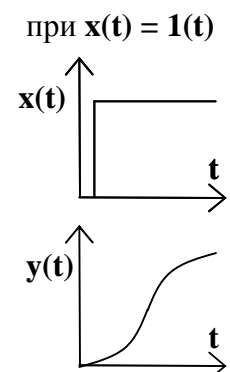
$$W_1(s) = \frac{k_1}{T_1 \times s + 1}$$

$$W_2(s) = \frac{k_2}{T_2 \times s + 1}$$

$$W_3(s) = \frac{k_3}{T_3 \times s + 1}$$

$$\left. \begin{aligned} Y_3(s) &= Y_2(s) \times W_3(s) \\ Y_2(s) &= Y_1(s) \times W_2(s) \\ Y_1(s) &= X(s) \times W_1(s) \end{aligned} \right\} \Rightarrow Y_3(s) = X(s) \times W_1(s) \times W_2(s) \times W_3(s)$$

$$Y_3(t) = L^{-1}\{Y_3(s)\}$$

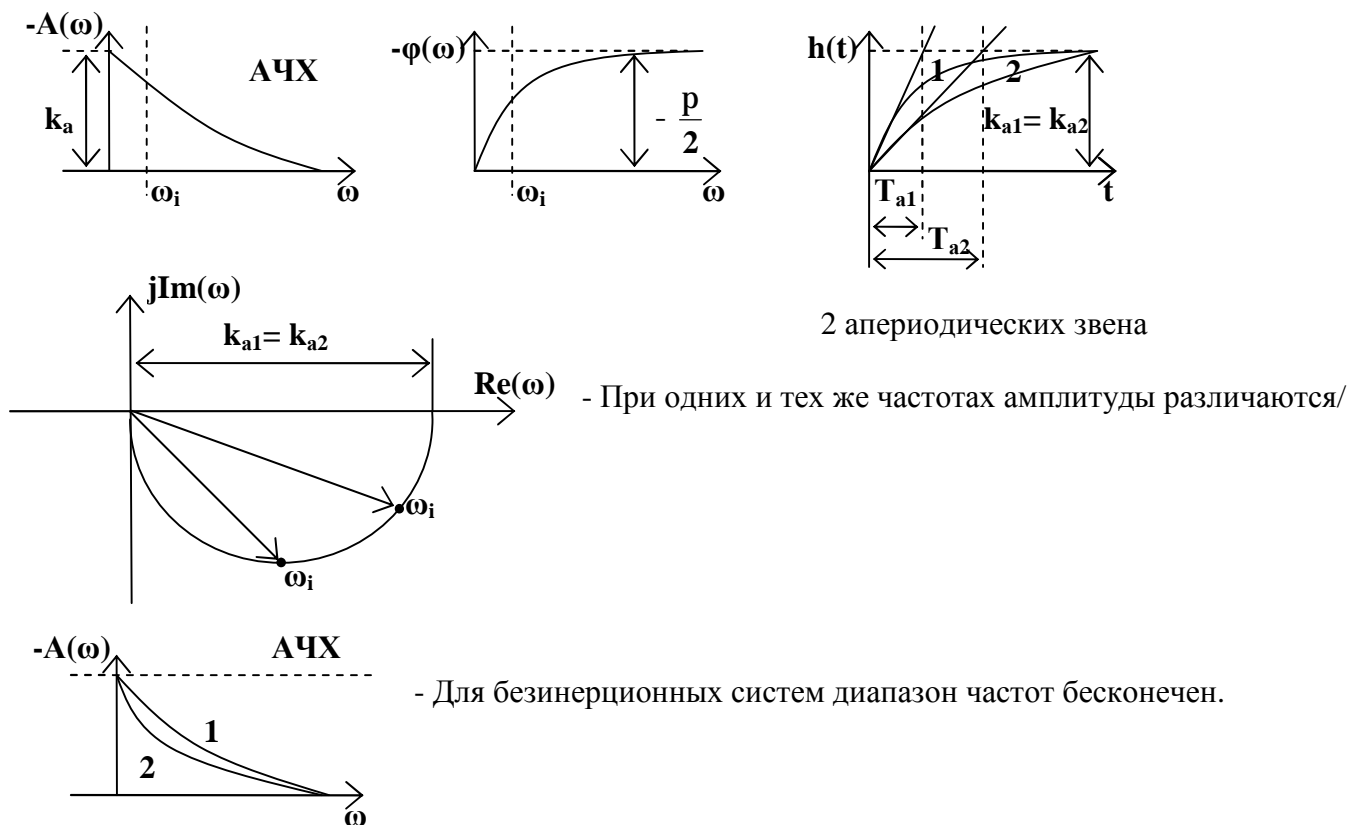


Программа для решения задачи в среде MathCad Prof. **RZDLaplace**.

$$w = 0 \quad \begin{cases} \hat{1} \operatorname{Re}(w) = k_a \\ \hat{1} \operatorname{Im}(w) = 0 \end{cases}$$

$$w = \forall \quad \begin{cases} \hat{1} \operatorname{Re}(w) = 0 \\ \hat{1} \operatorname{Im}(w) = -\frac{p}{2} \end{cases}$$

$$\text{При } w = \frac{1}{T_a}, j(w) = -45^\circ, A(w) = \frac{k_a}{\sqrt{2}}$$



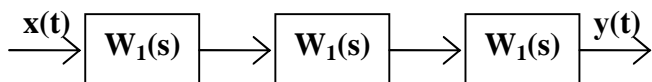
Построение переходных характеристик с применением обратного преобразования Фурье.

Входное воздействие: $x(t) = 1(t)$

$$h(t) = \frac{2}{p} \int_0^{w_{\text{през}}} \frac{\operatorname{Re}\{W(jw)\}}{w} \times \sin wt \times dw$$

Необходимо знать КЧХ $W(jw)$

ПРИМЕР (см. ранее).



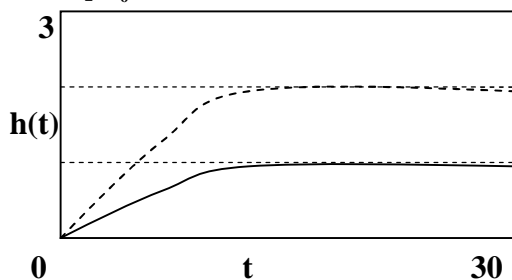
$$\begin{aligned} k_1 &:= & k_2 &:= & k_3 &:= \\ T_1 &:= & T_2 &:= & T_3 &:= \end{aligned}$$

$$W_1(jw) := \frac{k_1}{T_1 \times jw + 1} \quad W_2(jw) := \frac{k_2}{T_2 \times jw + 1} \quad W_3(jw) := \frac{k_3}{T_3 \times jw + 1}$$

$$W(jw) := W_1(jw) \times W_2(jw) \times W_3(jw)$$

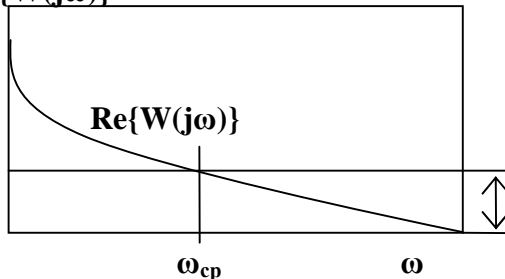
$$W_{\text{cp}} := 0.2$$

$$h(t) := \frac{2}{p} \int_0^{w_{cp}} \frac{\operatorname{Re}\{W(jw)\}}{w} \times \sin wt \times dw$$



Если помножить на 2.

$\operatorname{Re}\{W(j\omega)\}$



$(0.01 \div 0.03) \operatorname{Re}(0)$ - к выбору частоты среза

4. Элементарные динамические звенья.

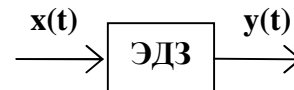
4.1. Общие сведения.

Элементарное динамическое звено (ЭДЗ) – ЛДС, описываемая дифференциальными уравнениями не выше 1-ого порядка.

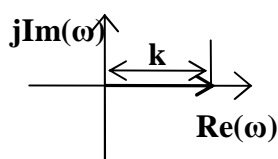
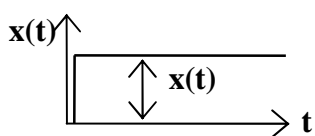
Дифференциальное уравнение в общем виде: $T_{1,y} \frac{dy(t)}{dt} + y(t) = k \times T_{1,x} \frac{dx(t)}{dt} + k \times x(t)$

Свойства ЭДЗ:

1. детектируемость – означает, что ЭДЗ однонаправленные – сигнал проходит со входа на выход, а не наоборот.
2. автономность – свойства одного звена не влияют на свойства другого (свойства звена определяются постоянными $T_{1,x}$; $T_{1,y}$; k).

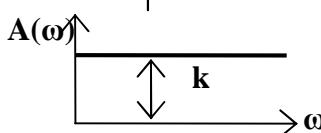
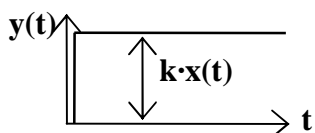


4.2. Пропорциональное звено (П-звено).



$$y(t) = k \times x(t)$$

$$h(t) = \frac{y(t)}{x(t)}$$



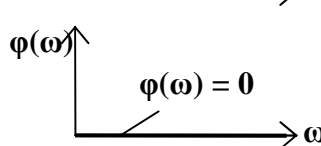
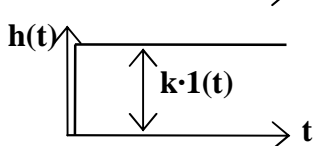
$$W(s) = \frac{y(s)}{x(s)} = k - \text{передаточная функция}$$

$$W(jw) = k - \text{КЧХ,}$$

для любых частот КЧХ будет представлена вектором.

$$A(\omega) = k$$

$$\varphi(\omega) = 0$$

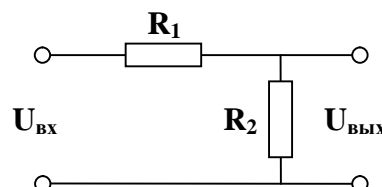


ПРИМЕР: - пассивный четырехполюсник.

$$\frac{U_{BX}}{R_1 + R_2} = \frac{U_{ВЫХ}}{R_2} \Rightarrow U_{ВЫХ} = \frac{R_2}{R_1 + R_2} \times U_{BX}$$

Разностное уравнение: $y_{j+1} = k \times x_j$

- применяется при имитационном моделировании



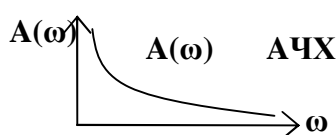
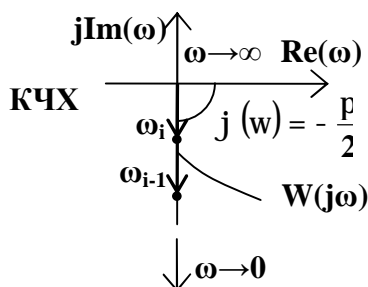
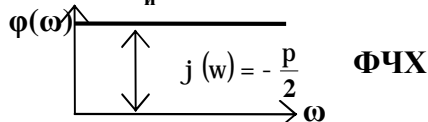
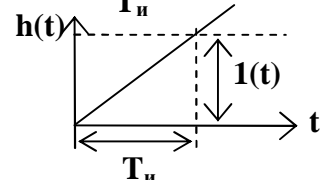
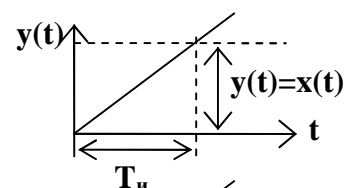
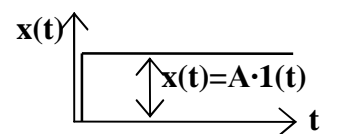
4.3. Интегрирующее звено (И-звено).

$$T_n \frac{dy(t)}{dt} = x(t)$$

T_n - постоянная времени (интегрирования)

$$\int_0^t dy(t) = \frac{1}{T_n} \times x(t) \times \int_0^t dt \Rightarrow y(t) = \frac{1}{T_n} \times x(t) \times t$$

Кривые разгона $y(t)$, переходные характеристики $h(t)$



Передаточная функция:

$$T_n \times s \times y(s) = x(s) \Rightarrow$$

$$\frac{y(s)}{x(s)} = \frac{1}{T_n \times s}$$

КЧХ:

$$W(j\omega)|_{s=j\omega} = \frac{1}{T_n \times j\omega} = -j \frac{1}{T_n \times \omega}$$

$\text{Im}(w); \{\text{Re}(w)=0\}$

$$W(j\omega) = \frac{1}{T_n \times j\omega} \times e^{-j\frac{p}{2}}$$

Если подавать на вход гармонические колебания, то на выходе сигнал будет

отставать на $\frac{p}{2}$.

$$\omega_i \neq \omega_{i-1}$$

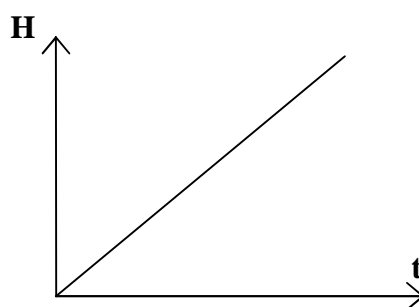
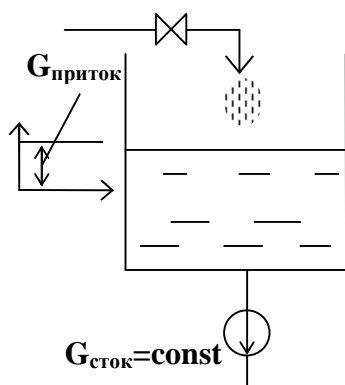
Разностное уравнение: $T_n \frac{y_{j+1} - y_j}{Dt} = x_j$

Dt - шаг (выбирается): $Dt = t_{j+1} - t_j$

$$y_{j+1} = y_j + \frac{Dt}{T_n} \times x_j$$

Требуется задание начальных условий: $y_0 \rightarrow 0, x_0 \rightarrow 0$

ПРИМЕР: емкость постоянного сечения, в которую наливают воду с постоянным расходом.

**4.4. Аперiodическое звено (А-звено).**

$$T_a \frac{dy(t)}{dt} + y(t) = k_a \times x(t)$$

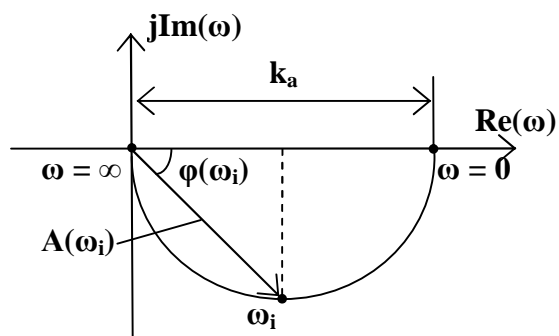
Аперiodическое, так как решение – экспонента, нет колебаний.

$$y(t) = x(t) \times k_a \left(1 - e^{-\frac{t}{T_a}} \right)$$

$$h(t) = k_a \left(1 - e^{-\frac{t}{T_a}} \right)$$

$$W(s) = \frac{y(t)}{x(t)} = \frac{k_a}{T_a s + 1}$$

$$W(j\omega) \Big|_{s=j\omega} = \frac{k_a}{\sqrt{T_a^2 \omega^2 + 1}} \times e^{-j \arctg(T_a \omega)}$$

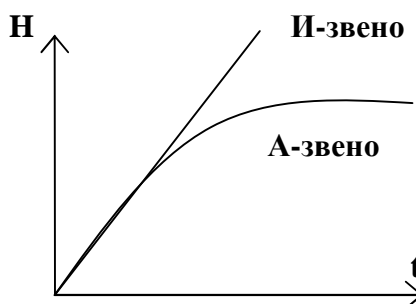
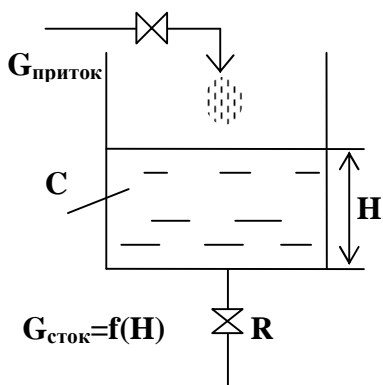


Разностные уравнения (для имитационного моделирования, числовые решения)

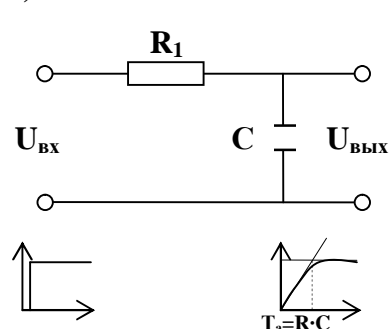
$$T_a \frac{y_{j+1} - y_j}{\Delta t} + y_j = k_a \times x_j \Rightarrow y_{j+1} = \dots$$

ПРИМЕРЫ:

1) При - И Р G_{ст} - и наоборот.



2)



$$I = C \times \frac{dU_{\text{ВЫХ}}}{dt}$$

$$I = \frac{U_{\text{ВХ}} - U_{\text{ВЫХ}}}{R}$$

$$R \times C \times \frac{dU_{\text{ВЫХ}}}{dt} + U_{\text{ВЫХ}} = U_{\text{ВХ}}, \quad k_a = 1$$

4.5. Реальное дифференцирующее звено (РД-звено).

$$T_d \frac{dy(t)}{dt} + y(t) = k_d \times T_d \frac{dx(t)}{dt}$$

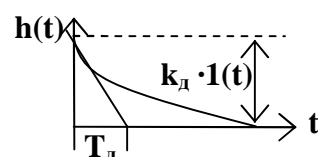
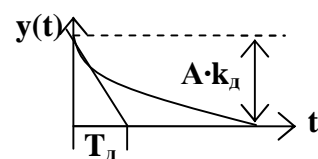
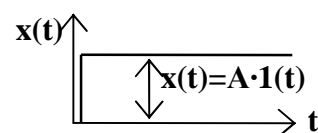
(идеальное дифференцирующее звено $\frac{dy(t)}{dt} = 0$)

$$W(s) = \frac{Y(s)}{X(s)} = \frac{k_d \times T_d \times s}{T_d \times s + 1}$$

$$y(t) = L^{-1}\{x(t) \times W(s)\}$$

$$W(s) \Big|_{s \rightarrow \infty} = k_d$$

$$W(j\omega) \Big|_{s=j\omega} = \frac{k_d \times T_d \times j\omega}{T_d \times j\omega + 1} = \frac{k_d \times T_d \times \omega}{\sqrt{T_d^2 \omega^2 + 1}} \times e^{-j \arctg(T_d \omega)}$$



Выходные колебания в такой системе опережают входные.

$$w = 0; \quad j(w) = \frac{p}{2}$$

$$w = \infty; \quad j(w) = 0$$

ПРИМЕР: РД-звено – пассивный четырехполюсник.

$$I = C \frac{dU_c}{dt} = C \frac{d(U_{BX} - I \times R)}{dt} = C \frac{dU_{BX}}{dt} - C \times R \frac{dI}{dt}$$

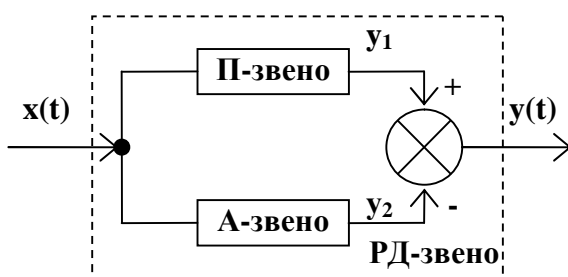
$$C \times R \frac{dI}{dt} + I = \frac{C \times R}{R} \frac{dU_{BX}}{dt}$$

$$k_d = \frac{1}{R}; \quad T_d = C \times R; \quad I = y(t); \quad U_{BX} \propto x(t)$$

$$T_d \frac{dy(t)}{dt} + y(t) = k_d \times T_d \times \frac{dx(t)}{dt}$$

Если $R \rightarrow 0$, то получим идеальное дифференцирующее звено; $k_d \times T_d = \text{const}$.

Разностное уравнение.



П-звено: k_d ;

$$\text{А-звено: } \frac{k_d}{T_d \times s + 1}$$

Обычно РД-звено представляют так:

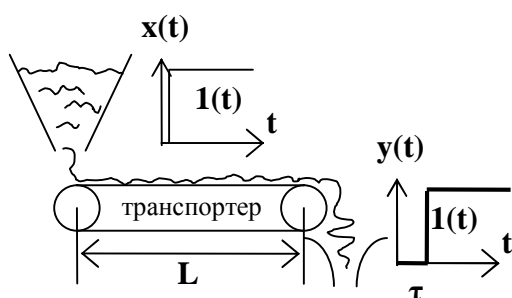
$$W_{рд} = k_d - \frac{k_d}{T_d \times s + 1} = \frac{k_d \times T_d \times s}{T_d \times s + 1} - \text{передаточная функция.}$$

$$\dot{y}_{j+1} = k_d \times x_j$$

$$\dot{y}_{j+1} = \frac{1}{T_d} \times y_j + k_d \times \frac{D}{Dt} \times x - \text{разностные уравнения.}$$

$$\dot{y}_{j+1} = y_{j+1} + y_{j+1}$$

4.6. Запаздывающее звено (З-звено). (Звено транспортного запаздывания).



ПРИМЕР:

$$t = \frac{L}{V}, \quad V - \text{скорость.}$$

$$y(t) = x(t) - t$$

- уравнение З-звена.

Разностное уравнение:

$$y_{j+1} = \begin{cases} x_j, & t_j \leq t < t_j + \tau \\ 0, & \text{иначе} \end{cases}$$

Если $t_j \leq t$, то $y_{j+1} = 0$, иначе $y_{j+1} = x_j - \frac{t}{Dt}$

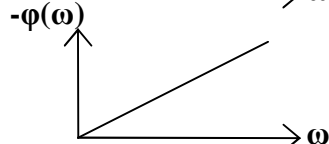
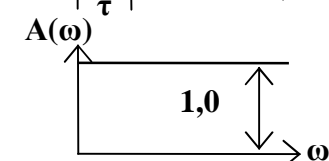
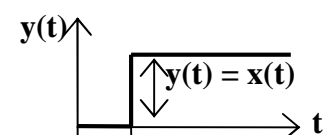
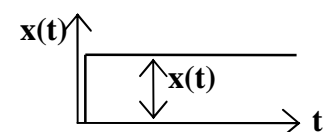
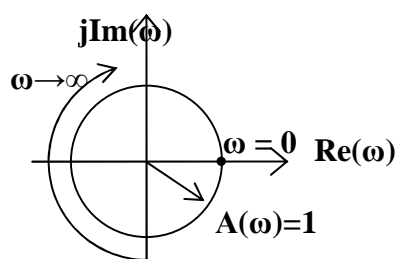
$$W(jw) = 1 \times e^{-jw\tau} - \text{КЧХ З-звена}$$

τ - временной сдвиг, w - частота.

Фазовый сдвиг = $w \times \tau$

Знак «-» означает запаздывание.

$$W(s) \Big|_{jw \rightarrow s} = e^{-s\tau} - \text{передаточная функция.}$$



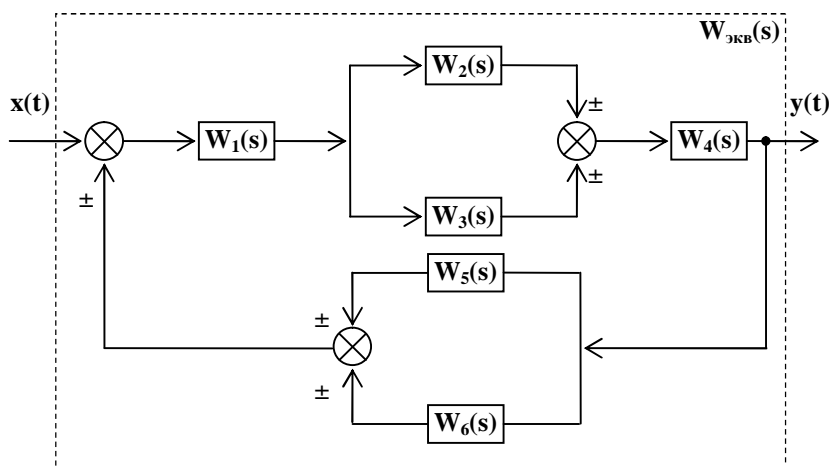
5. Соединение элементарных динамических звеньев (ЭДЗ).

5.1. Общие сведения.

Виды соединений.

1. параллельное;
2. последовательное;
3. встречно-параллельное;
4. комбинированное.

ПРИМЕР:

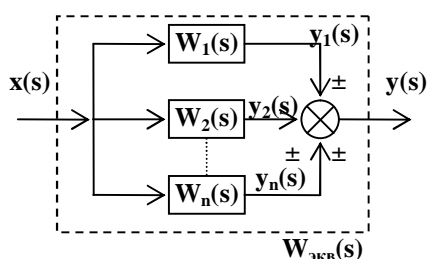


$W_1, W_6(s)$ - передаточные функции ЭД систем.

Правила.

1. $x(t) = x_1(t) = x_2(t) = x_3(t)$
2. алгебраический сумматор: $x(t) = \pm x_1(t) \pm x_2(t)$
3. $y(s) = x(s) \times W(s)$

5.2. Параллельное соединение ЭДЗ.



$$y(s) = \pm y_1(s) \pm y_2(s) \pm \dots \pm y_n(s)$$

$$y_1(s) = x(s) \times W_1(s)$$

M

$$y_n(s) = x(s) \times W_n(s)$$

$$y(s) = x(s) \times [\pm W_1(s) \pm W_2(s) \pm K \pm W_n(s)]$$

$$W_{\text{экв}}(s) = \frac{y(s)}{x(s)} = \pm W_1(s) \pm W_2(s) \pm K \pm W_n(s)$$

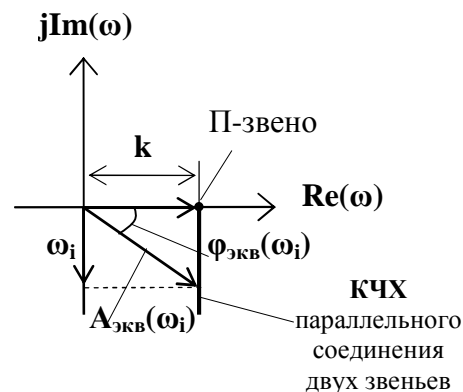
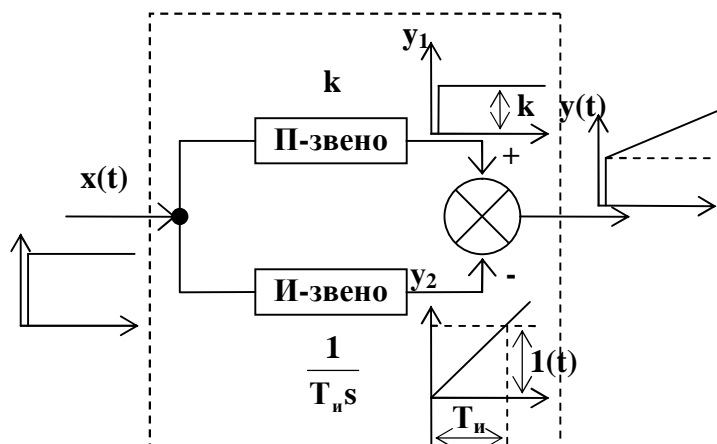
Правило: Эквивалентная передаточная функция параллельного соединения звеньев равна сумме их передаточных функций.

$$\text{КЧХ: } W(j\omega) \Big|_{s=j\omega} = \sum_{i=1}^n W_i(j\omega)$$

ПРИМЕР: (из лабораторной работы №1).

Параллельное соединение П-звена и И-звена.

$$W_{\text{экв}}(s) = W_n(s) + W_n(s) = k + \frac{1}{T_n \times s}$$



$$W_{\text{экр}}(jw) \Big|_{s=jw} = k + \frac{1}{T_n \times jw} = k - j \frac{1}{T_n \times w}$$

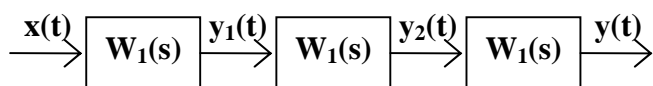
$$A_{\text{экр}}(w) = \sqrt{k^2 + \frac{1}{(T_n \times w)^2}}$$

$$\varphi(w) = -\arctg \frac{1}{k \times T_n \times w}$$

$$\text{При } w \rightarrow 0; \varphi \rightarrow -\frac{p}{2}$$

$$W_n(jw) = k; W_n(jw) = \frac{1}{T_n \times w} \times e^{-j\frac{p}{2}}$$

5.3. Последовательное соединение ЭДЗ.



$$y(t) = L^{-1}\{W_1 \times W_2 \times W_3\}$$

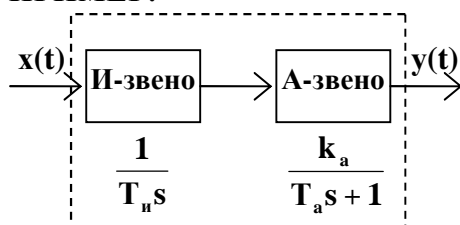
$$y(s) = y_2(s) \times W_3(s) = y_1(s) \times W_2(s) \times W_3(s) = x(s) \times W_1(s) \times W_2(s) \times W_3(s)$$

$$W_{\text{экр}}(s) = \frac{y(s)}{x(s)} = W_1(s) \times W_2(s) \times W_3(s)$$

$$W_{\text{экр}}(jw) \Big|_{s=jw} = W_1(jw) \times W_2(jw) \times W_3(jw)$$

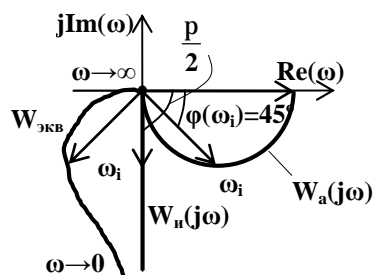
Правило: Передаточная функция или КЧХ последовательного соединения звеньев равна произведению передаточных функций или КЧХ входящих в соединение звеньев.

ПРИМЕР:



$$W_{\text{экр}}(s) = W_n(s) \times W_a(s) = \frac{k_a}{T_n \times s \times (T_a \times s + 1)}$$

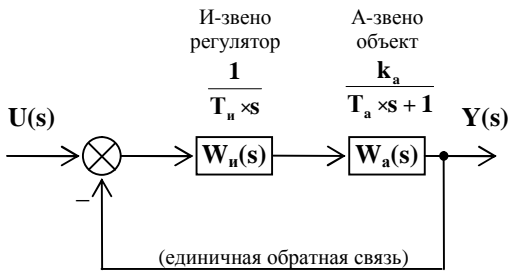
$$W_{\text{экр}}(jw) = \frac{1}{T_n \times w} \times e^{-j\frac{p}{2}} \times \frac{k_a}{\sqrt{T_a^2 \times w^2 + 1}} \times e^{-\arctg(T_a \times w)} = \frac{k_a}{T_n \times w \times \sqrt{T_a^2 \times w^2 + 1}} \times e^{-j\frac{p}{2} + \arctg(T_a \times w)}$$



1. через решение эквивалентного дифференциального уравнения
2. через $\mathbf{W}_{\text{эКВ}}(s)$ и обратное преобразование Лапласа $\mathbf{L}^{-1}\{\mathbf{U}(s) \times \mathbf{W}_{\text{эКВ}}^{U-Y}(s)\}$
3. через $\mathbf{W}_{\text{эКВ}}(j\omega)$ и обратное преобразование Фурье

$$W_{\text{экв}}(s) = \frac{W_1(s) \times [W_2(s) + W_3(s)] \times W_4(s)}{1 + W_1(s) \times [W_2(s) + W_3(s)] \times W_4(s) \times [W_5(s) + W_6(s)]}$$

ПРИМЕР: (лабораторная работа №2)



$$k_a, T_a = \text{const}; T_n = \text{var}$$

Канал $U(t) \rightarrow y(t)$

$$W_{\text{экв}}^{U-Y} = \frac{W_n(s) \times W_a(s)}{1 + W_n(s) \times W_a(s)} = \frac{\frac{1}{T_n \times s} \times \frac{k_a}{T_a \times s + 1}}{1 + \frac{k_a}{T_n \times s \times (T_a \times s + 1)}} = \frac{\frac{k_a}{T_n \times T_a \times s^2 + T_n \times s + k_a}}{\frac{k_a}{k_a}} =$$

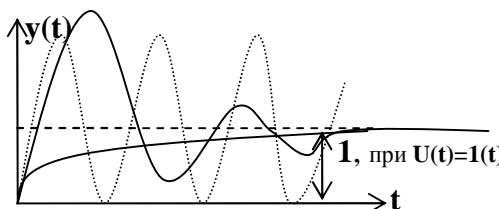
$$W_{\text{экв}}^{U-Y} = \frac{1}{\frac{T_n \times T_a}{k_a} \times s^2 + \frac{T_n}{k_a} \times s + 1}$$

$$s \rightarrow \frac{1}{dt}; s^2 \rightarrow \frac{1}{dt^2}$$

Обратное преобразование:

$$T_2^2 \times \frac{d^2 y(t)}{dt^2} + T_1 \times \frac{dy(t)}{dt} + y(t) = 1 \times U(t)$$

В зависимости от T_2^2 и T_1 (то есть от T_n, T_a, k_a) вид $y(t)$ будет меняться.



В такой системе расходящихся колебаний быть не может.

Решение дифференциального уравнения [1]

$$y(t) = y_{\text{вынужден}}(t) + y_{\text{своб}}(t)$$

$$y_{\text{вынужден}}(t) = 1 \times U(t) \Big|_{U(t)=1} = 1 \rightarrow \text{определяется правой частью}$$

$$y_{\text{своб}}(t) = \sum_{i=1}^2 C_i \times e^{r_i t} = C_1 \times e^{r_1 t} + C_2 \times e^{r_2 t}$$

r_1, r_2 - корни характеристического уравнения $[T_2^2 \times r^2 + T_1 \times r + 1 = 0, \text{ при } y(t) \rightarrow 0]$

$$r_{1,2} = -\frac{T_1}{2T_2} \pm \sqrt{\frac{T_1^2}{4T_2^2} - \frac{1}{T_2^2}}$$

Варианты:

а. подкорненное выражение больше 0 $\rightarrow T_1 < 2T_2$

* подкорненное выражение равно 0, если $T_1 = 2T_2$

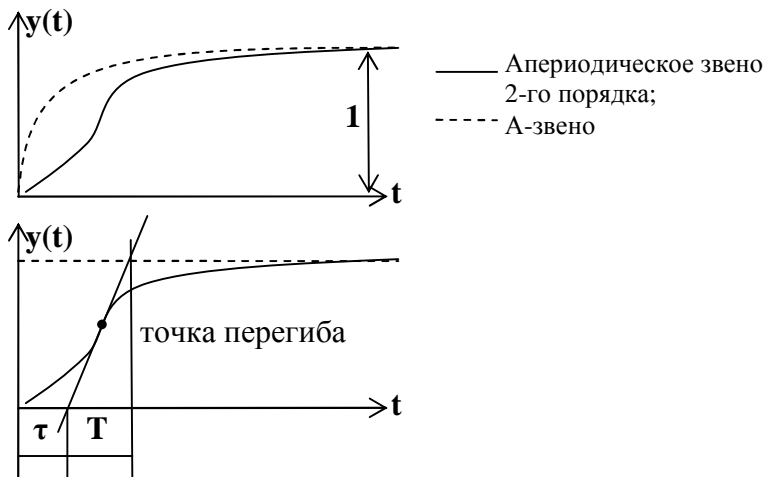
корни: $r_1 = -a_1; r_2 = -a_2$ (корни вещественны и отрицательны).

$$y(t) = 1 + C_1 e^{-a_1 t} + C_2 e^{-a_2 t}$$

C_1 и $C_2 \rightarrow$ из нулевых начальных условий:

$$\begin{aligned} y(t) \Big|_{t=0} &= 1 + C_1 + C_2 = 0 \\ y'(t) \Big|_{t=0} &= -a_1 \times C_1 - a_2 \times C_2 = 0 \end{aligned} \quad \begin{aligned} \dot{y} \Big|_{t=0} &= -\frac{a_2}{a_2 - a_1} \\ \dot{y} \Big|_{t=0} &= +\frac{a_1}{a_2 - a_1} \end{aligned}$$

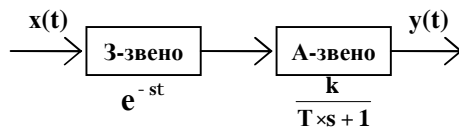
Окончательно: $y(t) = 1 - \frac{a_2}{a_2 - a_1} \times e^{-a_1 t} + \frac{a_1}{a_2 - a_1} \times C_2 e^{-a_2 t}$



Примечание: Динамическую систему, которая описывается линейным дифференциальным уравнением 2-го порядка, принято называть инерционным звеном 2-го порядка.

Если корни вещественны, отрицательны и различны, то такое звено называют аperiодическим звеном 2-го порядка.

Такое звено можно заменить:



$$W_{\text{экв}}(s) = \frac{1}{T \times s + 1} \times e^{-t \times s}$$

b. $T_1 = 2T_2$

$r_1 = r_2 = -a$

$y(t) = 1 + (C_1 + C_2) \times e^{-at}$, при $x(t) = 1$

Начальные условия:

$y(t)|_{t=0} = 0 \Rightarrow C_1 = -1$

$y'(t)|_{t=0} = 0 \Rightarrow C_2 = -a$

Окончательное решение: $y(t) = 1 - (1 + a \times t) \times e^{-at}$ - граница между вещественными и комплексными конями.

c. $T_1 > 2T_2$

корни: $r_1 = r_2 = -a \pm jw$

* $w = \sqrt{\frac{1}{T_2^2} - \frac{a^2}{4T_2^2}}$ - расчетная частота собственных колебаний; $\sqrt{-1} = j$

$y(t) = 1 + (C_1 \times \cos wt + C_2 \times \sin wt) \times e^{-at}$

Начальные условия:

$y(t)|_{t=0} = 0 \Rightarrow C_1 = -1$

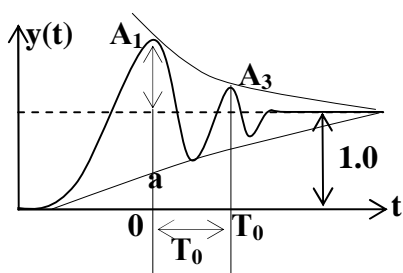
$y'(t)|_{t=0} = 0 \Rightarrow C_2 = -\frac{a}{w}$

Окончательное решение: $y(t) = 1 - \frac{a}{w} \cos wt + \frac{a}{w} \sin wt \times e^{-at}$

1. $T_a = 10$; $T_{\text{и}} = 10$; $k_a = 1$

2. $T_{\text{и},1} = 0.2 \cdot T_{\text{и}}$

3. $T_{\text{и},2} = 5 \cdot T_{\text{и}}$



$T_0 = \frac{2\pi}{w}$ - период собственных колебаний

$A_3 = A_1 \times e^{-at}$

$w = \frac{2\pi}{T_0}$ - экспериментальная частота собственных колебаний

Для таких систем вводят **степень затухания**: $y = \frac{A_1 - A_3}{A_1}$

Возьмем отрезок $[0; T_0]$ - см. график

$$y = \frac{A_1 - A_1 \times e^{-aT_0}}{A_1} = 1 - e^{-a \frac{2p}{w}}$$

$$\left| \frac{a}{w} \right| = m - \text{степень колебательности.}$$

$$y = 1 - e^{-2pm}$$

На практике $y = 0.7, 0.9$

y	0.7	0.9
m	0.221	0.366

Теоретически $y = 0, 1$
 $m = 0, \infty$

d. $T_1 = 0$

корни: $r_1 = r_2 = \pm jw$ - чисто мнимые

$$y(t) = 1 - \cos wt$$

Подбирая коэффициенты T_n можно подобрать вид кривой.

Частотные характеристики инерционного звена 2-го порядка.

$$W_{\text{экр}}(s) = W_n(s) \times W_a(s) \times \frac{1}{1 + W_n(s) \times W_a(s)} - \text{соответствии со схемой.}$$

$$W_{\text{экр}}(jw) \Big|_{s=jw} = \frac{W_n(jw) \times W_a(jw)}{1 + W_n(jw) \times W_a(jw)}$$

Можно получить $W_{\text{экр}}(s)$ и $W_{\text{экр}}(jw)$ из дифференциального уравнения.

$$W_{\text{экр}}(s) = \frac{Y(t)}{X(t)} = \frac{1}{T_2^2 \times s^2 + T_1 \times s + 1}$$

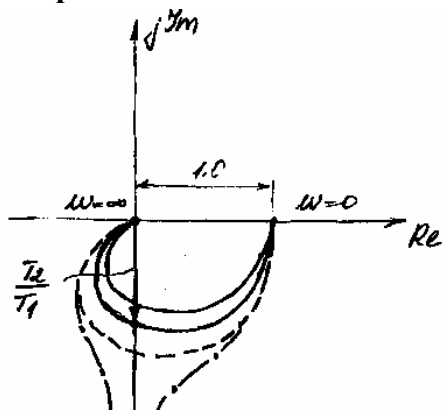
$$W_{\text{экр}}(jw) = \frac{1 \times (1 - T_2^2 \times w^2 - jT_1 \times w)}{(T_2^2 \times (jw)^2 + T_1 \times jw + 1) \times (1 - T_2^2 \times w^2 - jT_1 \times w)} =$$

$$= \frac{1 - T_2^2 \times w^2}{\underbrace{(1 - T_2^2 \times w^2)^2 + T_1^2 \times w^2}_{\text{Re}(w)}} - j \times \frac{T_1 \times w}{\underbrace{(1 - T_2^2 \times w^2)^2 + T_1^2 \times w^2}_{\text{Im}(w)}}$$

$$A(w) = \sqrt{\text{Re}^2(w) + \text{Im}^2(w)} = \frac{1}{\sqrt{(1 - T_2^2 \times w^2)^2 + T_1^2 \times w^2}}$$

$$j(w) = \arctg \frac{\text{Im}(w)}{\text{Re}(w)} = - \arctg \frac{T_1 \times w}{1 - T_2^2 \times w^2}$$

1 вариант: аналитический.



————— $T_1 \neq 2T_2$
 - - - - - $T_1 = 2T_2$
 - - - - - $T_1 = 0$
 ————— $T_1 = 2T_2$

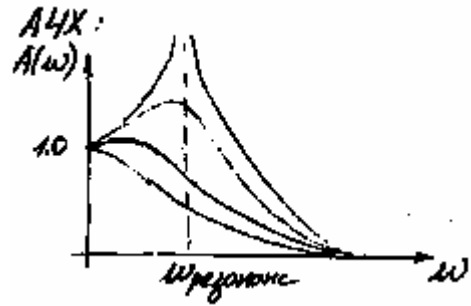
При $T_1 = 2T_2$ (случай б) $\frac{T_2}{T_1} = 0.5$, КЧХ – граница

1. $w = 0, j(0) = 0, A(0) = 1$

2. $w \rightarrow \infty, j(\infty) = -p, A(\infty) \rightarrow 0$

3. $j = -\frac{p}{2}, \text{Re}(w) = 0 \text{ и } w = \frac{1}{T_2}$

Резонанс при $w = w_{\text{собств.}}$



1. Сначала строятся КЧХ А-звена и КЧХ И-звена.
2. При какой-то частоте ω_3 строится $\mathbf{W}_a \times \mathbf{W}_n$
3. складываются вектора $\mathbf{1}$ и $\mathbf{W}_a \times \mathbf{W}_n$,
получается вектор $\mathbf{1} + \mathbf{W}_a \times \mathbf{W}_n$
4. делим $\mathbf{W}_a \times \mathbf{W}_n$ на $\mathbf{1} + \mathbf{W}_a \times \mathbf{W}_n$. При этом аргументы вычитаются, а модули делятся.

Block diagram of a negative feedback control system. The input $U(s)$ enters a summing junction (circle with a cross). The output of the summing junction goes through block $W_1(s)$, then block $W_2(s)$, and finally through a feedback path (indicated by a minus sign) back to the summing junction. The output $Y(s)$ is taken from the output of $W_2(s)$. The entire system is labeled $W_{3AM}(s)$ in a dashed box.

$$W_{\text{зам}}(s) = \frac{Y(s)}{U(s)} = \frac{W_1(s) \times W_2(s)}{1 + W_1(s) \times W_2(s)} - \text{замкнутая АСР}$$

$$W_{pa3}(s) = \frac{Y(s)}{U(s)} = W_1(s) \times W_2(s)$$

$$W_{3\text{am}}(s) = \frac{W_{\text{pa3}}(s)}{1 + W_{\text{na3}}(s)}$$

$$\begin{aligned} \overset{\text{---}\textcircled{\text{R}}}{\text{W}}_{\text{3AM}}(\text{jw}) &= \overset{\text{---}\textcircled{\text{R}}}{\text{OC}} & \mathfrak{E} \overset{\text{---}\textcircled{\text{R}}}{\text{mod OC}} &= \frac{\overset{\text{---}\textcircled{\text{R}}}{\text{mod OA}}}{\overset{\text{---}\textcircled{\text{R}}}{\text{mod OB}}} & \overset{\text{---}\textcircled{\text{R}}}{\ddot{0}} \\ & & & & \div \\ \overset{\text{---}\textcircled{\text{R}}}{\text{OC}} &= \frac{\overset{\text{---}\textcircled{\text{R}}}{\text{OA}}}{\overset{\text{---}\textcircled{\text{R}}}{\text{OB}}} & & & \div \\ & & \mathfrak{E} \overset{\text{---}\textcircled{\text{R}}}{\text{arg OC}} &= \overset{\text{---}\textcircled{\text{R}}}{\text{arg OA}} - \overset{\text{---}\textcircled{\text{R}}}{\text{arg OB}} & \overset{\text{---}\textcircled{\text{R}}}{\varnothing} \end{aligned}$$

$x(t)$ $y(s)$
 $G, \text{M}^3/\text{ч}$ $\Theta, ^\circ\text{C}$
 ~ 500 $\sim 80^\circ\text{C}$

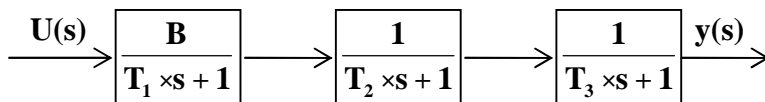
$$\mathbf{A}_3 \frac{d^3 \mathbf{y}(t)}{dt^3} + \mathbf{A}_2 \frac{d^2 \mathbf{y}(t)}{dt^2} + \mathbf{A}_1 \frac{d\mathbf{y}(t)}{dt} + \mathbf{y}(t) = \mathbf{B} \times \mathbf{x}(t)$$

$$V_{\frac{^{\circ}\text{C}}{\text{м}^3/\text{ч}}}$$
 - коэффициент усиления (задано ~ 1.0)

– на схеме изменяется температура на выходе подогреваемой среды при $DG_{\text{гор}} = 1 \frac{\text{м}^3}{\text{ч}}$

$$\mathbf{W}_{06}(s) = \frac{\mathbf{Y}(s)}{\mathbf{U}(s)} = \frac{\mathbf{B}}{\mathbf{A}_1 \mathbf{s}^3 + \mathbf{A}_2 \mathbf{s}^2 + \mathbf{A}_3 \mathbf{s} + \mathbf{A}_4}$$

Эквивалентная схема: 3 А-звена.



$$W_{00}^{\zeta}(s) = \frac{\mathbf{B}}{(\mathbf{T}_1 \times s + 1) \times (\mathbf{T}_2 \times s + 1) \times (\mathbf{T}_3 \times s + 1)}$$

Чтобы осуществить такую замену, необходимо найти T_1, T_2, T_3 (известны A_1, A_2, A_3).

$$\mathbf{T}_1 = -\frac{1}{\mathbf{r}_1}; \mathbf{T}_2 = -\frac{1}{\mathbf{r}_2}; \mathbf{T}_3 = -\frac{1}{\mathbf{r}_3}, \text{ где } \mathbf{r}_1, \mathbf{r}_2, \mathbf{r}_3 - \text{ корни характеристического уравнения } [*].$$

Программа для MathCad:

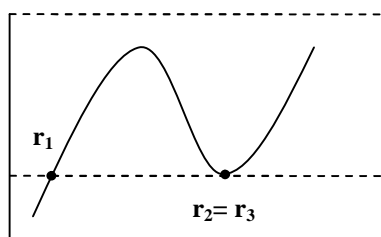
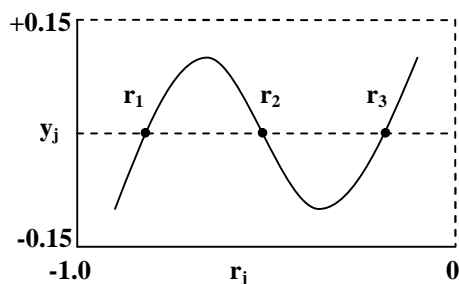
$$\mathbf{f}(\mathbf{A3}, \mathbf{A2}, \mathbf{A1}, \mathbf{r}) := \mathbf{A3} \times \mathbf{r}^3 + \mathbf{A2} \times \mathbf{r}^2 + \mathbf{A1} \times \mathbf{r} + \mathbf{1}$$

A3 := 40; A2 := 38; A1 := 11;

$$\mathbf{j} := 0\mathbf{K}100; \quad \mathbf{r}_i := 0.1\mathbf{j} - 1;$$

(Практически все корни в задании **0**, **(- 1)**)

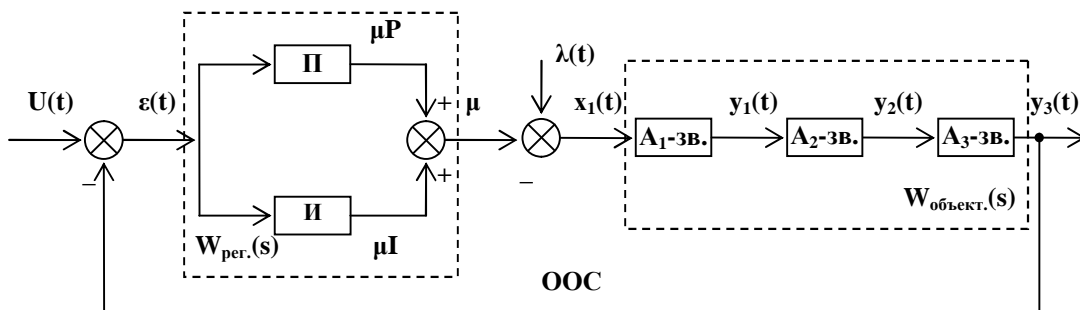
$$\mathbf{y}_i := \mathbf{f}(\mathbf{A3}, \mathbf{A2}, \mathbf{A1}, \mathbf{r}_i)$$



Частный случай: $\mathbf{r}_1, \mathbf{r}_2 = \mathbf{r}_3$

6.2. Пример имитационного моделирования замкнутой АСР

Представим замкнутую АСР в виде структурной схемы из элементарных звеньев.



$$\begin{aligned} \mathbf{e}(\mathbf{t}) &= \mathbf{U}(\mathbf{t}) - \mathbf{y}_3(\mathbf{t}) \\ \mathbf{x}_1(\mathbf{t}) &= \mathbf{m}(\mathbf{t}) + \mathbf{l}(\mathbf{t}) \\ \mathbf{m} &= \mathbf{mP} + \mathbf{mI} \end{aligned}$$

$$\mathbf{A_1\text{-звено: } W_1(s) = \frac{B}{T_1 \times s + 1}}$$

$$\mathbf{A_2\text{-звено: } W_2(s) = \frac{B}{T_s \cdot s + 1}}$$

$$\mathbf{A}_3\text{-звено: } W_3(s) = \frac{\mathbf{B}}{\mathbf{T}_3 \times s + 1}$$

П - регулятор : $W_u = k_p \ddot{y}$

И - регулятор : $W_u = \frac{k_p}{T_u} \times \dot{y}$ ПИ - регулятор

Программа:

Исходные данные объекта: $k1 := B \quad k2 := 1 \quad k3 := 1$
 $T1 := 2 \quad T2 := 4 \quad T3 := 5$, ($B = 0.8$ - задано)

Разностные уравнения звеньев:

А-звено: $f_a(k_a, T_a, dt, X, Y) := \frac{a}{\xi} 1 - \frac{dt}{T_a} \times Y + \frac{dt}{T_a} \times k_a \times X$

И-звено: $f_i(k_p, T_u, dt, X, Y) := \frac{k_p}{T_u} \times dt \times X + Y$

П-звено: $f_p(k_p, X) := k_p \times X$

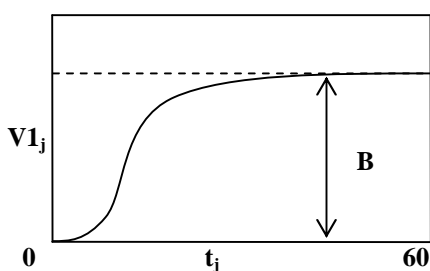
$te := 60$, $N := 6000$ - число точек, $[N = 100 \times t]$, t – время.

$dt := \frac{te}{N}$ - шаг, $j := 0$ KN

$t_j := dt \times j$ - текущее время

$m_0 \leftarrow 0$
 $mI_0 \leftarrow 0$
 $e_0 \leftarrow 0$
 $y1_0 \leftarrow 0$
 $y2_0 \leftarrow 0$
 $y3_0 \leftarrow 0$
 нулевые начальные условия
 for $j \hat{=} 0$ $K \frac{te}{dt}$
 $x_{j+1} \leftarrow 1 + m_j$
 $y1_{j+1} \leftarrow f_a(k1, T1, dt, x_{j+1}, y1_j)$
 $y2_{j+1} \leftarrow f_a(k2, T2, dt, y1_{j+1}, y2_j)$
 $y3_{j+1} \leftarrow f_a(k3, T3, dt, y2_{j+1}, y3_j)$
 $e_{j+1} \leftarrow U - y3_{j+1}$
 $mP_{j+1} \leftarrow f_p(k_p, e_{j+1})$
 $mI_{j+1} \leftarrow f_i(k_p, T_u, dt, e_{j+1}, mP_{j+1})$
 $m_{j+1} \leftarrow mP_{j+1} + mI_{j+1}$
 $y3$

$V1 := P(0, 1000, 1, 0)$



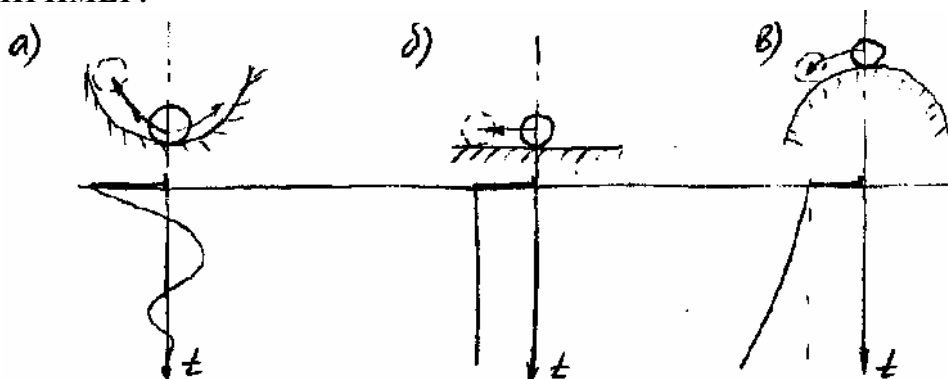
7. Устойчивость ЛДС.

7.1. Понятие об устойчивости.

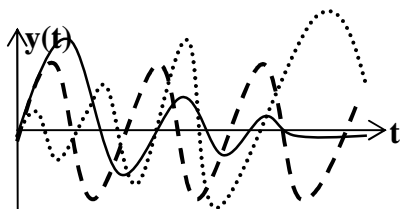
Аксиома 1: Устойчивость определяется внутренним состоянием ДС.

Аксиома 2: Устойчивость не является абсолютным свойством ДС.

ПРИМЕР:

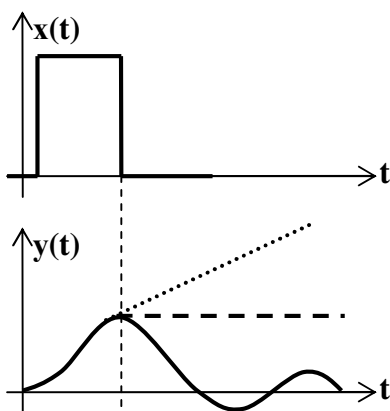


- а) устойчивая ДС
б) нейтральная ДС
в) неустойчивая ДС.



В данном случае внутренним состоянием системы является форма поверхности.

- - граница
— - устойчивая
... - неустойчивая



Если подать на вход сигнал:

$x(t)$ – правая часть диф. уравнения, описывающего ЛДС.

Систему можно отрегулировать так, чтобы она была устойчива.

Устойчивость – свойство ДС возвращаться в исходное состояние после снятия действующих на нее возмущений.

Устойчивость определяет свободное движение системы $y_{своб}(t)$

$$y_{своб}(t) = \sum_{i=1}^n C_i \times e^{r_i t}$$

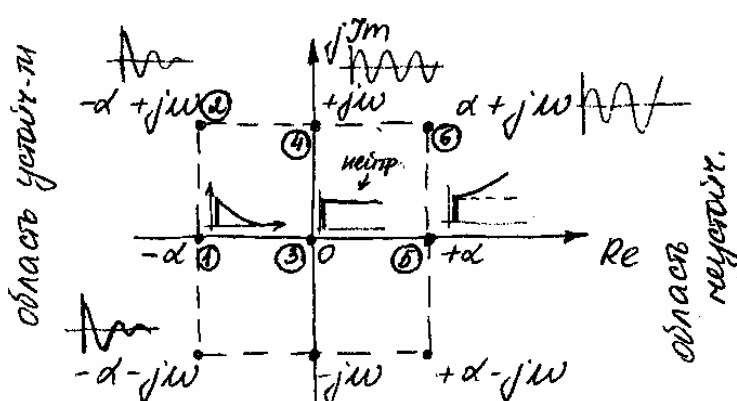
Свободное движение системы зависит от корней характеристического уравнения.

Прямой метод оценки устойчивости – решение дифференциального уравнения $y_{своб}(t)$

7.2. Косвенные методы оценки устойчивости ЛДС.

7.2.1. По корням характеристического уравнения ЛДС.

Дифференциальное уравнение ® характеристическое уравнение ® корни



Корни в общем виде: $r_{1,2} = \pm a \pm jw$

1. Корни вещественны, отрицательны ($-a_1, -a_2, K$).

ЛДС – устойчивая без колебаний.

2. Комплексные ($-a \pm jw$) с отрицательной вещественной частью. ЛДС устойчива с колебаниями.

3. Один из корней равен 0. ЛДС нейтральная.

4. Корни мнимые ® незатухающие колебания ® граница устойчивости.

5. Корень вещественный положительный. ЛДС неустойчива.
 6. Корни комплексные с (+ a). ЛДС неустойчива (колебания).

Критерий устойчивости по корням: ЛДС устойчива, если корни характеристического уравнения лежат слева от мнимой оси; неустойчива, если корни справа от мнимой оси (хотя бы один из корней).

Мнимая ось – граница устойчивости.

7.2.2. Алгебраический критерий (критерий Гурвица). (по коэффициентам характеристического уравнения).

Порядок анализа:

1. записывается характеристическое уравнение: $a_0 \times r^n + a_1 \times r^{n-1} + a_2 \times r^{n-2} + K + a_n = 0$

$$D^n = \begin{vmatrix} a_1 & a_3 & a_5 & K & 0 \\ a_0 & a_2 & a_4 & K & 0 \\ 0 & a_1 & a_3 & K & 0 \\ M & M & M & O & M \\ 0 & 0 & 0 & K & a_n \end{vmatrix}$$

2. составляется определитель Гурвица (матрица): $D^n =$

Сначала заполняется диагональ $a_1 \ L \ a_n$.

3. анализ определителя.

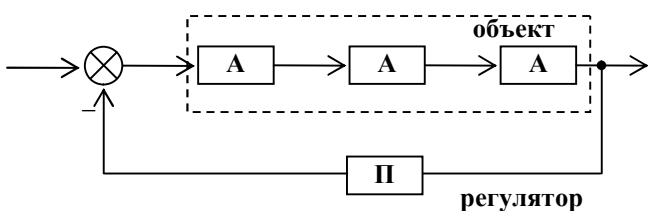
ЛДС устойчива, если:

- а) все коэффициенты одного знака;

- б) определитель $D^n \neq 0$, $D^{n-1} \neq 0$, $D^2 \neq 0$,

если вычеркнуть последнюю строку и столбец

ПРИМЕР:



$$W_A(s) = \frac{1}{10 \times s + 1}$$

$$W_{\Pi}(s) = k_p$$

Определяем, при каком k_p система на границе устойчивости.

$$W_A(s) = \frac{1}{10 \times s + 1}$$

$$W_{\Pi}(s) = k_p$$

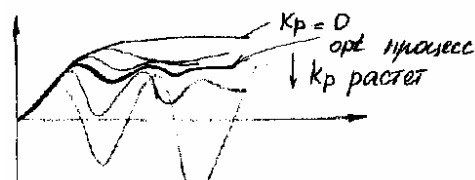
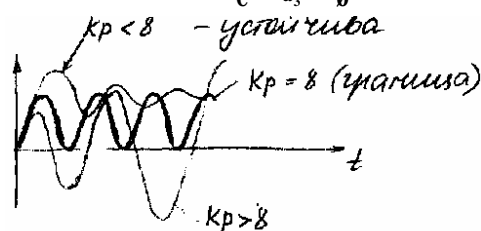
$$W_{\text{эв}}(s) = \frac{[W_A(s)]^3}{1 + W_{\Pi}(s) \times [W_A(s)]^3} = \frac{\frac{1}{(10s+1)^3}}{1 + k_p \times \frac{1}{(10s+1)^3}} = \frac{1}{1000s^3 + 300s^2 + 30s + 1 + k_p}$$

$$D^3 = \begin{vmatrix} a_1 & a_3 & 0 \\ a_0 & a_2 & 0 \\ 0 & a_1 & a_3 \end{vmatrix}$$

$$a_0, a_1, a_2, a_3 \neq 0$$

$$D = a_1 \neq 0, D^2 = \begin{vmatrix} a_1 & a_3 \\ a_0 & a_2 \end{vmatrix}; D^3 = a_3 \times D^2$$

$$D^2 = \begin{vmatrix} a_1 & a_3 \\ a_0 & a_2 \end{vmatrix} = a_1 \times a_2 - a_0 \times a_3$$



Если приравнять к нулю, то получим границу устойчивости ® k_p

$$D^2 = 300 \times 30 + 1000 \times (1 + k_p) = 0 \Rightarrow k_p = 8$$

При $k_p < 8 \Rightarrow D^2 > 0 \Rightarrow$ ЛДС неустойчива

При $k_p > 8 \Rightarrow$ ЛДС устойчива

7.2.3. Частный критерий устойчивости (критерий Найквиста).

Об устойчивости замкнутой ДС судят по расположению на комплексной плоскости КЧХ разомкнутой системы.

$$W_{\text{замк.сист.}}(j\omega) = \frac{W_{\text{раз.сист.}}(j\omega)}{1 + W_{\text{раз.сист.}}(j\omega)}$$

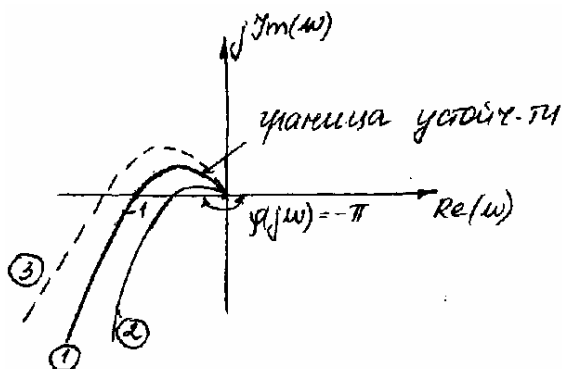
$$1 + W_{\text{раз.сист.}}(j\omega) = 0 \Rightarrow W_{\text{раз.сист.}}(j\omega) = -1$$

$$W_{\text{раз.сист.}}(j\omega) = A_{\text{раз.сист.}}(j\omega) \times e^{j\varphi(j\omega)}$$

ФЧХ раз.сист.
АЧХ раз.сист.

$$A_{\text{раз.сист.}}(j\omega) = 1$$

$$\varphi_{\text{раз.сист.}}(j\omega) = -\pi \Rightarrow \text{условие границы устойчивости.}$$



1. ДС на границе устойчивости

2. ДС устойчива

3. ДС неустойчива

Критерий Найквиста: замкнутая ДС считается устойчивой, если КЧХ разомкнутой системы не охватывает точку с координатами $(-1, j0)$

Если КЧХ разомкнутой системы проходит через точку $(-1, j0)$, замкнутая система проходит границу устойчивости и является неустойчивой, если КЧХ РС охватывает точку $(-1, j0)$.

ПРИМЕР: (см. п. 7.2.2)

$$W_A(j\omega) = \frac{k_A}{\sqrt{T_A^2 \omega^2 + 1}} \times e^{-j \arctg(T_A \omega)}; \quad W_{\Pi}(j\omega) = k_{\Pi}; \quad W_{p.c.}(j\omega) = \frac{k_A^3}{(\sqrt{T_A^2 \omega^2 + 1})^3} \times k_{\Pi} \times e^{-j \arctg(T_A \omega) \times 3}$$

Условие устойчивости по Найквисту:

$$\frac{k_A^3 \times k_{\Pi}}{(\sqrt{T_A^2 \omega^2 + 1})^3} = 1, \quad [1] \quad k_A = 1; \quad T_A = 10; \quad \omega = \frac{p}{3} \quad (\text{см. п. 7.2.2.})$$

$$-3 \times \arctg(T_A \omega) = -\pi, \quad [2] \quad k_{\Pi} = ?$$

Решение:

$$[2] \Rightarrow \omega p : \arctg(T_A \omega) = \frac{\pi}{3} \Rightarrow \omega p = \frac{\sqrt{3}}{T_A} \quad \text{® подставляем в [1]}$$

$$[1] \Rightarrow k_A^3 \times k_{\Pi} = 8 \Rightarrow k_{\Pi} = 8$$

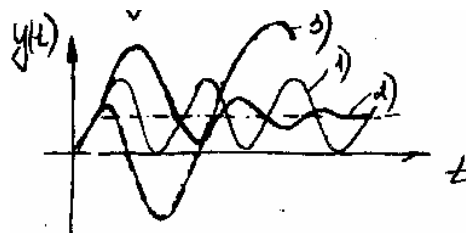
Величина T_A не влияет на $k_{\Pi, \text{границное}}$ (лаб. работа №3)

1. Граница устойчивости $k_{\Pi} = 8$

2. Устойчивая система $A_{\text{раз.сист.}}(\omega) > 1 \Rightarrow k_{\Pi} > 8$

3. Неустойчивая система $A_{\text{раз.сист.}}(\omega) < 1 \Rightarrow k_{\Pi} < 8$

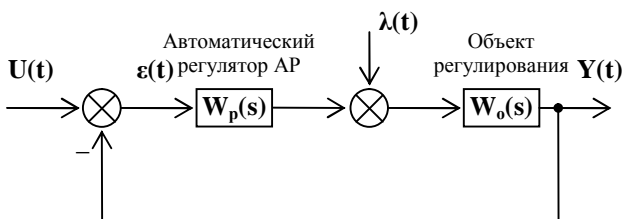
Алгебраический критерий используется для анализа систем, где нет транспортного запаздывания. Для реальных промышленных систем чаще используется критерий Найквиста.



8. Оптимальный синтез АСР.

8.1. Понятие об оптимальной АСР.

АСР – совокупность объекта и регулятора, взаимодействующих между собой.



$$\text{АР} \otimes W_p(s) \otimes W_p(j\omega)$$

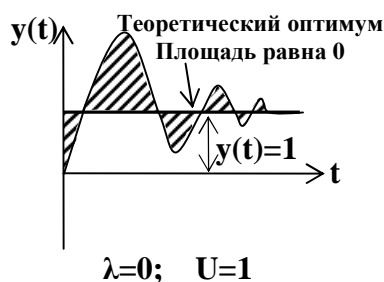
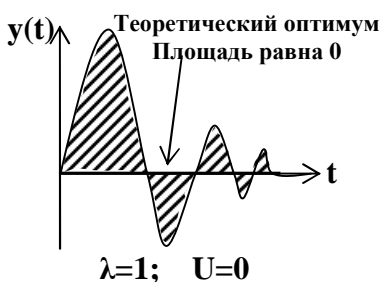
$$\text{Объект} \otimes W_o(s) \otimes W_o(j\omega)$$

$$W_{з.с.}(s) \Big|_{U=1}^{l=1} = \frac{W_o(s)}{1 + W_o(s) \times W_p(s)}$$

$$W_{з.с.}(s) \Big|_{U=1}^{l=0} = \frac{W_o(s) \times W_p(s)}{1 + W_o(s) \times W_p(s)}$$

$$W_{з.с.}(s) = W_o(s) \times W_p(s)$$

8.2. Критерий оптимальности в АСР.



В качестве критерия оптимальности используются интегральные оценки:

$$I_M \Big|_{U=0}^{l=1} = \int_0^{t_p} |y(t)| dt \otimes \min$$

$$I_M \Big|_{U=1}^{l=0} = \int_0^{t_p} |1 - y(t)| dt \otimes \min$$

I_M - интеграл по модулю от регулируемого параметра $y(t)$

t_p - время переходного возмущения (когда $|y(t)| \leq \frac{D}{2}$, где $\frac{D}{2}$ - заданная величина, отклонение)

Линейный интегральный критерий:

$$I_{\lambda} \Big|_{U=0}^{l=1} = \int_0^{t_p} y(t) dt$$

$$I_{\lambda} \Big|_{U=1}^{l=0} = \int_0^{t_p} (1 - y(t)) dt$$

Линейный интегральный критерий используется для слабо колебательных процессов и применяется в задачах оптимального синтеза АСР при ограничениях на заданный запас устойчивости.

Примечание:

Квадратичный критерий: $I_{\text{кв}} = \int_0^{t_p} y^2(t) dt \otimes \min$ (исключает недостатки I_{λ} , но искажает результат)

Наибольшее распространение в задачах оптимального синтеза АСР получил интеграл (при ограничении на заданный запас устойчивости).

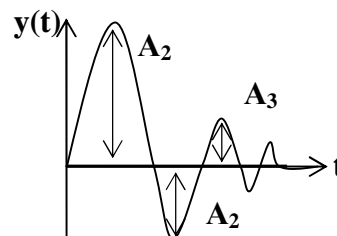
8.3. Ограничения на запас устойчивости.

Показатели запаса устойчивости.

$$\text{Степень затухания: } \gamma = \frac{A_1 - A_3}{A_1}$$

Для устойчивых систем: $\gamma = 0, 1$

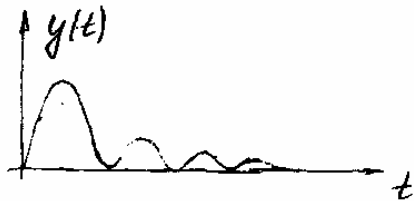
Критерий оптимизации: $I_{\lambda} \otimes \min$ при $\gamma = 0.9$



а) Прямые показатели (по виду переходного процесса).

1. **Степень затухания.** На практике рекомендуется $\gamma = 0.7, 0.9$

2. **Интегральная степень затухания:**
$$\gamma_{ин} = \frac{I_{л}}{I_{м}} = \frac{\int_0^{t_p} \dot{y}(t) dt}{\int_0^{t_p} |\dot{y}(t)| dt}$$



$$I_{л} = I_{м} \Rightarrow \gamma_{ин} = 1$$

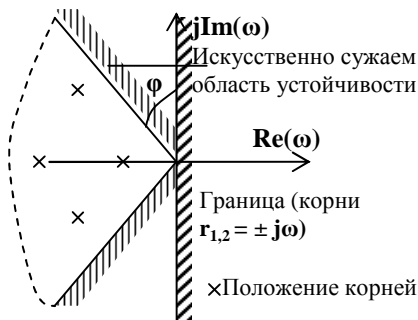
Для устойчивых возмущений: $\gamma_{ин} = 0, 1$

3. **Степень перерегулирования:** $a_{п} = \frac{A_2}{A_1}$ (в долях или процентах)

Рекомендуют $a_{п} = 20\%$

б) Косвенные показатели запаса устойчивости.

1. **корневой показатель m**



Область устойчивости с запасом характеризуется **tgγ**

$$m = |\text{tg} \gamma| = \left| \frac{a}{w} \right| - \text{степень колебательности}$$

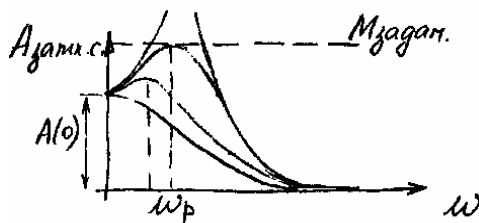
$$r_{1,2} = -a \pm jw = -m \times w \pm jw$$

$$y = 1 - e^{-2pm}; y \in [1, 0]; m \in [0, \infty)$$

Если $m = 0$, то никакого запаса устойчивости не будет.

При $\gamma = 0.75, 0.9$; $m = 0.221, 0.366$

2. **частный показатель - M**

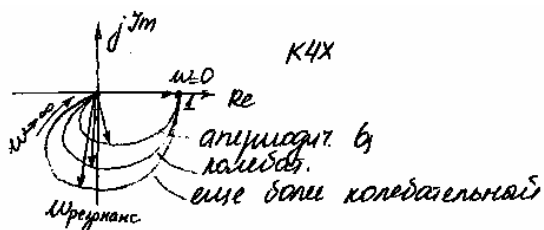


$$W_{з.с.}(jw) = \frac{W_{р.с.}(jw)}{1 + W_{р.с.}(jw)}$$

$$A_{з.с.}(w) = |W_{з.с.}(jw)|$$

$$M = \frac{A(w_p)}{A_0} \quad M \in [1, \infty)$$

$$A_0 = \lim_{w \rightarrow 0} A(w)$$



$$\gamma \in [0.75, 0.9]$$

$$m \in [0.221, 0.366]$$

$$M \in [1.5, \infty)$$

Задавшись **M**, мы можем так отрегулировать процесс, чтобы $A(w_p)$ касалась прямой линии **M**.

8.4. Математическое описание промышленных объектов регулирования.

1. Определяют кривые разгона.

Для большинства промышленных объектов регулирования различают:

а) Кривые разгона с самовывравниванием

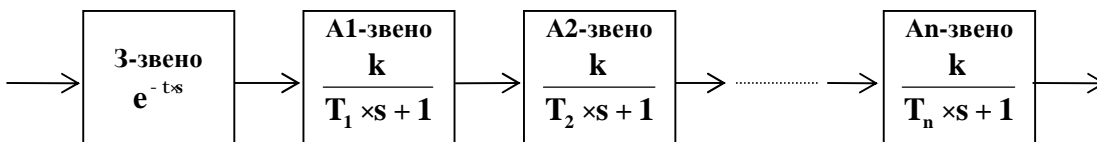
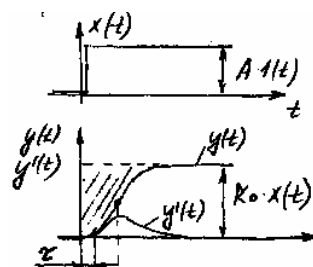
(объект с самовывравниванием)

S-образные кривые, так как имеют точку перегиба

Заштрихованная область характеризует инерционность объекта.

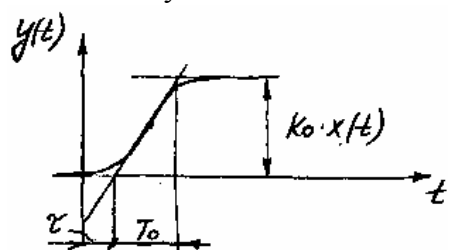
2. Определяют методом аппроксимации $W_o(s)$; $W_o(j\omega)|_{s \rightarrow j\omega}$

Такой объект аппроксимируют цепочкой из звеньев:



$$W_o(s) = \frac{k_o \times e^{-ts}}{(T_1 \times s + 1) \times (T_2 \times s + 1) \times K \times (T_n \times s + 1)}$$

Частный случай $n = 1$.

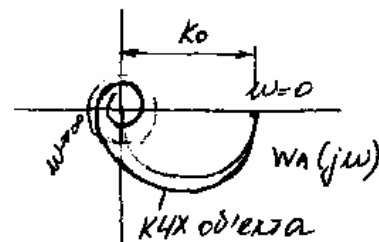
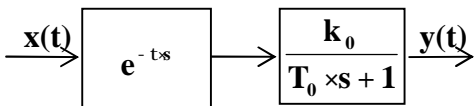


Проводится касательная в точке перегиба (точку перегиба можно определить визуально)

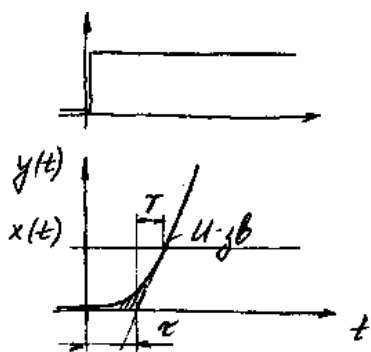
$$W_o(s) = \frac{k_o \times e^{-ts}}{T_o \times s + 1}$$

$$W_o(j\omega)|_{s \rightarrow j\omega} = \frac{k_o \times e^{-t \times j\omega}}{T_o \times j\omega + 1}$$

Первое приближение замены экспериментальной кривой разгона.



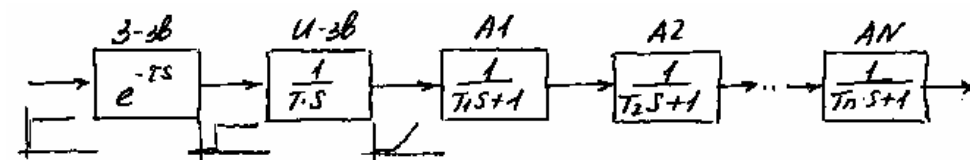
б) Кривые разгона без самовывравнивания.



Такая кривая разгона характерна для емкостей.

Апериодические звенья нужны, чтобы сгладить заштрихованный участок.

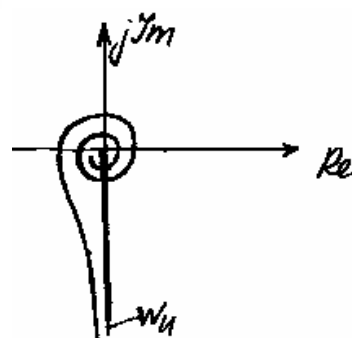
Заменяют:



$$\text{Передаточная функция: } W_o(s) = \frac{1 \times e^{-ts}}{T \times s \times (T_1 \times s + 1) \times K \times (T_n \times s + 1)}$$

При $n = 1$ $W_o(s) = \frac{1 \times e^{-ts}}{T \times s}$ (последовательное соединение интегрирующего и запаздывающего звеньев).

$$\text{КЧХ: } W_o(j\omega) = \frac{1 \times e^{-t \times j\omega}}{T \times j\omega}$$



8.5. Типовые алгоритмы функционирования линейных регуляторов.

(Законы регулирования).

Регулирующее возмущение - $m(t)$

$$\begin{array}{c} \varepsilon(t) = U - y(t) \\ \longrightarrow \boxed{\text{АР}} \longrightarrow \mu(t) \end{array} \quad \begin{array}{l} \text{Оптимальное регулирующее воздействие:} \\ m(t) = k_p \times e(t) + k_{\text{и}} \times \int_0^t e(t) dt + k_{\text{д1}} \times \frac{de(t)}{dt} + k_{\text{д2}} \times \frac{d^2e(t)}{dt^2} + K \end{array}$$

$k_p \times e(t)$ - пропорциональное (П) возмущение

$k_{\text{и}} \times \int_0^t e(t) dt$ - интегральное (И) возмущение

$k_{\text{д2}} \times \frac{d^2e(t)}{dt^2}$ - дифференциальное (Д) возмущение

Как правило, ограничиваются тремя первыми слагаемыми.

Различают:

- П-закон, И-закон (наиболее распространены)
- ПИ-закон (широкое распространение)
- ПИД-закон

Если ограничиться П-законом, то будет П-регулятор.

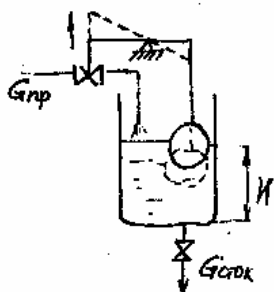
8.5.1. П-регулятор (П-закон, П-алгоритм).

$$\begin{array}{c} \varepsilon(t) \\ \longrightarrow \boxed{\text{ТР}} \longrightarrow \mu(t) \end{array} \quad \begin{array}{l} \text{ТР} - \text{типовой линейный регулятор.} \\ e(t) = U(t) - y(t) - \text{отклонение регулируемой величины от заданного значения.} \end{array}$$

$m(t)$ - регулирующее возмущение.

Для П-регулятора $m(t) = k_p \times e(t)$ - временные частотные характеристики совпадают с П-звеном.

ПРИМЕР 1:

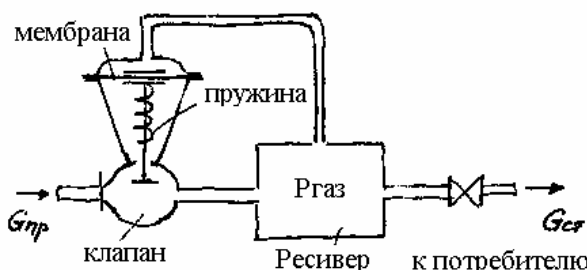


Пример П-регулятора – поплавковый регулятор уровня.

При уменьшении уровня H^- , задвижка смещается вверх, $G_{\text{пр}}^-$.

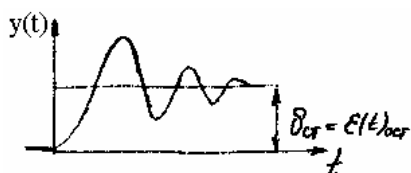
И наоборот $H^+ \rightarrow G_{\text{пр}}^+$

ПРИМЕР 2:



$$G_{\text{ср}}^-; P_{\text{г}}^- \rightarrow G_{\text{пр}}^-$$

$$G_{\text{ср}}^+; P_{\text{г}}^+ \rightarrow G_{\text{пр}}^+$$



Особенность П-регулятора: регулируемая величина не возвращается к исходному значению.

$\delta_{\text{ср}}$ - остаточная неравномерность (статическая ошибка).

$$m(t) = k_p \times e(t)$$

Если $e(t) \approx 0$, то и $m(t) \approx 0$ и никакого регулирования не будет.

Остаточная неравномерность у П-регуляторов – их недостаток.

Плюсы – быстродействие и простота П-регулятора.

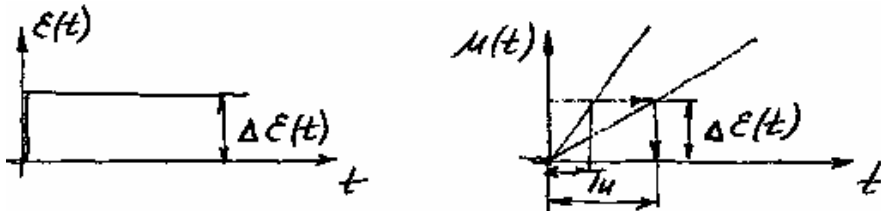
При $k_p - \infty$, но ухудшается устойчивость.

8.5.2. И-регулятор (И-закон – интегральный).

$$m(t) = \frac{1}{T_{\text{и}}} \times \int_0^t e(t) dt$$

$T_{\text{и}}$ - постоянная интегрирования (настроечный параметр И-регулятора)

По характеристикам совпадает с И-звеном.

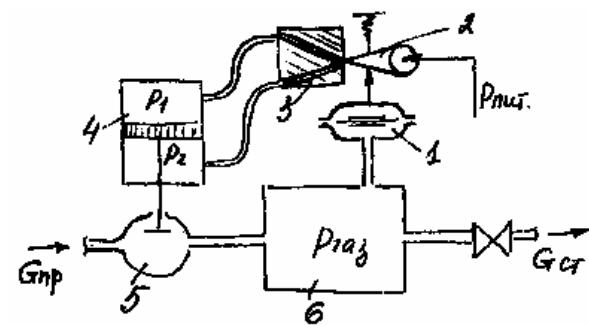


Чем больше $De(t)$, тем круче пойдет график $m(t)$, а $T_{\text{и}}$ - const.

Чем меньше $T_{\text{и}}$, тем больше регулирующее значение.

Если $T_{\text{и}} \rightarrow \infty$, то $m(t) \rightarrow 0$.

ПРИМЕР:



1 - манометр мембранный

2 - струйная трубка

3 - золотниковый усилитель

4 - поршневой исполнительный механизм

5 - клапан

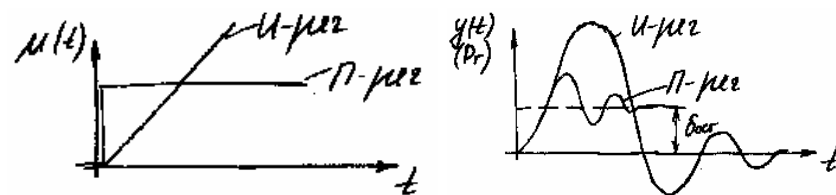
6 - ресивер

Давление $P_{\text{газ}}$ в ресивере (6) поднимается \rightarrow

Мембрана (1) прогибается вверх, перемещая струйную трубку (2) вверх, преодолевая

сопротивление пружины $\rightarrow P_1 > P_2$. Под действием $DP = P_1 - P_2$ поршневой исполнительный механизм (4) движется вниз $\rightarrow G_{\text{гр}} -$. Клапан будет перекрывать $G_{\text{гр}}$ до тех пор, пока мембрана не вернется в прежнее положение.

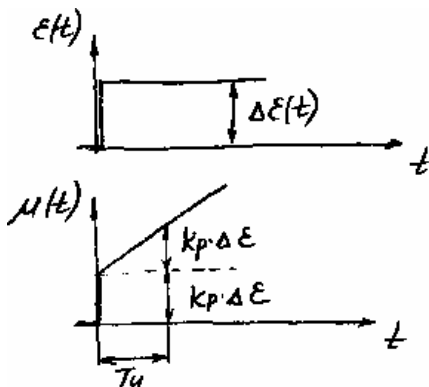
Минусы: действует довольно медленно.



- сравнение примера 2 (П-рег.) и примера (И-рег.)

Чтобы динамическая ошибка (отклонение) была меньше, берут П-регулятор, но если $d_{\text{ост}}$ недопустимо, то переходят к И-регулятору.

8.5.3. ПИ-регулятор.



$$m(t) = k_{\text{п}} \times e(t) + \frac{k_{\text{п}}}{T_{\text{и}}} \int_0^t e(t) dt$$

$k_{\text{п}}$ - пропорциональная составляющая

$T_{\text{и}}$ - интегральная составляющая

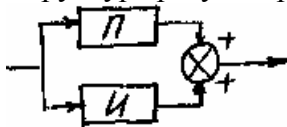
$k_{\text{п}}$ - коэффициент усиления

$\frac{k_{\text{п}}}{T_{\text{и}}} = k_{\text{и}}$ - коэффициент при И-составляющей

$$m(t) = k_p \times De + \frac{k_p}{T_n} \times De \times t \quad (\text{при } e(t) = De = \text{const})$$

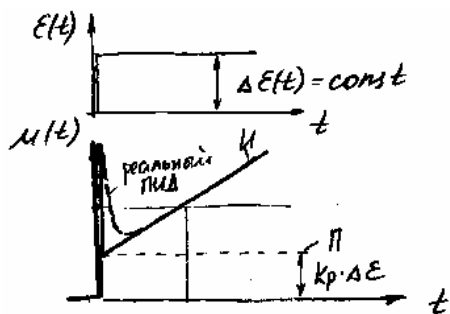
ПИ-регулятор – параллельное соединение П- и И-звеньев.

Структура регулятора:



8.5.4. ПИД-регулятор.

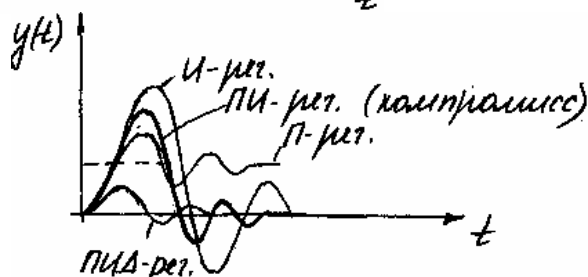
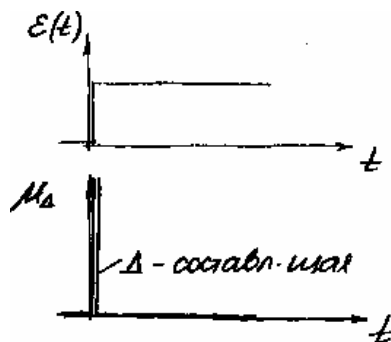
(Пропорционально-интегрально-дифференциальный регулятор)



$$m(t) = k_{\text{пид}} \times e(t) + \frac{k_p}{T_n} \int e(t) dt + k_p \times T_d \times \frac{de(t)}{dt}$$

$m(t)$ - кривая разгона (не переходная характеристика)

Д-составляющая повышает чувствительность регулятора.



ПИД-регулятор настолько чувствителен, что из-за малейшего изменения объекта, он может вывести процесс из состояния равновесия и система пойдет в раскачку.

У того регулятора, частота которого больше, устойчивость меньше.

8.6. Основные сведения о нелинейных позиционных регуляторах.

8.6.1. Двухпозиционный релейный элемент.



Статистическая характеристика нелинейного релейного двухпозиционного регулятора.

$$m(t) = \begin{cases} +A, & e \geq 0 \\ -A, & e < 0 \end{cases}$$



На практике:

Реальный двухпозиционный релейный элемент обладает свойством гистерезиса.

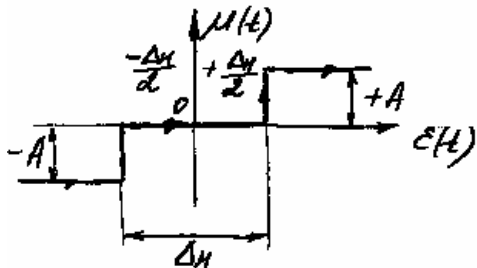
D_v - зона возврата (гистерезиса)

8.6.2. Трехпозиционный релейный элемент.

Удобно использовать, если у устройства есть 3 состояния, например:

- 1 - выключен
- 2 - движение по часовой стрелке
- 3 - движение против часовой стрелки

Идеальная статистическая характеристика.

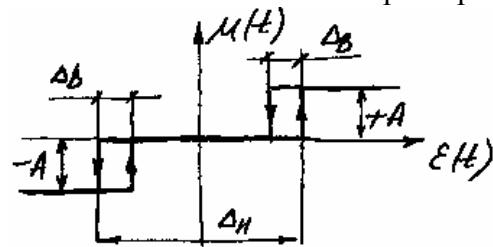


D_n - зона нечувствительности (регулируемая)

Движение по характеристике может быть и вправо, и влево.

$$m(t) = \begin{cases} +A, & \text{если } \varepsilon(t) > \frac{D_n}{2} \\ 0, & -\frac{D_n}{2} \leq \varepsilon(t) \leq \frac{D_n}{2} \\ -A, & \text{если } \varepsilon(t) < -\frac{D_n}{2} \end{cases}$$

Реальная статистическая характеристика:



D_v - зона возврата.

8.7. Одноконтурные АСР с ПИ-регулятором.

8.7.1. Расчет границы устойчивости АСР с ПИ-регулятором.

В основе расчета границ устойчивости лежит частотный критерий Найквиста:

$W_{pc}(j\omega)$ проходит через точку с координатами $(-1, j0)$.

$$W_{pc}(j\omega) = W_o(j\omega) \times W_p(j\omega)$$

Две формы записи:

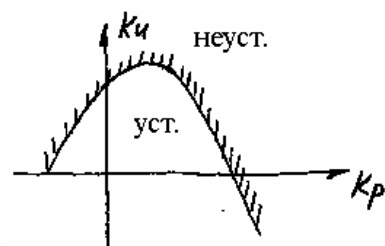
$$1. \quad W_{pc}(j\omega) = \operatorname{Re}_{pc}(j\omega) + j\operatorname{Im}_{pc}(j\omega)$$

$$2. \quad W_{pc}(j\omega) = A_{pc}(j\omega) \times e^{j\varphi_{pc}(j\omega)}$$

Граница устойчивости:

$$1. \quad \begin{cases} \operatorname{Re}_{pc}(w) = -1 \\ \operatorname{Im}_{pc}(w) = 0 \end{cases} \quad \text{Р можно найти } k_p \text{ и } k_n \text{ (настроечные параметры)}$$

$$2. \quad \begin{cases} A_{pc}(w) = 1 \\ \varphi_{pc}(w) = -\pi \end{cases} \quad \text{Р можно найти } k_p \text{ и } k_n \text{ (настроечные параметры)}$$



$w = 0$, $w_{среза}$

$$k_n = \frac{k_p}{T_n}$$

Рассмотрим вариант 1:

$$W_o(jw) = \text{Re}_o(w) + j\text{Im}_o(w)$$

$$W_{\text{per}}^{\text{III}}(jw) = \underbrace{k_p}_{\text{Re}_p(w)} - j \underbrace{\frac{k_n}{w}}_{\text{Im}_p(w)}$$

$$W_{\text{pc}}(jw) = W_o(jw) \times W_p^{\text{III}}(jw)$$

$$\text{Re}_{\text{pc}}(w) = k_p \times \text{Re}_o(w) + \frac{k_n}{w} \times \text{Im}_o(w) = -1$$

$$\text{Im}_{\text{pc}}(w) = k_p \times \text{Im}_o(w) - \frac{k_n}{w} \times \text{Re}_o(w) = 0$$

Программа 2 методические указания:

$$k_p = - \frac{\text{Re}_o(w)}{\text{Re}_o^2(w) + \text{Im}_o^2(w)}$$

$$k_n = \frac{k_p}{T_n} = -w \times \frac{\text{Im}_o(w)}{\text{Re}_o^2(w) + \text{Im}_o^2(w)}$$

Задавая частотой $w = 0$, $w_{\text{среза}}$



Для реального регулятора настроечные параметры положительны.

Если взять любую точку внутри выделенной области, то при таких параметрах система будет устойчива.

8.7.2. Расчет границы заданного запаса устойчивости ($m=m_{\text{зад}}$).

Мера запаса устойчивости $m = m_{\text{зад}}$ - корневой показатель.

Степень колебательности $y = 1 - e^{-2\pi m}$

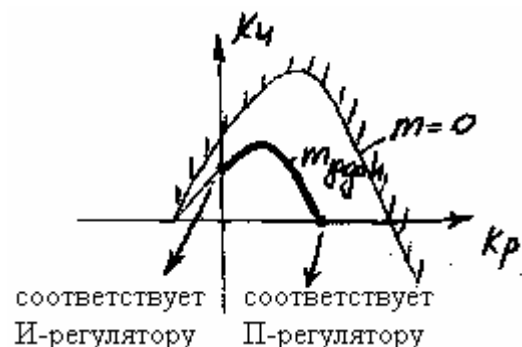
Вместо jw записываем $1 + m \times w + jw$ ($-m \times w = -a$)
определяет запас устойчивости

На границе устойчивости $m = 0$.

Если $m = 0.366$ и $y = 0.9$

$$k_p = - \frac{\text{Re}_o(m, w) + m \times \text{Im}_o(m, w)}{\text{Re}_o^2(m, w) + \text{Im}_o^2(m, w)} \quad [1]$$

$$k_n = \frac{k_p}{T_n} = -w \times (1 + m^2) \times \frac{\text{Im}_o(m, w)}{\text{Re}_o^2(m, w) + \text{Im}_o^2(m, w)}$$



Чтобы на выделенной кривой выбрать оптимальную точку, необходимо применить интегральный критерий.

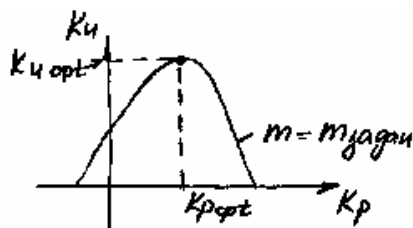
Другая форма записи системы [1]:

$$A(w) = \sqrt{\text{Re}^2(w) + \text{Im}^2(w)}; \quad \text{Cosj}(w) = \frac{\text{Re}(w)}{A(w)} \quad \text{и}$$

$$k_p = - \frac{\text{Cosj}(w)}{A(w)}$$

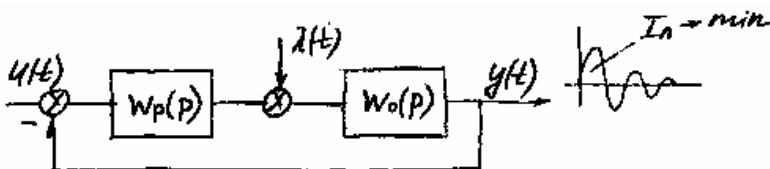
$$k_n = w \times \frac{\text{Sinj}(w)}{A(w)}$$

8.7.3. Выбор оптимальных настроечных параметров (k_p, k_u) на линии заданного запаса устойчивости ($m_{\text{задан.}}$).



Для точки с координатами $(k_{p,\text{opt}}, k_{u,\text{opt}})$ линейный интегральный критерий $I_{\text{л}} \rightarrow \min$

$$I_{\text{л}} = \int_0^{\infty} \dot{y}(t) dt \rightarrow \min$$



Передаточная функция, относительно $l(t)$:

$$W_{\text{з.с.}}(p) = \frac{W_o(p)}{1 + W_o(p) \times W_p(p)} = \frac{y(p)}{l(p)}$$

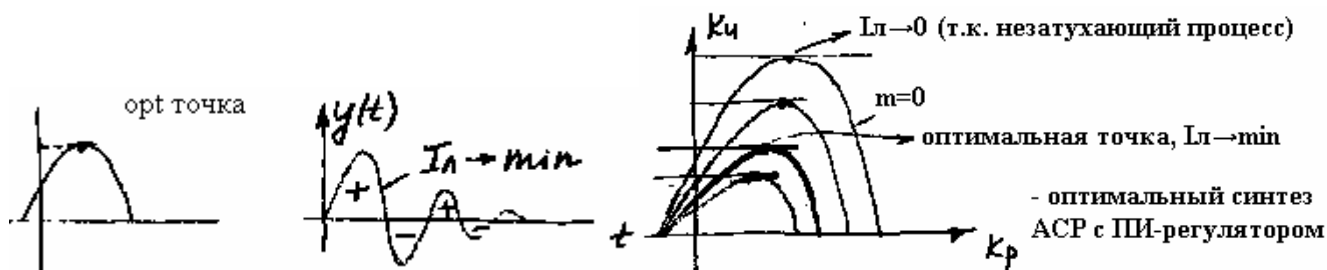
$$y(p) = W_{\text{з.с.}}(p) \times l(p)$$

$$l(p) = \int_0^{\infty} l(t) \times e^{-st} dt = \frac{1}{p} \quad [s = p]$$

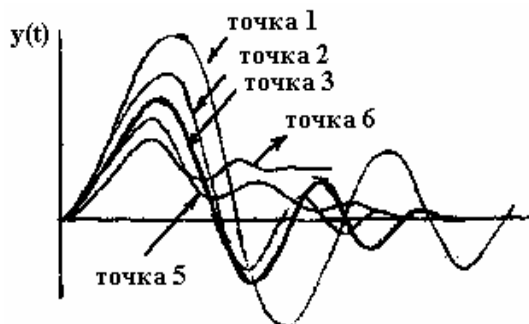
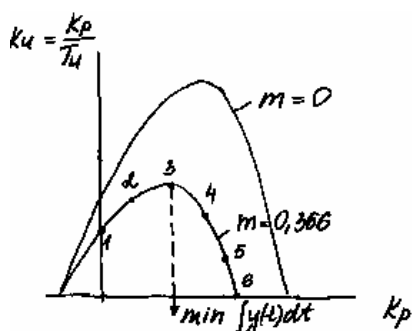
$$y(p) = \frac{W_o(p)}{1 + W_o(p) \times \left[\frac{k_p}{p} + \frac{k_u}{p^2} \right]} \times \frac{1}{p} \quad [*]$$

$$y(p) = \int_0^{\infty} y(t) \times e^{-st} dt \Big|_{s \rightarrow 0} = \int_0^{\infty} y(t) \times dt \quad \text{в } p$$

$$y(s) \Big|_{s \rightarrow 0} = I_{\text{л}} = \left| \begin{array}{l} \text{поделим } [*] \text{ на } W_o(s), \\ \text{перемножим с } s \end{array} \right| = \frac{1}{k_u}$$



8.7.4. Сравнительный анализ переходных процессов в АСР с ПИ-регулятором.



ПИ-регулятор
(граница заданного запаса устойчивости $m = 0.366$)

$$l(t) = 1.0$$

точки 2,3,4,5 настройки ПИ-регулятора;

точка 1 соответствует И-регулятору (частный случай)

точка 3 – опт $I_{\text{л}} \rightarrow \min$

точка 6 – П-регулятор.

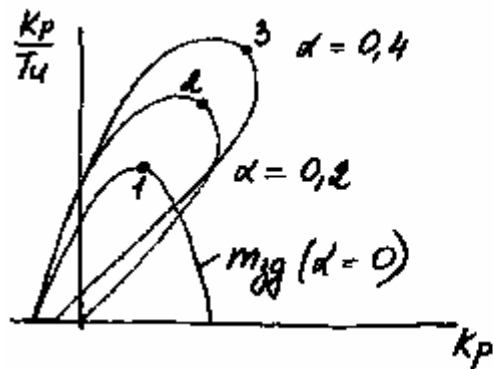
8.8. Особенности настройки ПИД-регулятора.

$$W_{\text{ПИД}}(s) = \underbrace{k_p}_{\Pi} + \underbrace{\frac{k_p}{T_n}}_{\Pi} \times \frac{1}{s} + \underbrace{k_p \times T_d}_{\text{Д}} \times s$$

ПИ – частный случай ПИД при $T_d = 0$

$$a = \frac{T_d}{T_n}, (a = 0; 0.2; 0.4; K)$$

$T_d = a \times T_n$ ® подставляем в [*]

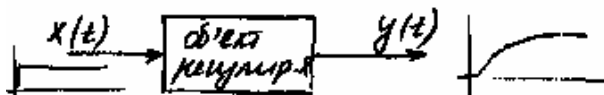


a	0	0.2	0.4
k _p	K	K	K
T _n	K	K	K
T _d	0	K	K

Из них выбирают требуемые по заданному качеству.

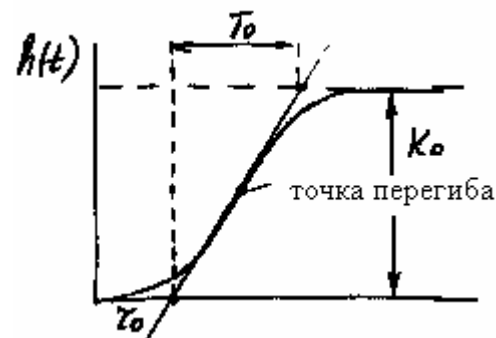
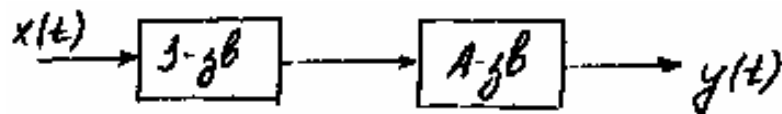
8.9. Приближенные методы расчета настроек ПИ и ПИД регуляторов.

Метод ВТИ (всероссийский теплотехнический институт) по экспериментальным кривым.



Снимается несколько кривых.

1. экспериментально определяется кривая разгона (ансамбль кривых разгона)
2. обработка с целью получения переходных характеристик $h(t)$
3. кривая разгона аппроксимируется:



$$W_o(s) = \frac{k_o}{T_o \times s + 1} \times e^{-t_o \times s}$$

$$\frac{t_o}{T_o} = K$$

4. Для такого типа объектов (как в РЗ) по формулам из таблицы определяется k_p, T_n, T_d

Исходные данные: $k_o, T_o, t_o, \frac{t_o}{T}$

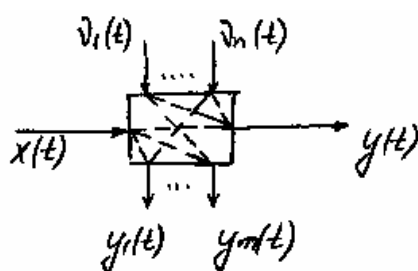
Параметр	$0 \leq \frac{t_0}{T_0} \leq 0.2$			$0.2 \leq \frac{t_0}{T_0} \leq 1.5$		
	П	ПИ	ПИД	П	ПИ	ПИД
k_p	$\frac{0.8 \times T_0}{k_0 \times t_0}$	$\frac{0.6 \times T_0}{k_0 \times t_0}$	$\frac{1.0 \times T_0}{k_0 \times t_0}$	$\frac{0.38 \times (t_0 + 0.6 \times T_0)}{k_0 \times (t_0 - 0.08 \times T_0)}$	$\frac{0.38 \times (t_0 + 0.6 \times T_0)}{k_0 \times (t_0 - 0.68 \times T_0)}$	$\frac{0.22 \times (t_0 + 1.5 \times T_0)}{k_0 \times (t_0 - 0.13 \times T_0)}$
T_n	-	$3.3 \times t_0$	$2.5 \times t_0$	-	$0.8 \times T_0$	$0.45 \times T_0$
T_d	-	-	$0.2 \times T_n$	-	-	$0.2 \times T_n$

$a = (0.2, 0.3)$ - на практике.

5. Построить переходный процесс.

9. Системы управления с дополнительными информационными сигналами.

9.1. Характеристика объекта управления.



$u_1(t), K, u_n(t), y_1(t), K, y_m(t)$ - дополнительные информационные сигналы

\neg структура объекта

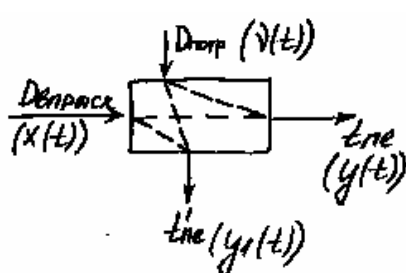
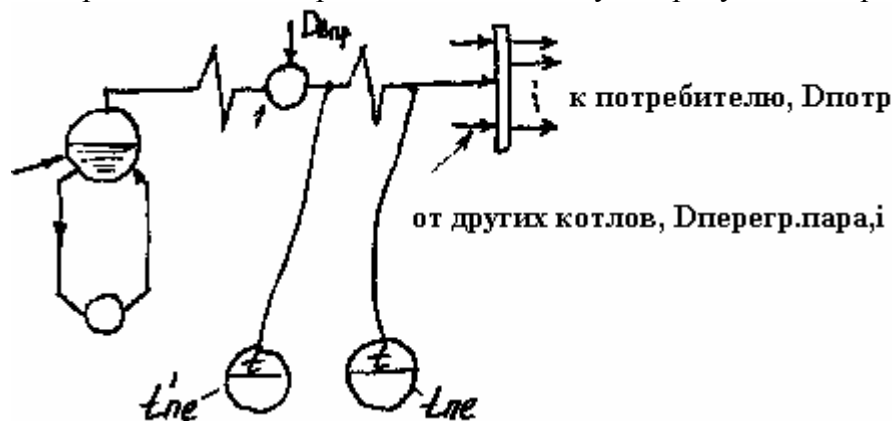
$u_1(t), K, u_n(t)$ - внешние возмущения, доступные для измерения (на входе).

$y_1(t), K, y_m(t)$ - промежуточные (вспомогательные) параметры на выходе объекта.

$y(t)$ - основной регулируемый параметр

$x(t)$ - основное управляющее воздействие

ПРИМЕР: паровой барабанный котел, работающий на общую паровую магистраль.



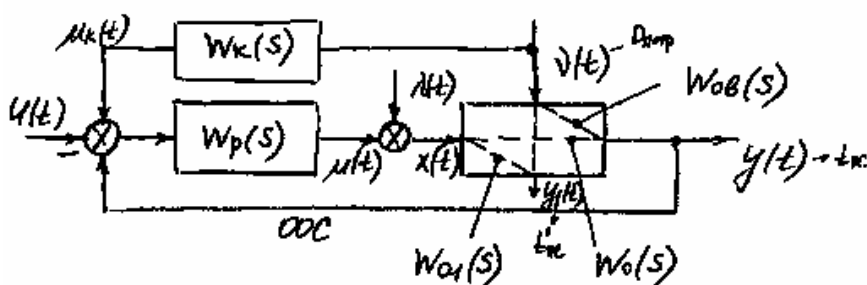
1 - впрыскивающий пароохладитель

t_{ne} - температура перегретого пара

t'_{ne} - промежуточное измерение температуры перегретого пара

--- Значит, что, например, $D_{потр}$ влияет и на t_{ne} , и на t'_{ne} .

9.2. АСР с компенсацией внешних возмущений.



$W_k(s)$ - передаточная функция устройства компенсации.

Если потребитель изменит потребление пара, то $t_{не}$ изменится. Без компенсатора, регулятор бы, в конце концов, вернул бы $t_{не}$ в норму, но через какое-то время. При наличии

компенсатора, как только изменится $\mathbf{D}_{\text{нотр.}}(\mathbf{n}(\mathbf{t}))$, компенсатор выдает задание регулятору

$$\mathbb{P} \text{ } t_{\text{re}} = \text{const} .$$

Порядок настройки:

1. Настроить $\mathbf{W}_p(\mathbf{s})$ обычным путем.
2. Из условия инвариантности выбираем структуру и параметры $\mathbf{W}_k(\mathbf{s})$.

Условие инвариантности: $y_1(t) = n(t) \times W_{0B}(s)$

С другой стороны: $\mathbf{y}_2(\mathbf{t}) = \mathbf{n}(\mathbf{t}) \times \mathbf{W}_\kappa(\mathbf{s}) \times \mathbf{W}_p(\mathbf{s}) \times \mathbf{W}_0(\mathbf{s})$

$$\mathbf{y}_1(\mathbf{t}) = \mathbf{y}_2(\mathbf{t}) = \mathbf{y}(\mathbf{t})$$

$$W_k(s) = \frac{W_{OB}(s)}{W_n(s) \times W_o(s)}$$

Если точно реализовать $\mathbf{W}_k(\mathbf{s})$, то отклонение \mathbf{t}_{ne} на выходе не будет даже при наличии возмущений.

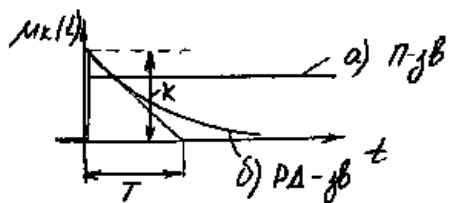
На практике:

$$\text{a) } \mathbf{W}_k(\mathbf{s}) = \mathbf{k}_n \text{ (т.е. П-ЗВЕНО) } \Rightarrow \mathbf{k}_n = \mathbf{W}_k(\mathbf{s})|_{s \rightarrow 0} = \frac{\mathbf{k}_{0B}}{\mathbf{k}_p \times \mathbf{k}_0}, \text{ где}$$

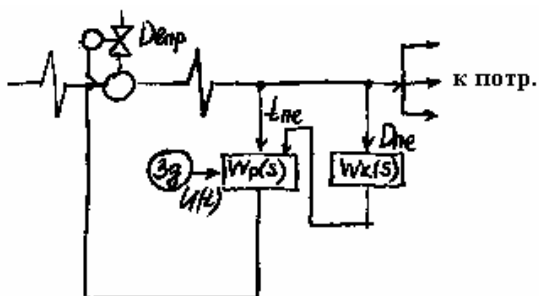
k_p - коэффициент передачи регулятора

 $\mathbf{k}_0, \mathbf{k}_{ov}$ - коэффициенты передачи объекта по каналам

$$\text{б) } W_k(s) = \frac{k \times T \times s}{T \times s + 1}, \text{ где } k, T - \text{параметры РД-звена.}$$



ПРИМЕР:



Z_d – задание регулятору.

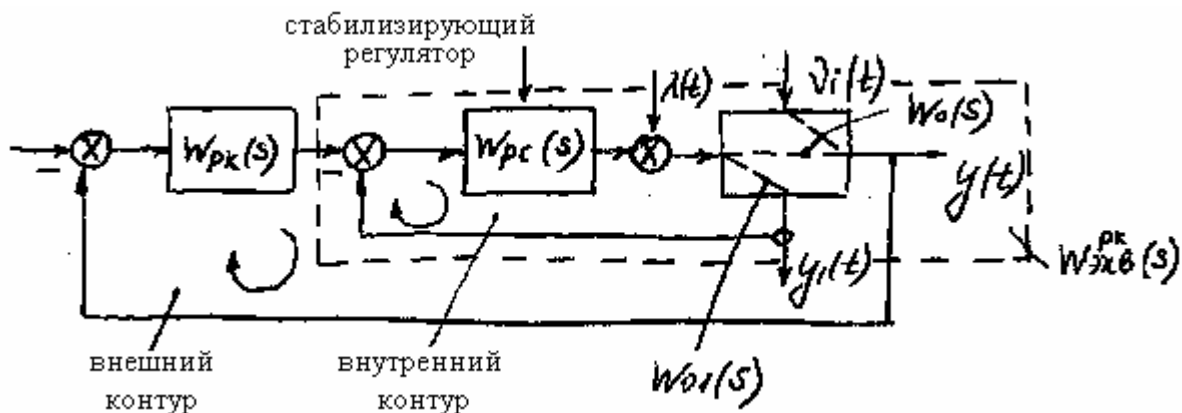
Рассмотренные АСР с компенсацией относятся к числу одноконтурных.

9.3. Многоконтурные АСР

(с использованием промежуточных параметров $y_1(t) \div y_m(t)$).

В промышленности, как правило, применяются двухконтурные АСР.

9.3.1. Каскадная двухконтурная АСР.



Порядок расчета:

1. Отключить $W_{рк}(s)$ (корректирующий регулятор).
2. Обычным способом определяются настройки $W_{рс}(s)$ по $W_{о1}(s)$.
3. По эквивалентному объекту $W_{рк}^{экр}(s)$ определяются настройки $W_{рк}(s)$:

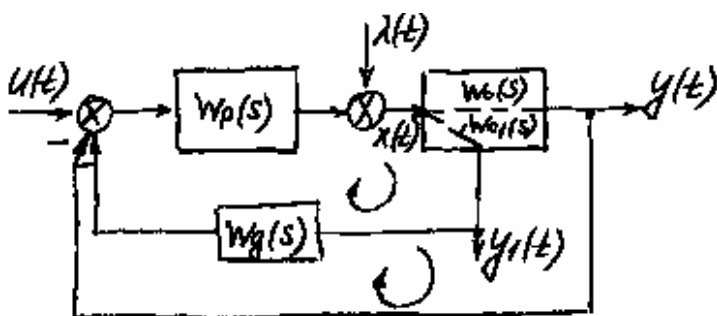
$$W_{рк}^{экр}(s) = \frac{W_{рс}(s) \times W_o(s)}{1 + W_{рс}(s) \times W_o(s)}$$

4. Уточнение настроек $W_{рс}(s)$ и $W_{рк}(s)$:

$$W_{рк}^{экр}(s) = W_{о1}(s) + W_o(s) \times W_{рк}(s) \text{ и } W_{рс}(s) \text{ по настройкам и т.д.}$$

ПРИМЕР: см. раздел о схемах регулирования.

9.3.2. АСР с дифференциатором.

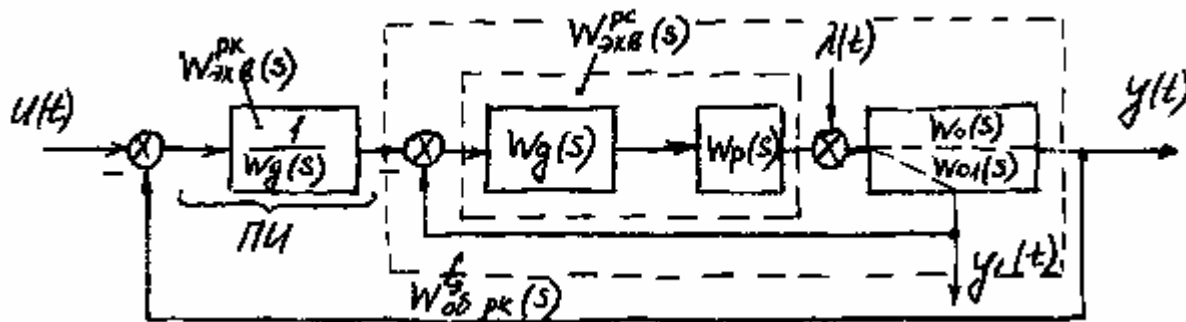


$$W_d(s) = \frac{k_d \times T_d \times s}{T_d \times s + 1} \text{ - РД-звено}$$

$$W_p(s) = k_p + \frac{k_i}{T_i \times s} \text{ - ПИ-регулятор}$$

$$\frac{1}{W_d(s)} = \frac{1}{k_d} + \frac{1}{k_d \times T_d \times s}$$

Если обозначить $\frac{1}{k_d} = k_{p1}$, а $T_d = T_{n1}$, то получим ПИ-регулятор.

Эквивалентная структура АСР с дифференциатором.

Эквивалентная структура соответствует каскадной двухконтурной.

Если найти k_{p1} , то легко найти и k_d .

$$W_{ПК}^{ЭКВ}(s) = \frac{1}{W_d(s)}$$

$$W_{ПК}^{ЭКВ}(s) = W_d(s) \times W_p(s)$$

Порядок настройки:

1. Настройка $W_{ПК}^{ЭКВ}(s)$ ®

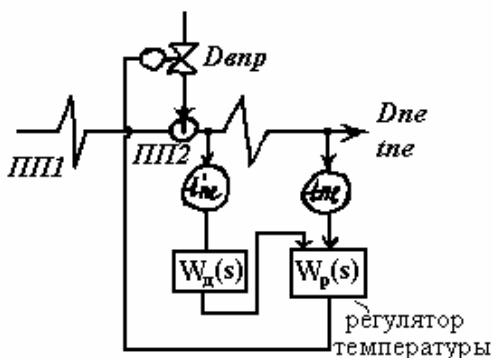
$$W_{об}^{ЭКВ}(s)_{ПК} = \frac{W_{ПК}^{ЭКВ}(s) \times W_o(s)}{1 + W_{ПК}^{ЭКВ}(s) \times W_{o1}(s)} - \text{эквивалентный объект для } W_{ПК}^{ЭКВ}(s)$$

Считаем, что $k_{pc}^{ЭКВ} \approx 1$. Тогда $W_{об}^{ЭКВ}(s)_{ПК} \approx \frac{W_o(s)}{W_{o1}(s)}$, $W_o(s)$ и $W_{o1}(s)$ известны; $k_d = \frac{1}{k_p}$; $T_d = T_n$.

2. Настройка $W_p(s)$ по $W_{об}^{ЭКВ}(s) = |\text{см. рисунок выше}| = W_{o1}(s) \times W_d(s) + W_o(s)$

Для уточнения настроек может быть применена итерационная процедура.

ПРИМЕР:



АСР температуры перегретого пара (с дифференциатором).

Если не будет $t_{не}^c$ и $W_d(s)$, то получится простая одноконтурная схема.

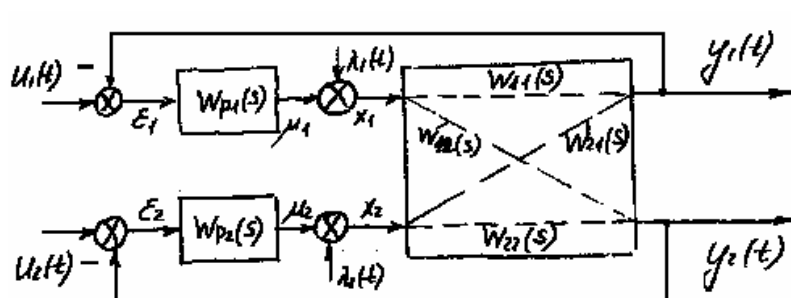
ПП – пароперегреватель.

Требования к уровню температуры перегретого пара жесткие: отклонения $+5^\circ\text{C}$; -10°C , не более.

9.4. Многомерные АСР.

Многомерные системы рассмотрим на примере двухмерной АСР.

- Различают:
1. многомерные системы несвязанного регулирования
 2. автономные многомерные АСР

9.4.1. Двухмерная АСР несвязанного регулирования.

Настройка $W_{П1}(s)$ и $W_{П2}(s)$:

1. Если можно пренебречь связями $W_{12}(s)$ и $W_{21}(s)$, то $W_{П1}(s)$ настраивается по $W_{11}(s)$, а $W_{П2}(s)$ настраивается по $W_{22}(s)$.
2. Пренебречь связями невозможно.

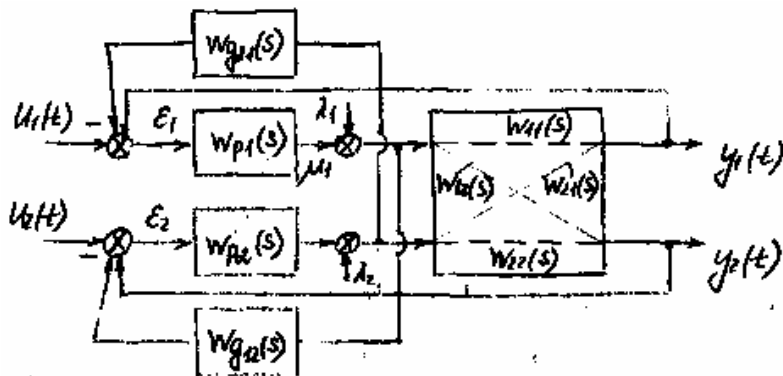
Тогда настройка по $W_{06}^{э\kappa\text{в}}(s)$ с учетом связей, с использованием итерационных процедур.

а) $W_{p1}(s) \text{ ® по } W_{11}(s)$

б) $W_{p2}(s) \text{ ® по } W_{э\kappa\text{в},2}(s) = W_{22}(s) \text{ } \begin{cases} \text{т.к. ООС} \end{cases} \frac{W_{21}(s) \times W_{p1}(s) \times W_{12}(s)}{1 + W_{p1}(s) \times W_{11}(s)}$

в) Уточнение: $W_{p1}(s) \text{ ® по } W_{э\kappa\text{в},1}(s) = W_{11}(s) \text{ } \begin{cases} \text{т.к. ООС} \end{cases} \frac{W_{12}(s) \times W_{p2}(s) \times W_{21}(s)}{1 + W_{p2}(s) \times W_{22}(s)}$

9.4.2. Автономная двухмерная АСР.



Автономная многомерная АСР подразумевает в составе устройство компенсации.

$W_{д,12}(s)$ и $W_{д,21}(s)$ - устройства динамической связи (устройства компенсации).

Структура $W_{д,12}(s)$ и $W_{д,21}(s)$ определяется из условия инвариантности (см. п. 9.2.)

Условие инвариантности:

1. $l_1(t)$:

$$W_{12}(s) - W_{д,12}(s) \times W_{p2}(s) \times W_{22}(s) = 0 \text{ } \text{ } W_{д,12}(s) = \frac{W_{12}(s)}{W_{p2}(s) \times W_{22}(s)}$$

2. $l_2(t)$:

$$W_{21}(s) - W_{д,21}(s) \times W_{p1}(s) \times W_{11}(s) = 0 \text{ } \text{ } W_{д,21}(s) = \frac{W_{21}(s)}{W_{p1}(s) \times W_{11}(s)}$$

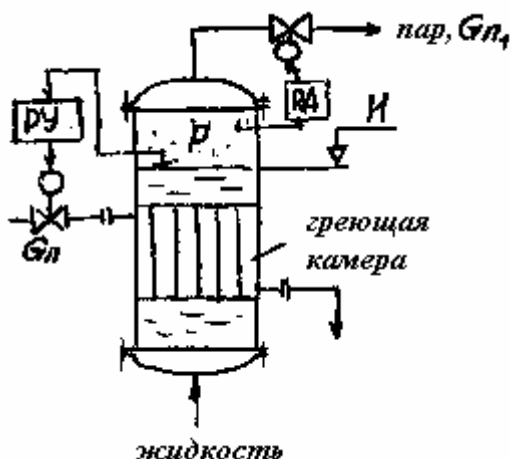
Если точно соблюдать условия инвариантности, то система получится полностью автономной.

Структура может быть (см. п. 9.2.):

а) П-звено

б) РД-звено

ПРИМЕР: испаритель.

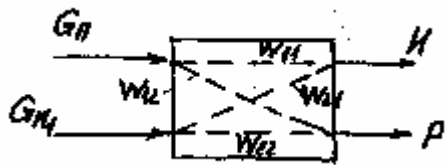


Требуется регулировать **Р** и **Н**.

РУ – регулятор уровня.

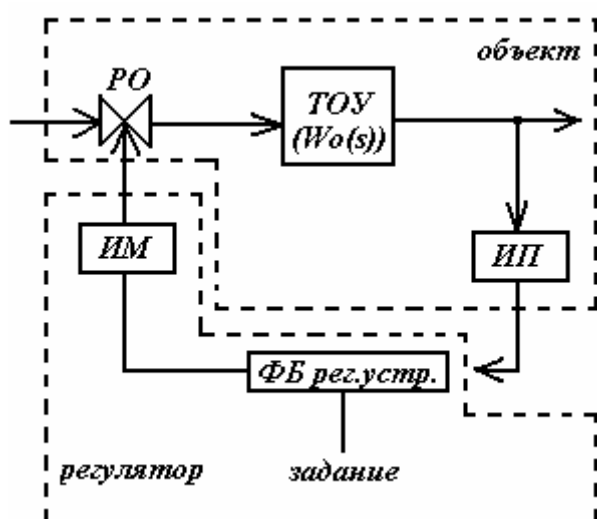
РД – регулятор давления.

→ Двухмерная АСР несвязанного регулирования.



10. Технические средства автоматизации.

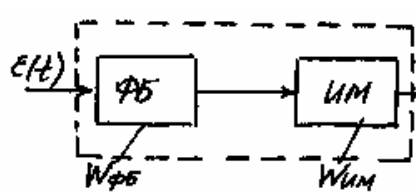
10.1. Техническая структура одноконтурной АСР.



РО – регулирующий орган
 ИМ – исполнительный механизм
 ИП – измерительный преобразователь
 ФБ рег.устр. – функциональный блок регулирующего устройства
 ФБ – устройство, реализующее алгоритм регулирования
 РО - ТОУ - ИП ® $W_o(s)$ - объект
 ФБ - ИМ ® $W_p(s)$ - регулятор

10.2. Формирование алгоритма и структуры регулятора.

При формировании структуры и алгоритма регулятора следует учитывать тип исполнительного механизма.



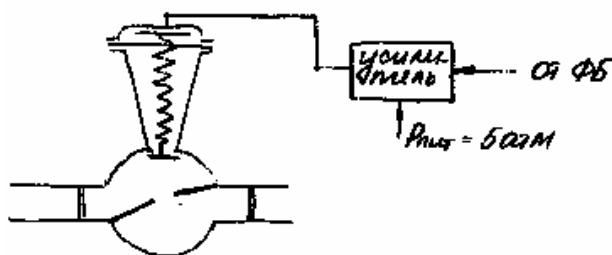
$$W_p(s) = \frac{y^u}{u} = \frac{k_p}{1} + \frac{k_n}{4s} + \frac{k_d}{4s^2}$$

$$W_p(s) = W_{ФБ}(s) \times W_{ИМ}(s) \text{ и } W_{ФБ}(s) = \frac{W_p(s)}{W_{ИМ}(s)}$$

Типы исполнительных механизмов (по виду используемой энергии):

1. пневматические
2. гидравлические
3. электрические.

1. Пневматические (используется энергия сжатого воздуха).



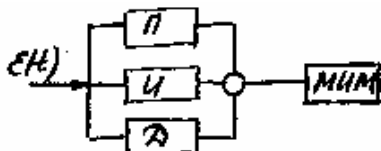
МИМ – мембранный исполнительный механизм.
 Очень инерционный механизм (газ сжимаем).

В динамическом отношении МИМ в первом приближении можно считать П-звеном.

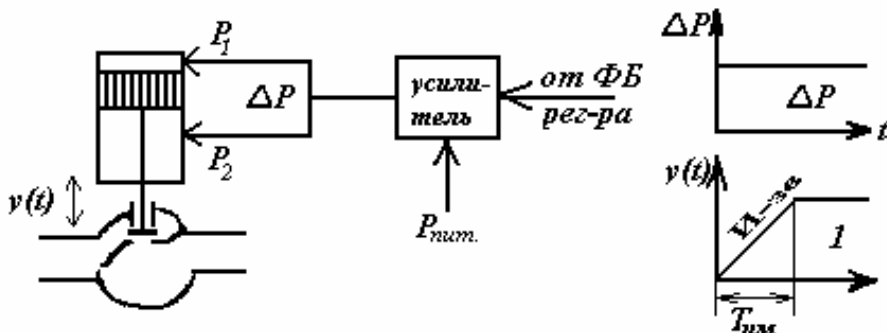
$$W_{ИМ}^u(s) \gg k_{ИМ}$$

$$(k_{ИМ} @ 1)$$

Тогда $W_{ФБ}(s)$ определяется $W_p(s)$.



2. Гидравлические (энергия сжатой жидкости).
 В качестве жидкости используются сорта машинного масла. Жидкость несжимаема, следовательно, передача практически мгновенная.

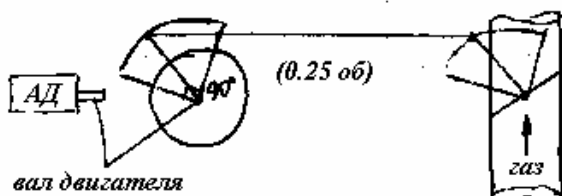


$$y(t) = \dot{0}DPdt = DP \times t$$

$$W_{\text{им}}(s) = \frac{1}{T_{\text{им}} \times s};$$

$$W_{\text{ФБ}}(s) = \frac{k_p + \frac{k_u}{s} + k_d \times s}{\frac{1}{T_n \times s}} = T_{\text{им}} \frac{k_p \times s + k_u + k_d \times s^2}{1}$$

3. Электрические (электрическая энергия).



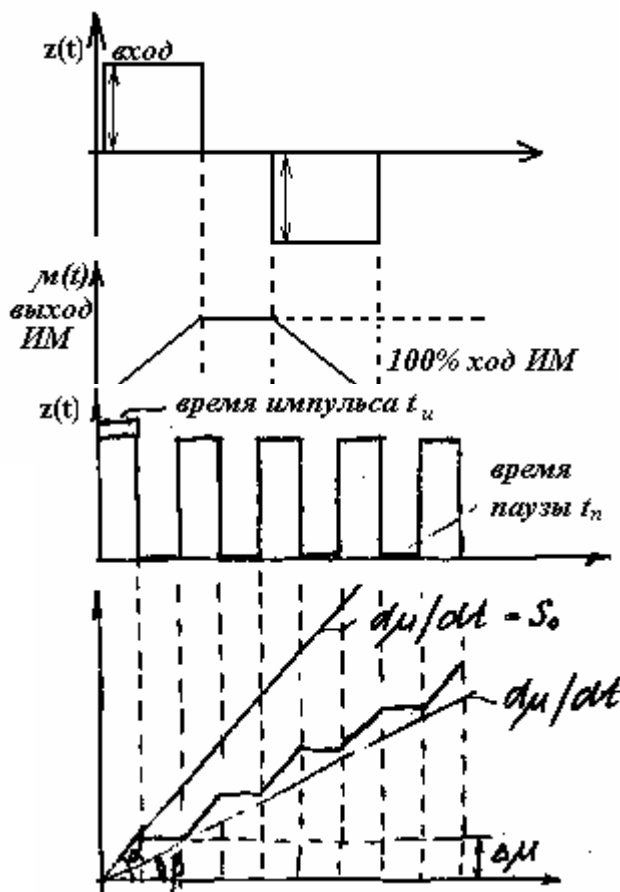
В основе ЭИМ лежат асинхронные электрические двигатели с постоянным числом оборотов.

МЭО – механизм электрический однооборотный.

$$\text{МЭО} - \frac{4}{160} - 0.25$$

крутящий момент в кгс м / время оборота в сек. (10;25;63;100;160) / угол поворота в оборотах

Электрические ИМ в динамическом отношении являются нелинейными звеньями.



$$\text{Скорость } s_0 = \frac{100}{T_{\text{н}}} \text{ } \hat{e} \% \hat{u} \hat{c} \hat{u}$$

Управляют ЭИМ с помощью подачи на его вход импульсов.

$$j = \frac{t_n}{t_n + t_u} - \text{скважность} - \text{входной сигнал}$$

$$\begin{aligned} \text{tga} &= \frac{Dm}{t_n} \quad \text{tga} = s_0 \\ \text{tgb} &= \frac{Dm}{t_n + t_u} \quad \text{tgb} = \frac{dm}{dt} \end{aligned}$$

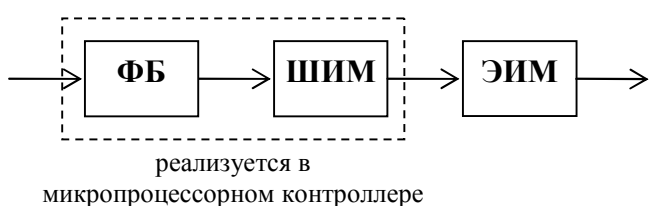
$$\text{tgb} \times (t_n + t_u) = \text{tga} \times t_n$$

$$\frac{dm}{dt} = s_0 \times j$$

$$s \times m(s) = s_0 \times j(s)$$

$$W_{\text{им}}(s) = \frac{m(s)}{j(s)} = \frac{s_0}{s} = \frac{100}{T_{\text{им}} \times s} \text{ (И-звено)}$$

При импульсном управлении ЭИМ становится И-звеном (в первом приближении)



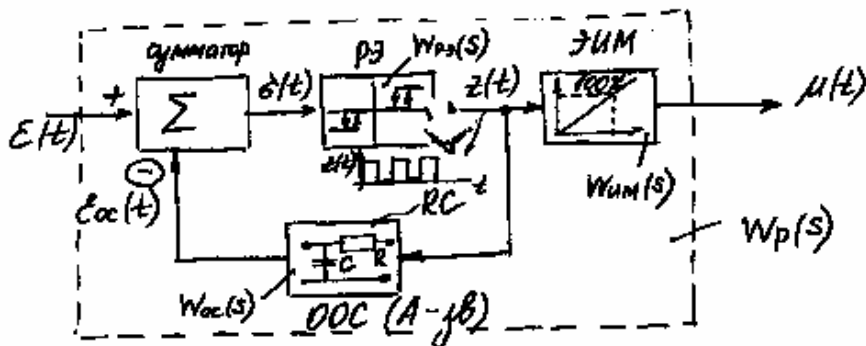
ШИМ – широтно-импульсный модулятор (выход преобразует в импульсы)

ШИМ + ЭИМ = И - звено

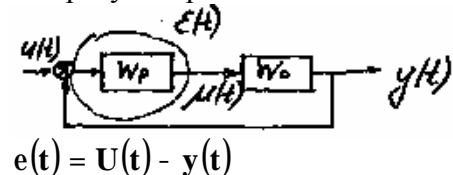
$$W_{\text{ФБ}}(s) = k_p \times s + k_u + k_d \times s^2$$

ФБ реализуется в виде ПДД² – звена.

10.3. Релейно-импульсные ПИ-регуляторы с электрическим исполнительным механизмом.

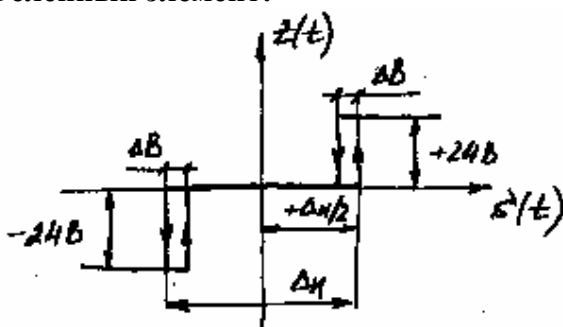


РС-29 – система КОНТУР;
Р-17 – система КАСКАД
(завод МЗТА)
Структурная схема импульсного ПИ-регулятора с ЭИМ.



Импульсный ПИ-регулятор с ЭИМ реализуется с помощью релейного элемента РЭ, охваченного ООС в виде цепочки R-C (А-звено).

Релейный элемент:



U – Статистическая характеристика РЭ.

$$x(t) = e(t) - e_{oc}(t)$$

Статическая характеристика показывает, какой сигнал будет на выходе РЭ.

D_n – зона нечувствительности

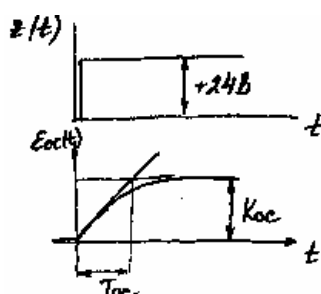
DB – зона возврата

Если $x(t) \neq \frac{D_n}{2}$ (или $x(t) \neq -\frac{D_n}{2}$), то реле сработает

Р – сигнал на выходе РЭ +24В Р – запустится ЭИМ.

Если сигнал положительный, то ЭИМ будет крутиться в одну сторону, и наоборот.
ООС

На вход поступает сигнал 0, +24В или -24В.

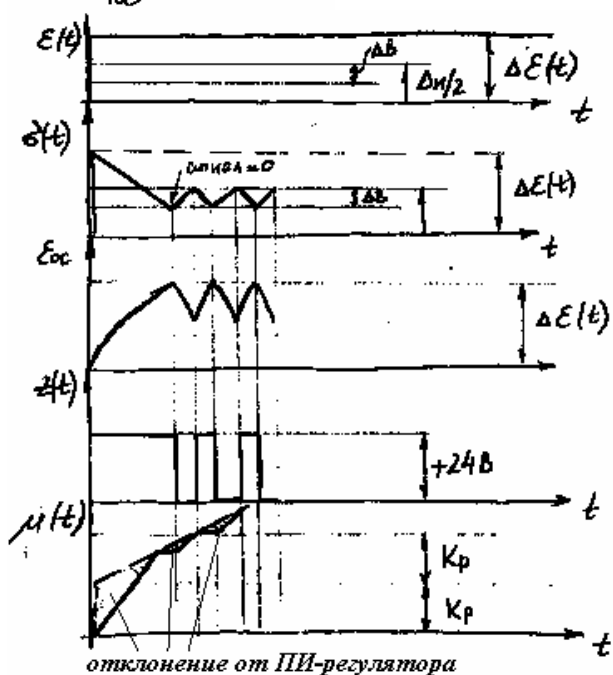


А-звено можно настроить. Настраиваемые параметры T_{oc} и k_{oc} .

Зона нечувствительности нужна для того, чтобы ЭИМ не включался/выключался постоянно (теоретически $D_n = 0$).

Зона возврата участвует в формировании импульсов $z(t)$.

Подадим на вход сумматора $e(t) \neq \frac{D_n}{2}$ (ступеньку).



$$W_p^{им}(s) = k_p + \frac{k_p}{T_n \times s} - \text{идеальный ПИ-регулятор} - -$$

— — — — — импульсное приближение ПИ-регулятора.

Передаточная функция импульсного регулятора:

$$W_p^{им}(s) = \frac{W_{pz}(s) \times W_{им}(s)}{1 + W_{pz}(s) \times W_{oc}(s)}$$

$$W_{pz}(s) \gg k_{pz} \cdot \bar{m}1$$

$$W_{им}(s) = \frac{s_o}{s}; s_o = \frac{100\%}{T_n}$$

$$W_{oc}(s) = \frac{k_{oc}}{T_{oc} \times s + 1} - \text{А-звено}$$

Так как $W_{pz}(s) \gg 1$, то пренебрегаем 1 в знаменателе.

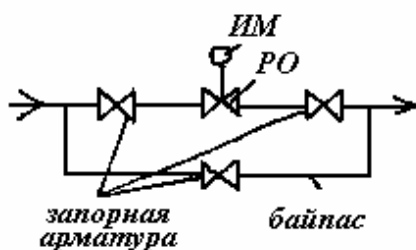
Тогда:

$$W_p^{им}(s) = \frac{T_{oc} \times s + 1}{k_{oc}} \times \frac{s_o}{s} = \frac{s_o}{k_{oc}/T_{oc}} \times \frac{1}{s} + \frac{1}{T_{oc} \times s} \cdot \frac{\ddot{0}}{\ddot{0}}$$

$$\frac{k_{oc}}{T_{oc}} = V_{oc} - \text{скорость обратной связи}$$

Обозначим $\frac{s_o}{V_{oc}} = k_p$; $T_{oc} = T_n$. Тогда $W_p^{имп}(s) = k_p + \frac{k_p}{T_n \times s}$

10.4. Общие сведения о регулирующих органах.



РО – регулирующий орган

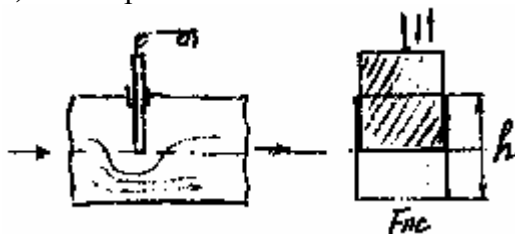
ИМ – исполнительный механизм

Регулирующие органы бывают:

1. пассивные – дросселирование потока
 2. активные – изменение производительности нагнетателя
- Пассивные РО плохи, так как срабатывают на напор.

1. Пассивные (дроссельные) РО.

а) Шиберы.



$F_{пс}$ – проходное сечение

h – ход РО ($0, h_{max}$)

Q – расход через РО

Шиберы имеют:

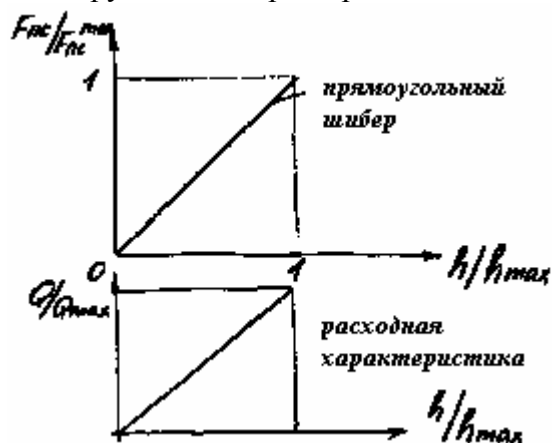
- Конструктивную характеристику
- Расходную характеристику

Обычно используют относительные характеристики (чтобы были похожие характеристики):

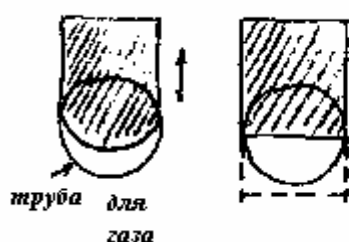
$$\frac{F_{пс}}{F_{пс}^{max}} = 0, 1$$

$$\frac{h}{h_{max}} = 0, 1$$

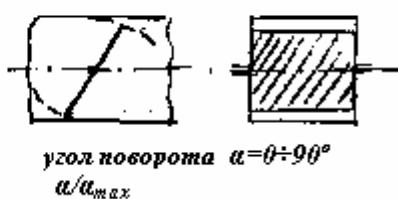
Конструктивная характеристика:



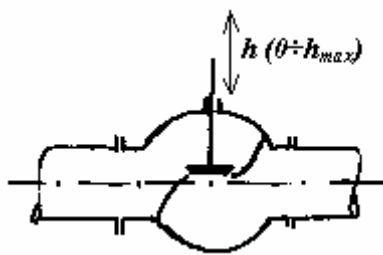
ПРИМЕРЫ:



поворотные заслонки (шиберы)



б) Регулирующие клапаны (почти без инерционны).

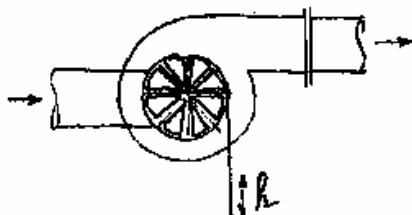


→ Тарельчатый клапан (еще есть игольчатые, шиберные)
Имеют нелинейные характеристики.
Желательно, чтобы РО имел линейные конструктивные и расходные характеристики.

2. Активные РО.

а) Нагнетатель (насос, компенсатор, дутьевой вентилятор, дымосос), имеет возможность изменять производительность.

б) Направляющие аппараты на всасе.



Чем меньше поворот направляющего аппарата, тем сильнее закручивание потока.

11. Схемы автоматизации технологических процессов и установок.

11.1. Функциональные схемы автоматизации (ФСА)

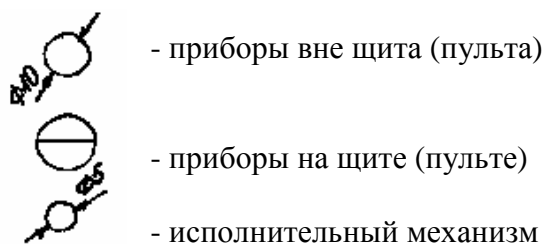
ФСА выполняются в соответствии с ГОСТ 21.404-85 «Условное обозначение приборов и средств автоматизации в схемах».

ФСА:

- упрощенные;
- развернутые.

Условные обозначения:

1. Графические.



2. Буквенные (латинский алфавит).

- а) На первом месте – обозначение измеряемого (регулируемого) параметра:
- | | |
|-------|--|
| буквы | Т – температура |
| цифры | Р – давление |
| | Ф – расход |
| | L – уровень |
| | Q – качественные показатели (концентрация, солесодержание и т. п.) |
| | M – влажность |
| | R – радиоактивность |

б) На второй позиции – функциональный признак (например, у измерительного прибора – он показывающий или регистрирующий)

I – индикация (показывающий)

R – регистрация

C – регулирование

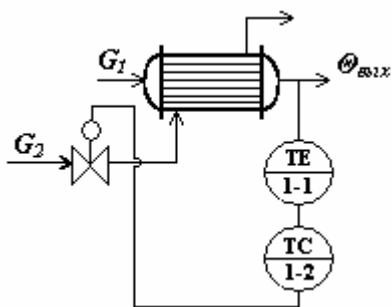
A – сигнализация

S – защита, блокировка

в) Цифры в нижней части – номер позиции для сертификации.

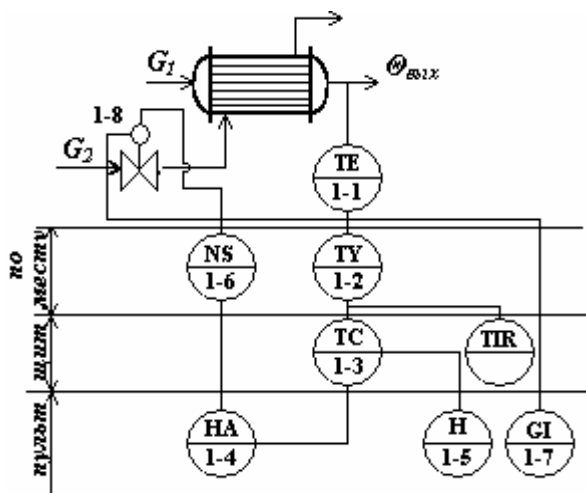
Пример:

Упрощенная схема – теплообменник.



Е – первичный измерительный преобразователь (термопара, термометр сопротивления, сужающее устройство).

Развернутая схема.



Показывающий (регистрирующий) прибор

1-1. ТЕ – термометр сопротивления (ТСМ)

1-2. ТУ – нормирующий преобразователь (Ш-78)

1-3. ТС – автоматический регулятор (РС-29)

1-4. НА – блок управления

1-5. Н – задатчик (изменяет задание регулятору)

1-6. NS – усилитель

1-7. GI – указатель положения РО

1-8. – исполнительный механизм

Н – если задатчиком управляют вручную (оператор крутит ручку)

НА – в блоке управления тоже что-то задается в ручную (например, открывается/закрывается РО)

По месту – значит, что приборы находятся рядом с объектом.

11.2. Автоматизация отдельных установок.**11.2.1. Общие сведения.**

Классификация:

1. Котельные установки (КУ):

- топливные (газ, уголь, мазут);
- утилизационные.

2. Котельные установки (КУ):

- барабанные (с естественной циркуляцией);
- прямоточные (с принудительной циркуляцией).

3. Котельные установки (по давлению):

- низкого давления (до 1 МПа);
- среднего давления (1÷10 МПа);
- высокого давления (10÷22.5 МПа);
- среднего давления (более 22.5 МПа).

4. Котельные установки (по производительности):

- малой (до 75 т/час);
- остальные (более 75 т/час: 120, 240, 500, 1000 т/час).

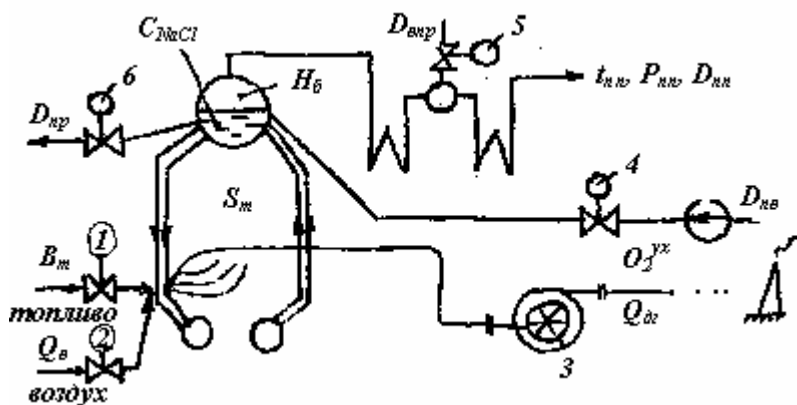
11.2.2. Барабанный котел как объект автоматизации.

Упрощенная технологическая схема БКУ.

 S_T – разряжение в топке

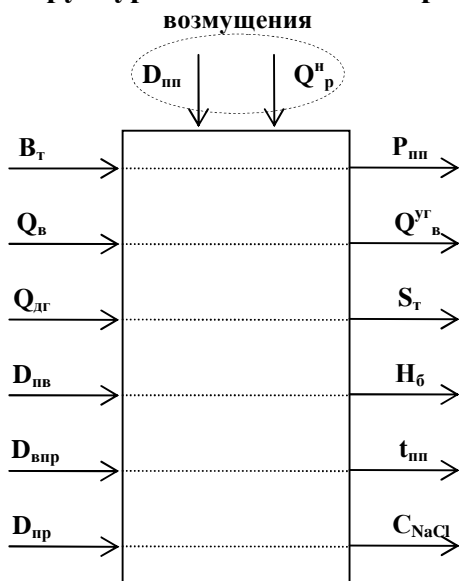
1-6 – исполнительные механизмы:

1. B_T – расход топлива



2. Q_v - расход воздуха
3. $Q_{дг}$ - расход дымовых газов
4. $D_{пв}$ - питательная вода
5. $D_{впр}$ - впрыск
6. $D_{пр}$ - продувочная вода
- Q_2^{yx} - соединение O_2 в дымовых газах.

Структурная схема объекта регулирования.



11.2.3. Постановка задачи автоматизации.

Обеспечение:

$D_{пн}$ заданное с $P_{пн} = \text{const}$, $t_{пн} = \text{const}$. При этом $h_{ку} = \text{max}$ (должно быть).

Основные задачи:

1. Автоматизация топливно-воздушного тракта:
 - 1.1. регулирование тепловой нагрузки ($P_{пн}$, $D_{пн}$) с воздействием на B_t .
 - 1.2. регулирование экономичности горения (регулирование соотношения топливо-воздух), регулирующее воздействие Q_v , регулируемый параметр Q_2^{yx} .
 - 1.3. регулирование S_t , регулирующее воздействие – направляющий аппарат дымососа.
2. Автоматизация пароводяного тракта:
 - 2.1. регулирование уровня в барабане H_b , регулирующее воздействие $D_{пв}$.
 - 2.2. регулирование $t_{пн}$, регулирующее воздействие $D_{впр}$.
3. Автоматизация солевого режима.

11.3. АСР тепловой нагрузки котла.

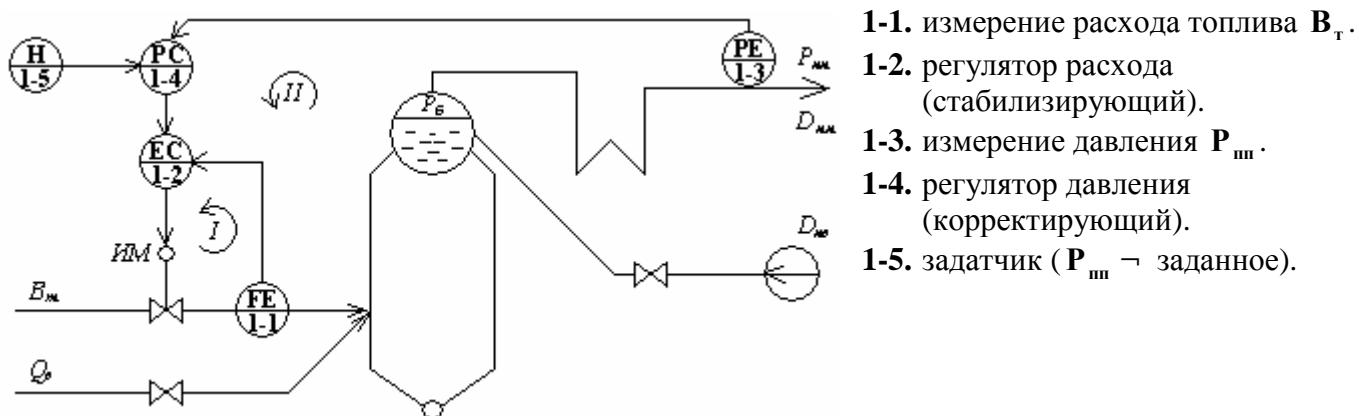
11.3.1. Расхода топлива B_t измеряется.

Тепловая нагрузка определяется $P_{пн}$. Если $D_{пн}$ - , то $P_{пн}$ - .

Данная система – двухконтурная АСР.

I – внутренний контур

II – внешний контур

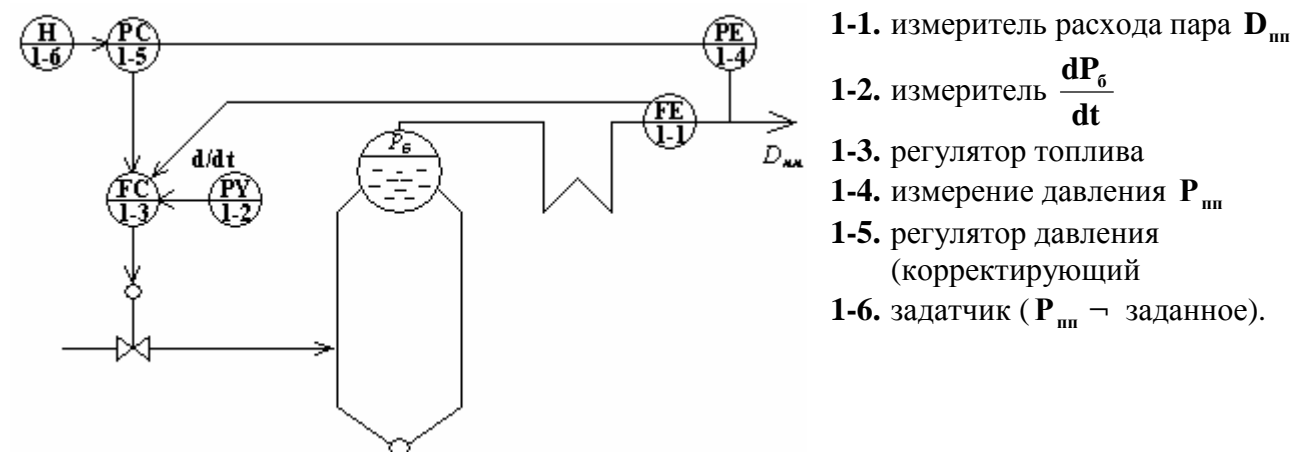
Упрощенная функциональная схема АСР.**11.3.2. Расхода топлива B_T не измеряется.**

О B_T судят по косвенным оценкам (импульс по теплу).

Косвенный импульс получают из упрощенного теплового баланса в нестационарном режиме.

$$B_T \times Q_p^n - D_{mn} (i_{mn} - i_{nv}) = A \times \frac{dP_6}{dt} P$$

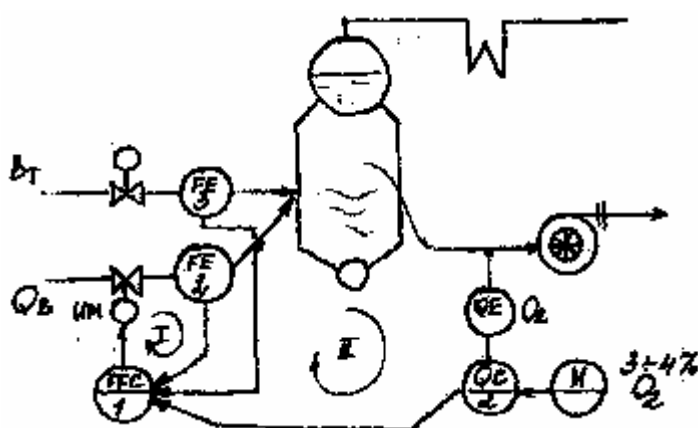
$$B_T @ a_1 \times D_{mn} + a_2 \times \frac{dP_6}{dt}$$

**11.4. АСР экономичности процесса горения.**

Регулируется соотношение топливо-воздух с коррекцией по концентрации кислорода в дымовых газах.

I – внутренний контур

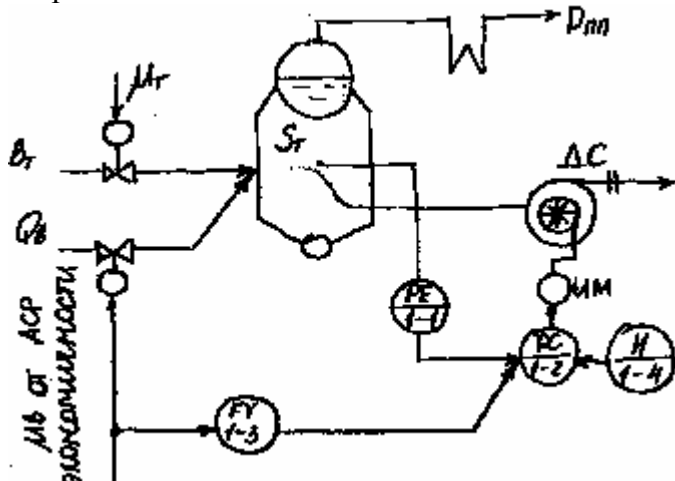
II – внешний контур



- Если расход топлива B_T не измеряется, то вместо $\frac{FE}{3}$ используется импульс по теплоте (см. 11.3.2.)

11.5. АСР разрежения в топке (аэродинамический режим).

Разрежение $20 \div 50$ Па

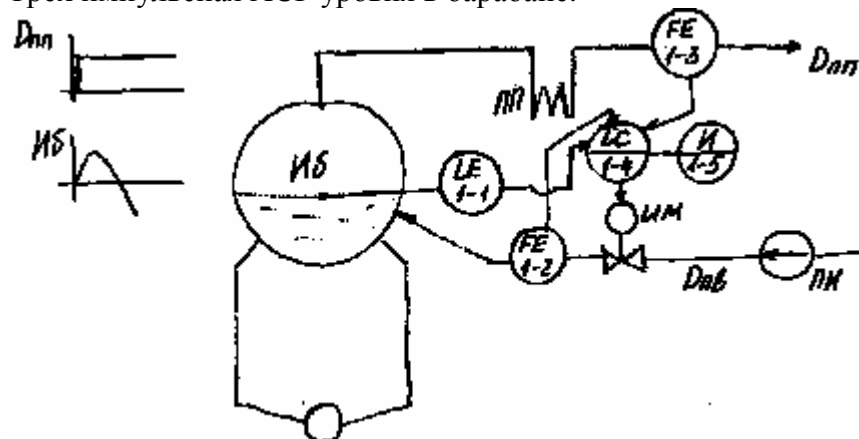


m_T - управляющее воздействие от АСР тепловой нагрузки.

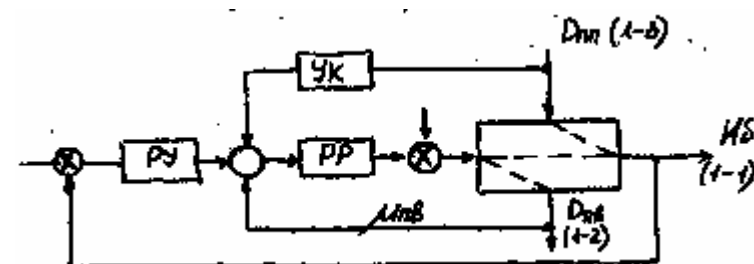
- 1-1. измерение разрежения S_T
- 1-2. регулятор разрежения с воздействием на направляющий аппарат дымососа
- 1-3. устройство динамической связи от АСР экономичности (от расхода воздуха) P см. АСР с компенсацией.

11.6. АСР питания котла водой (АСР уровня в барабане).

Трех импульсная АСР уровня в барабане.



- 1-1. импульс по уровню H_6
- 1-2. импульс по расходу питательной воды $D_{пв}$
- 1-3. импульс по расходу пара $D_{пп}$
- 1-4. регулятор уровня
- 1-5. задатчик



- РР – регулятор расхода (стабилизир.)
- РУ – регулятор уровня (корректир.)
- УК – устройство компенсации.

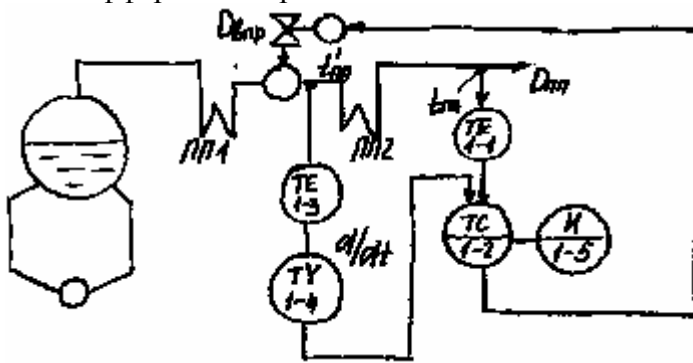
Обойтись без $\frac{FE}{1-3}$ нельзя, так как при $D_{пп}$ - \textcircled{R} $P_{пп}$ - происходит вскипание воды в барабане, следовательно, H_6 мгновенно повышается \textcircled{R} регулятор должен уменьшить $D_{пв}$, но $D_{пп}$ возросло.

11.7. АСР температуры перегретого пара.

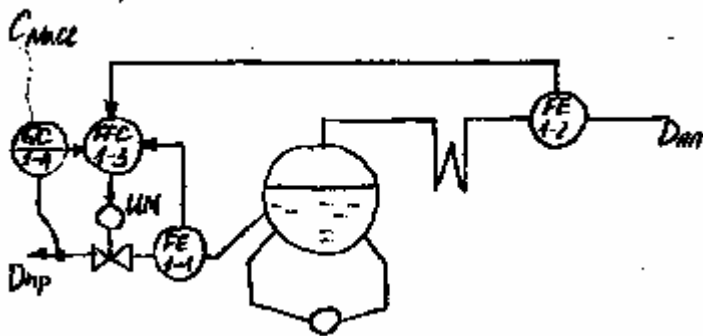
АСР с дифференциатором.

- 1-1. измеритель $t_{пп}$
- 1-2. регулятор температуры с воздействием на $D_{впр}$
- 1-3. измеритель промежуточной температуры $t_{пп}$

1-4. дифференциатор



Для котлов малой производительности и низкого давления дифференциатор не используют.

11.8. АСР солесодержания котловой воды.

непрерывная продувка:

$$D_{np} @ (0.02, 0.03) \times D_{mn}$$

При D_{mn} - , C_{NaCl} -

1-3. регулятор соотношения D_{np} - D_{mn}

1-4. корректирующий регулятор концентрации NaCl/